



**KAUNO TECHNOLOGIJOS UNIVERSITETAS  
INFORMATIKOS FAKULTETAS**

**Dovydas Loda**

**NUOSEKLIŲ IR LYGIAGREČIŲ ALGORITMŲ TYRIMAS CUDA  
IR OPENMP TECHNOLOGIJOSE**

Baigiamasis magistro darbas

**Vadovas**  
doc. Romas Marcinkevičius

**KAUNAS, 2017**

**KAUNO TECHNOLOGIJOS UNIVERSITETAS  
INFORMATIKOS FAKULTETAS**

**NUOSEKLIŲ IR LYGIAGREČIŲ ALGORITMŲ TYRIMAS CUDA  
IR OPENMP TECHNOLOGIJOSE**

Baigiamasis magistro darbas  
Programų sistemų inžinerija (621E16001)

**Vadovas**

(parašas) doc. Romas Marcinkevičius  
(data)

**Recenzentas**

(parašas) doc. dr. Stasys Maciulevičius  
(data)

**Projektą atliko**

(parašas) Dovydas Loda  
(data)

**KAUNAS, 2017**



KAUNO TECHNOLOGIJOS UNIVERSITETAS  
Informatikos fakultetas

(Fakultetas)

Dovydas Loda

(Studento vardas, pavardė)

Programų sistemų inžinerija (621E16001)

(Studijų programos pavadinimas, kodas)

Baigiamojo projekto „Nuoseklių ir lygiagrečių algoritmų tyrimas CUDA ir OpenMP technologijose“  
**AKADEMINIO SAŽININGUMO DEKLARACIJA**

20 17 m. gegužės 19 d.  
Kaunas

Patvirtinu, kad mano, **Dovydo Lodos**, baigiamasis projektas tema „Nuoseklių ir lygiagrečių algoritmų tyrimas CUDA ir OpenMP technologijose“ yra parašytas visiškai savarankiškai ir visi pateikti duomenys ar tyrimų rezultatai yra teisingi ir gauti sąžiningai. Šiame darbe nei viena dalis nėra plagijuota nuo jokių spausdintinių ar internetinių šaltinių, visos kitų šaltinių tiesioginės ir netiesioginės citatos nurodytos literatūros nuorodose. Įstatymų nenumatytų piniginių sumų už šį darbą niekam nesu mokėjęs.

Aš suprantu, kad išaiškėjus nesąžiningumo faktui, man bus taikomos nuobaudos, remiantis Kauno technologijos universitete galiojančia tvarka.

\_\_\_\_\_  
(vardą ir pavardę įrašyti ranka)

\_\_\_\_\_  
(parašas)

## Turinys

1. ĮVADAS .....	9
1.1. DOKUMENTO PASKIRTIS .....	9
1.2. SANTRAUKA .....	9
2. ANALIZĖ .....	10
2.1. DARBO TIKSLAS .....	10
2.2. EGZISTUOJANTYS SPRENDIMAI .....	10
2.2.1. <i>GPSME</i> programinis sprendimas .....	10
2.2.2. <i>OpenMPC</i> programinis sprendimas .....	10
2.2.3. <i>Mint</i> programinis sprenimas .....	10
2.3. KURIAMOS SISTEMOS GALIMYBĖS .....	11
2.4. ĮGYVENDINIMO PROBLEMOS .....	11
2.4.1. <i>Kodo įkėlimo problema</i> .....	12
2.4.2. <i>Kodo atpažinimo problema</i> .....	12
2.5. IŠVADOS .....	13
3. PROJEKTAVIMAS .....	14
3.1. APRIBOJIMAI SPRENDIMUI .....	14
3.2. PANAUDOS ATVEJAI .....	14
3.3. FUNKCINIAI REIKALAVIMAI .....	19
3.4. NEFUNKCINIAI REIKALAVIMAI .....	19
3.4.1. <i>Reikalavimai sistemos išvaizdai</i> .....	19
3.4.2. <i>Reikalavimai panaudojamumui</i> .....	20
3.4.3. <i>Reikalavimai vykdymo savybėms</i> .....	20
3.4.4. <i>Reikalavimai veikimo sąlygoms</i> .....	21
3.4.5. <i>Reikalavimai sistemos priežiūrai</i> .....	21
3.4.6. <i>Reikalavimai saugumui</i> .....	21
3.4.7. <i>Kultūriniai-politiniai reikalavimai</i> .....	22
3.4.8. <i>Teisiniai reikalavimai</i> .....	22
3.4.9. <i>Atviri klausimai</i> .....	22
3.4.10. <i>Egzistuojantys sprendimai</i> .....	22
3.4.11. <i>Problemos</i> .....	22
3.5. SISTEMOS ARCHITEKTŪRA .....	23
3.5.1. <i>Grafinės sąsajos modulis</i> .....	23
3.5.2. <i>Kodo generavimo modulis</i> .....	24
3.5.3. <i>Duomenų vaizdas</i> .....	24
3.5.4. <i>Išdėstymo vaizdas</i> .....	25
3.6. IŠVADOS .....	25
4. NUOSEKLIŲ IR LYGIAGREČIŲ ALGORITMŲ TYRIMAS .....	26
4.1. TYRIMO TIKSLAS .....	26
4.2. NAUDOJAMA TECHNINĖ ĮRANGA .....	26
4.3. TYRIMO KRITERIJAI .....	28
4.3.1. <i>Spartinimo koeficientas</i> .....	28
4.3.2. <i>Algoritmo efektyvumo koeficientas</i> .....	28
4.4. IŠLYGIAGRETINIMO KAŠTAI .....	28
4.5. KLASIKINIAI NUOSEKLŪS IR LYGIAGRETŪS SKAIČIAVIMO ALGORITMAI .....	30
4.5.1. <i>Matricių daugyba</i> .....	30
4.5.2. <i><math>\pi</math> apskaičiavimo algoritmas</i> .....	30
4.5.3. <i>Maksimumo radimas</i> .....	31
4.5.4. <i>Rikiavimas</i> .....	31
4.6. EKSPERIMENTŲ REZULTATAI .....	34
4.6.1. <i>Programos konvertavimo eksperimentas</i> .....	34
4.6.2. <i>Nuoseklių ir lygiagrečių algoritmų tyrimas OpenMP technologijoje</i> .....	35
4.6.3. <i>Nuoseklių ir lygiagrečių algoritmų tyrimas CUDA technologijoje</i> .....	43
4.7. IŠVADOS .....	59
5. IŠVADOS .....	60
6. TERMINŲ IR SANTRUMPŲ ŽODYNAS .....	61

7. LITERATŪROS SĄRAŠAS .....	62
8. PRIEDAI .....	65
1 PRIEDAS. OPENMP MAKSIMALIOS REIKŠMĖS PAIEŠKA .....	65
2 PRIEDAS. OPENMP MATRICŲ DAUGYBA .....	67
3 PRIEDAS. OPENMP II SKAIČIAVIMAS.....	69
4 PRIEDAS. OPENMP RIKIAVIMAS.....	70
5 PRIEDAS. CUDA MAKSIMALIOS REIKŠMĖS PAIEŠKA .....	73
6 PRIEDAS. CUDA MATRICŲ DAUGYBA.....	76
7 PRIEDAS. CUDA II SKAIČIAVIMAS .....	79
8 PRIEDAS. CUDA RIKIAVIMAS .....	81
9.PRIEDAS. OPENMP MAKSIMALIOS REIKŠMĖS PAIEŠKOS DIAGRAMŲ DUOMENYS .....	83
10 PRIEDAS. OPENMP MATRICŲ DAUGYBOS DIAGRAMŲ DUOMENYS .....	85
11 PRIEDAS. OPENMP II SKAIČIAVIMO DIAGRAMŲ DUOMENYS .....	87
12 PRIEDAS. OPENMP RIKIAVIMO DIAGRAMŲ DUOMENYS.....	91
13 PRIEDAS. CUDA MAKSIMALIOS REIKŠMĖS PAIEŠKOS DIAGRAMŲ DUOMENYS.....	91
14 PRIEDAS. CUDA MATRICŲ DAUGYBOS DIAGRAMŲ DUOMENYS .....	96
15 PRIEDAS. CUDA II SKAIČIAVIMO DIAGRAMŲ DUOMENYS .....	100
16 PRIEDAS. CUDA RIKIAVIMO DIAGRAMŲ DUOMENYS .....	104

## Lentelių sąrašas

1 LENTELĖ. OPENMP IR CUDA KODO PALYGINIMAS.....	12
2 LENTELĖ. PROJEKTO ĮKĖLIMO PANAUDOS ATVEJIS.....	15
3 LENTELĖ. KONVERTAVIMO PARAMETRŲ KEITIMO PANAUDOS ATVEJIS .....	15
4 LENTELĖ. ĮKELIAMO PROJEKTO VALI DAVIMO PANAUDOS ATVEJIS .....	16
5 LENTELĖ. KLaidų PERŽIŪRĖJIMO PANAUDOS ATVEJIS.....	16
6 LENTELĖ. OPENMP DIREKTYVŲ PERŽIŪROS PANAUDOS ATVEJIS.....	17
7 LENTELĖ. CUDA DIREKTYVŲ PERŽIŪROS PANAUDOS ATVEJIS .....	17
8 LENTELĖ. KODO GENERAVIMO PANAUDOS ATVEJIS .....	18
9 LENTELĖ. PROJEKTO PARSISIUNTIMO PANAUDOS ATVEJIS .....	18
10 LENTELĖ. KONVERTAVIMO PROGROSO RODYMAS .....	19
11 LENTELĖ. PARAMETRŲ NUSTATYMAS .....	19
12 LENTELĖ. PASIRINKTI ALGORITMAI TYRIMUI .....	26
13 LENTELĖ. OPENMP NAUDOJIMO KAŠTŲ FAKTORIAI .....	29
14 LENTELĖ. MAKSIMUMO PAIEŠKOS KONVERTAVIMO REZULTATAI .....	34
15 LENTELĖ. MATRICŲ DAUGYBOS KONVERTAVIMO REZULTATAI .....	34
16 LENTELĖ. GIJŲ DARBO PASIDALINIMAS .....	40
17 LENTELĖ. MAKSIMALIOS REIKŠMĖS ALGORITMO EFEKTYVUMO KOEFICIENTAS.....	83
18 LENTELĖ. MAKSIMALIOS REIKŠMĖS SPARTINIMO KOEFICIENTAS.....	83
19 LENTELĖ. MAKSIMALIOS REIKŠMĖS PAIEŠKA PAGAL LAIKĄ .....	84
20 LENTELĖ. MATRICŲ DAUGYBOS EFEKTYVUMO KOEFICIENTAS .....	85
21 LENTELĖ. MATRICŲ DAUGYBOS SPARTINIMO KOEFICIENTAS.....	86
22 LENTELĖ. MATRICŲ DAUGYBOS LAIKAS PAGAL MATRICOS DYDĮ .....	86
23 LENTELĖ. II SKAIČIAVIMO EFEKTYVUMO KOEFICIENTAS.....	87
24 LENTELĖ. II SKAIČIAVIMO SPARTINIMO KOEFICIENTAS .....	89
25 LENTELĖ. II SKAIČIAVIMO LAIKAS .....	90
26 LENTELĖ. BITONIC EFEKTYVUMO KOEFICIENTAS .....	91
27 LENTELĖ. BITONIC RIKIAVIMO SPARTINIMO KOEFICIENTAS .....	91
28 LENTELĖ. BITONIC RIKIAVIMO LAIKAS .....	91
29 LENTELĖ. MAKSIMALIOS REIKŠMĖS EFEKTYVUMO KOEFICIENTAS .....	91
30 LENTELĖ. MAKSIMALIOS REIKŠMĖS SPARTINIMO KOEFICIENTAS.....	92
31 LENTELĖ. MAKSIMALIOS REIKŠMĖS PAIEŠKA PAGAL LAIKĄ (LAIKAS < 2s) .....	93
32 LENTELĖ. MAKSIMALIOS REIKŠMĖS PAIEŠKA PAGAL LAIKĄ .....	94
33 LENTELĖ. MATRICŲ DAUGYBOS EFEKTYVUMO KOEFICIENTAS .....	96
34 LENTELĖ. MATRICŲ DAUGYBOS SPARTINIMO KOEFICIENTAS.....	97
35 LENTELĖ. MATRICŲ DAUGYBOS LAIKAS PAGAL MATRICOS DYDĮ .....	99
36 LENTELĖ. II SKAIČIAVIMO SPARTINIMO KOEFICIENTAS .....	100
37 LENTELĖ. II SKAIČIAVIMO SPARTINIMO KOEFICIENTAS .....	101
38 LENTELĖ. II SKAIČIAVIMO LAIKAS .....	103
39 LENTELĖ. BITONIC RIKIAVIMO LAIKAS PAGAL GIJŲ KONFIGŪRACIJĄ.....	104

## Paveikslų sąrašas

1 PAV. MINT SPRENDIMAS .....	11
2 PAV. PANAUDOS ATVEJŲ DIAGRAMA .....	14
3 PAV. GRAFINĖS ŠAŠAJOS MODULIO KLASIŲ DIAGRAMA .....	23
4 PAV. KODO GENERAVIMO MODULIO KLASIŲ DIAGRAMA.....	24
5 PAV. DUOMENŲ VAIZDAS.....	24
6 PAV. SISTEMOS IŠDĖSTYMO VAIZDAS.....	25
7 PAV. INTEL I7 2ND GEN. PROCESORIAUS VIDINĖ STRUKTŪRA. ....	27
8 PAV. FERMI ARCHITEKTŪROS ATMINTIS.....	27
9 PAV. „VIRGINIA“ UNIVERSITETO ATLIKTO TYRIMO DUOMENYS. LAIKAS, REIKALINGAS IŠKVIESTI TUŠČIAI BRANDUOLIO FUNKCIJAI. ....	29
10 PAV. VIENOS GIJOS DARBAS MATRICŲ DAUGYBOS METU. ....	30
11 PAV. BITONINĖ SEKA.....	32
12 PAV. „BITONIC SORT“ ALGORITMO ILUSTRACIJA.....	33
13 PAV. MAKSIMUMO PAIEŠKOS MASYVE LAIKO KITIMAS NUO GIJŲ SKAIČIAUS .....	35

14 PAV. VIDUTINIS MAKSIMUMO PAIEŠKOS MASYVE LAIKAS.....	35
15 PAV. MAKSIMUMO PAIEŠKOS MASYVE SPARTINIMO KOEFICIENTAS .....	36
16 PAV. MAKSIMUMO PAIEŠKOS MASYVE SPARTINIMO KOEFICIENTO EFEKTYVUMAS PAGAL GIJŲ SKAIČIŲ.....	36
17 PAV. MAKSIMUMO PAIEŠKOS VEKTORIJE PAIEŠKOS LAIKAS PAGAL GIJŲ SKAIČIŲ.....	37
18 PAV. SPARTINIMO KOEFICIENTŲ PALYGINIMAS MASYVE IR VEKTORIJE.....	37
19 PAV. SPARTINIMO KOEFICIENTO PALYGINIMAS MASYVE IR VEKTORIJE.....	38
20 PAV. MATRICŲ DAUGYBOS LAIKO KITIMAS PAGAL NAUDOJAMŲ GIJŲ SKAIČIŲ .....	39
21 PAV. MATRICŲ DAUGYBOS SPARTINIMO KOEFICIENTAS PAGAL GIJŲ SKAIČIŲ.....	39
22 PAV. MATRICŲ DAUGYBOS MASYVE EFEKTYVUMO KOEFICIENTAS .....	39
23 PAV. II SKAIČIAVIMO LAIKAS PAGAL GIJŲ SKAIČIŲ.....	40
24 PAV. II SKAIČIAVIMO SPARTINIMO KOEFICIENTAS PAGAL GIJŲ SKAIČIŲ .....	41
25 PAV. II SKAIČIAVIMO SPARTINIMO KOEFICIENTAS PAGAL GIJŲ SKAIČIŲ .....	41
26 PAV. BITONIC ALGORITMO RIKIAVIMO LAIKO KITIMAS PAGAL IMTIES DYDĮ.....	42
27 PAV. BITONIC ALGORITMO RIKIAVIMO LAIKO KITIMAS PAGAL GIJŲ SKAIČIŲ .....	42
28 PAV. BITONIC ALGORITMO SPARTINIMO KOEFICIENTAS PAGAL GIJŲ SKAIČIŲ .....	42
29 PAV. BITONIC ALGORITMO EFEKTYVUMO KOEFICIENTAS PAGAL GIJŲ SKAIČIŲ .....	43
30 PAV. DIDŽIAUSIOS REIKŠMĖS PAIEŠKOS TRUKMĖ PAGAL IMTIES DYDĮ .....	44
31 PAV. DIDŽIAUSIOS REIKŠMĖS PAIEŠKOS TRUKMĖ PAGAL GIJŲ KONFIGŪRACIJĄ.....	45
32 PAV. DIDŽIAUSIO REIKŠMĖS PAIEŠKA PAGAL GIJŲ KONFIGŪRACIJĄ, KAI LAIKAS < 16S.....	45
33 PAV. MAKSIMALIOS REIKŠMĖS PAIEŠKOS TRUKMĖ PAGAL GIJŲ KONFIGŪRACIJĄ, KAI LAIKAS < 2S.....	46
34 PAV. MAKSIMALIOS REIKŠMĖS PAIEŠKOS SPARTINIMO KOEFICIENTAS .....	46
35 PAV. MAKSIMALIOS REIKŠMĖS PAIEŠKOS EFEKTYVUMO KOEFICIENTAS .....	47
36 PAV. MATRICŲ DAUGYBOS LAIKO KITIMAS PAGAL MATRICŲ DYDĮ .....	49
37 PAV. MATRICŲ DAUGYBOS LAIKAS PAGAL GIJŲ KONFIGŪRACIJĄ.....	50
38 PAV. MATRICŲ DAUGYBOS LAIKAS PAGAL GIJŲ KONFIGŪRACIJĄ.....	50
39 PAV. MATRICŲ DAUGYBOS SPARTINIMO KOEFICIENTAS PAGAL GIJŲ KONFIGŪRACIJĄ .....	51
40 PAV. MATRICŲ DAUGYBOS EFEKTYVUMO KOEFICIENTAS PAGAL GIJŲ KONFIGŪRACIJĄ.....	52
41 PAV. MATRICŲ DAUGYBOS EFEKTYVUMO KOEFICIENTAS PAGAL GIJŲ SKAIČIŲ, KAI EFEKTYVUMO KOEFICIENTAS MAŽESNIS NEI 0,01 .....	53
42 PAV. II SKAIČIAVIMO LAIKAS PAGAL IMTIES DYDĮ.....	54
43 PAV. II SKAIČIAVIMO LAIKAS PAGAL GIJŲ KONFIGŪRACIJĄ .....	54
44 PAV. II SKAIČIAVIMO LAIKAS PAGAL GIJŲ KONFIGŪRACIJĄ, KAI LAIKAS MAŽESNIS NEI 1S.....	55
45 PAV. II SKAIČIAVIMO SPARTINIMO KOEFICIENTAS PAGAL GIJŲ KONFIGŪRACIJĄ.....	55
46 PAV. II SKAIČIAVIMO EFEKTYVUMO KOEFICIENTAS PAGAL GIJŲ KONFIGŪRACIJĄ .....	56
47 PAV. „BITONIC“ ALGORITMO RIKIAVIMO LAIKAS PAGAL GIJŲ KONFIGŪRACIJĄ.....	58
48 PAV. „BITONIC“ ALGORITMO RIKIAVIMO LAIKAS, KAI IMTIES DYDIS 32768.....	58

Loda, D. Nuoseklių ir lygiagrečių algoritmų tyrimas CUDA ir OpenMP technologijose. Programų sistemų inžinerijos magistro baigiamasis projektas. Vadovas doc. R. Marcinkevičius; Kauno technologijos universitetas, Informatikos fakultetas.

Kaunas, 2017. 64 p.

## **SUMMARY**

The project is called "Serial and parallel algorithms analysis in CUDA and OpenMP technologies". The attention is paid to the aim of finding out OpenMP and CUDA technologies differences, capabilities and efficient configurations for most used algorithms.

In fact, the study examines algorithms which can be operated in parallel and sequential order using OpenMP and CUDA technologies. They are tested with various configuration, data samples. It is expected that after the study of algorithms, their speed and other problems, connected with OpenMP and CUDA technologies, will be easier to determine how to further improve the previous half of the year generated code conversion system for these technologies.

This project is also important because of computing resource utilization efficiency, the benefits of parallelism usage. Examination of sequential and parallel algorithms, visualized acceleration graphs will help to attract more emphasis on parallel programming by industry and educational institutions.

## **1. ĮVADAS**

Šiuolaikiniame pasaulyje žmogus negali apsieiti be kompiuterių. Tiek pramonėje, tiek asmeniniame gyvenime, jie žmogui padeda atlikti įvairius darbus, spręsti problemas, palengvinti gamybą, informacijos rinkimą, apdorojimą [1]. Kompiuterinė bei programinė įranga yra nuolat tobulinama, siekiant greitesnio darbo, didesnio duomenų pralaidumo [2]. Procesoriai su keletu branduolių, „Nvidia“ CUDA technologija suteikia galimybes vykdyti įvairias programas daug sparčiau ir efektyviau, naudojant lygiagrečius procesus, panaudojant OpenMP ar CUDA technologijas [3][4]. Tačiau programinė įranga bei įvairios informacinės sistemos vis dar nėra kuriamos taip, kad būtų pritaikytos maksimaliai panaudoti lygiagretumo teikiamus privalomus. Šiame tyrime bus bandoma iširti OpenMP bei CUDA technologijų galimybes bei nustatyti programų vietas, kurias galima labiausiai optimizuoti naudojant šias technologijas.

### **1.1. Dokumento paskirtis**

Šio dokumento paskirtis yra pateikti visą informaciją, susijusią su kurtos sistemos realizacija, atliktais tyrimais bei jų rezultatais. Dokumentas sudarytas iš skyrių, kuriuose pateikiama atlikta mokslinių tyrimų, algoritmų ir įrankių analizė. Projektinėje dalyje pateikiama informacija apie sistemos realizaciją: naudotus įrankius, realizuotus algoritmus. Eksperimentinėje dalyje aprašomas vykdytas tyrimas, eksperimentai ir kitos išvalgos.

### **1.2. Santrauka**

Projektas vadinasi „Nuoseklių ir lygiagrečių algoritmų tyrimas CUDA ir OpenMP technologijose“. Didžiausias dėmesys yra skiriamas siekiui išsiaiškinti OpenMP ir CUDA technologijų galimybes, skirtumus, konfigūracijų skirtumus.

Atliekamas tyrimas su algoritmais, kuriuos galima vykdyti lygiagrečiai bei nuosekliai, naudojant OpenMP bei CUDA technologijas. Jie yra išbandomi su įvairiomis gijų paleidimo konfigūracijomis, duomenų imtimis. Tikimasi, kad iširtų algoritmų greitaveika bei problemos, leis nustatyti kaip toliau tobulinti praeitame pusmetyje sukurtą kodo konvertavimo sistemą šioms technologijoms.

Tai pat projektas yra perspektyvus kompiuterinių išteklių panaudojimo efektyvumu, lygiagretumo teikiamų privalumų pagrindu. Ištyrus nuoseklius bei lygiagrečius algoritmus, pademonstravus jų pagreitėjimą, tikimasi, kad ateityje bus daugiau dėmesio skiriama lygiagrečiam programavimui tiek pramonėje, tiek mokymo įstaigose.

## 2. ANALIZĖ

### 2.1. Darbo tikslas

Šio skyriaus darbo tikslas yra susipažinti su OpenMP [5] ir CUDA [6] technologijomis bei išanalizuoti egzistuojančias programas, kurios siūlo galimybę pritaikyti OpenMP ar CUDA technologiją naudojančios programos kodą priešingai technologijai. Taip pat aptarti kuriamos sistemos galimybes bei įgyvendinimo problemas.

### 2.2. Egzistuojantys sprendimai

#### 2.2.1. GPSME programinis sprendimas

Viena iš sistemų, kurios gali padėti programuotojams paversti linijinį kodą lygiagrečiu, yra GPSME sistema [7][8]. Projekto aprašyme sakoma, kad šios sistemos pradiniai duomenys gali būti C/C++ kalbos kodo failai, kurie yra nuskaitomi ir transformuojami į abstrakčiosios sintaksės medį (angl. Abstract syntax tree), naudojant ROSE atviro kodo kompiliatoriaus platformą. Pačią sistemą sudaro kompiliatoriaus direktyvos, kurios suteikia galimybę programuotojui nustatyti, kaip GPSME sistemai kodą paversti į kuo efektyvesnį. Todėl, naudojant informaciją, gautą per panaudotas kompiliatoriaus direktyvas, sistema gali įgyvendinti skirtingas transformacijas, pasinaudodama abstrakčiosios sintaksės medžiu.

Šios sistemos rezultatas yra CUDA ir OpenCL karkasui pritaikytas kodas, kuris yra gaunamas gramatiškai išnagrinėjus abstrakčios sintaksės medį, panaudojant ROSE platformą. Tokiu būdu GPSME sistema dirbdama sukuria grafiniams CUDA procesoriams pritaikytus išlygiagretinamus ciklus. Be to, ši sistema remiasi *Mint* programavimo modeliu [5].

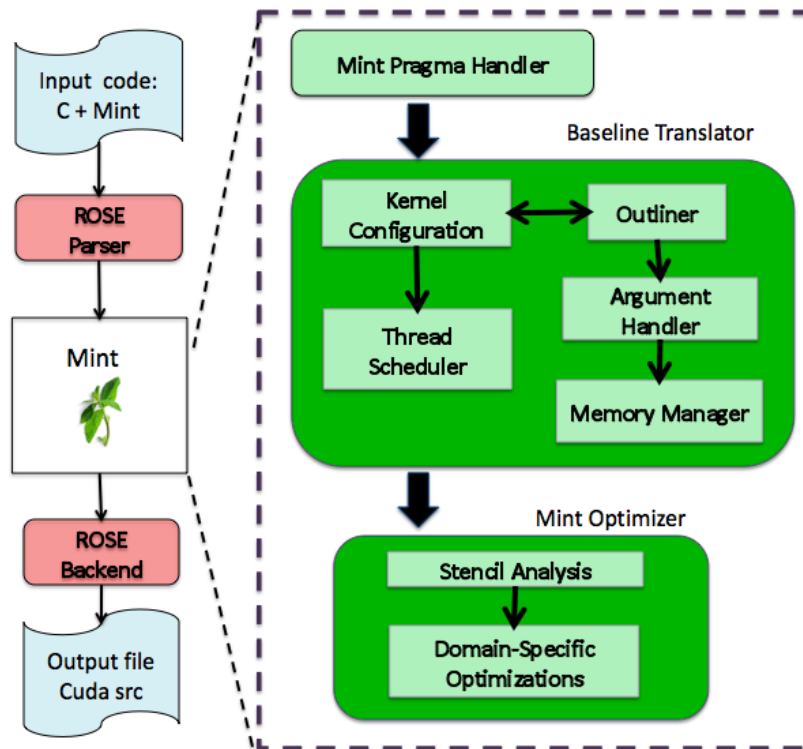
#### 2.2.2. OpenMPC programinis sprendimas

Kita panaši sistema yra OpenMPC [9]. Ji praplečia standartinę OpenMP biblioteką naujomis kompiliatoriaus ir aplinkos direktyvomis, kurios programuotojams suteikia sudėtingo CUDA programavimo modelio abstrakciją ir aukšto lygio kontrolę bei optimizavimo galimybes. Taip pat šis projektas siūlo išbandyti OpenMP konvertavimą į CUDA OpenMPC interneto svetainėje, tačiau ši galimybė šiuo metu nėra pasiekama. Ši sistema teikia CUDA technologijai pritaikytą vykdomąją programą, todėl jos kodo negalima redaguoti.

#### 2.2.3. *Mint* programinis sprenimas

*Mint* [10] yra programavimo modelis ir vertyklė (angl. translator), kuris generuoja labai gerai optimizuotą kodą, pritaiką CUDA platformai, panaudojant tam tikromis *Mint* anotacijomis pažymėtą C programavimo kalbos kodą. Projekto aprašyme teigiama, kad programuotojas gali sėkmingai panaudoti grafinį procesorių, naudodamas tik penkias *Mint* kalbos kompiliatoriaus

direktyvas. Ši sistema sugeneruoja kodą, pritaikytą pagrindiniams ir grafiniams procesoriams, taip pat pasirūpina atminties išskyrimu bei atlaisvinimu. Toliau pateikiama *Mint* sprendimą vaizduojanti diagrama [11].



1 pav. Mint sprendimas

### 2.3. Kuriamos sistemos galimybės

Kuriama sistema sugebės išversti OpenMP kodą į CUDA technologijai pritaikytą kodą arba atvirkščiai. Numatoma, kad programuotojas galės sistemai pateikti C/C++ kalbos failus arba suarchyvuotus projektus, kuriuos sistema pati išskleis bei analizuos.

Sistemą numatoma kurti dviem etapais – sukurti vertyklę, kaip terminale veikiančią programą, bei įgyvendinti ją naudoti mokančią grafinę vartotojo sąsają. Grafinėje vartoto sąsajoje vartotojams būtų paprasčiau bendrauti su vertyklė nei per komandinę eilutę – būtų galima lengviau įkelti projekto failus, keisti konvertavimo parametrus bei parsisiųsti sukonvertuotą kodą. Taip pat sistema turės galimybę peržiūrėti vertėjo palaikomą OpenMP bibliotekos ir CUDA technologijos konvertavimo funkcionalumą – bus galima visas palaikomas funkcijas peržiūrėti atskirtai, arba įkelti savo projektą ir patikrinti ar vertėjas palaiko projekte naudojamą kompiliatoriaus direktyvas ar naudojamą funkcijas.

### 2.4. Įgyvendinimo problemos

Kuriant sistemą, pagrindinis uždavinys yra pritaikyti vienos programos kodą kitos kalbos kompiliatoriui. Siekiant tai įgyvendinti yra susiduriama su tokiais problemomis kaip

funkcijų veikimo atpažinimas vienoje ir kitoje kalboje, programos kodo analizė, atminties išskyrimas bei atlaisvinimas ir kita.

### 2.4.1. Kodo įkėlimo problema

Naudojant grafinę sąsają kodui įkelti yra susiduriama su problema, kad įkeliamas kodas dažniausiai nebus vienas failas, todėl dažniausiai bus keliami projektai suarchyvuoti tam tikra biblioteka, pavyzdžiui zip, rar, 7zip ar tar.gz. Įkeltus projektus sistema turės gebėti išarchyvuoti bei suarchyvuoti jau sugeneruotą kodą.

### 2.4.2. Kodo atpažinimo problema

Tai pat labai aktuali problema yra kaip atpažinti kodą tam tikrai kalbai [9]. Skirtingoms technologijoms yra naudojamas kitoks atminties valdymas, kitoks programavimo stilius. Pavyzdžiui, nagrinėjant programą, kuri atskirose gijose sudeda dviejų masyvų (a ir b sveikųjų skaičių masyvai) skaičius ir atsakymą priskiria trečiajam c masyviui. Tačiau programos savo struktūra yra labai skirtingos (žiūrėti 1 lentelę).

1 lentelė. OpenMP ir CUDA kodo palyginimas

Kodas naudojantis OpenMP	Kodas naudojantis CUDA
<pre> #include &lt;omp.h&gt; #include &lt;stdio.h&gt; #include &lt;stdlib.h&gt; #define N 5 //gijų skaičius  int main(){     int a[N], b[N], c[N];     //Masyvų užpildymas pradiniais duomenimis     for (int i = 0; i &lt; N; i++){         a[i] = i,         b[i] = 1;         c[i] = 0;     }      #pragma omp parallel     for (int i = 0; i &lt; N; i++){         //skaičiuoja kiekviena gija lygiagrečiai         int sum = a[i] + b[i];         #pragma omp critical         c[i] = sum;     }     //rezultatų spausdinimas     for (int i = 0; i &lt; N; i++)         printf("%d + %d = %d\n", a[i], b[i], c[i]);      return 0; } </pre>	<pre> #include &lt;cuda.h&gt; #include &lt;stdio.h&gt; #include &lt;stdlib.h&gt;  #define N 5 //gijų skaičius //branduolio funkcija __global__ void add(int *a, int *b, int *c){     int tID = blockIdx.x;     //skaičiuoja kiekviena gija lygiagrečiai     if (tID &lt; N)         c[tID] = a[tID] + b[tID]; }  int main(){     int a[N], b[N], c[N];     int *dev_a, *dev_b, *dev_c;     //Atminties išskyrimas CUDA įrenginyje     cudaMalloc((void **)&amp;dev_a, N*sizeof(int));     cudaMalloc((void **) &amp;dev_b, N*sizeof(int));     cudaMalloc((void **)&amp;dev_c, N*sizeof(int));     //Masyvų užpildymas pradiniais duomenimis     for (int i = 0; i &lt; N; i++){         a[i] = i;         b[i] = 1;         c[i] = 0;     }      //duomenų nukopijavimas į GPU     cudaMemcpy(dev_a, a, N*sizeof(int),     cudaMemcpyHostToDevice);     cudaMemcpy(dev_b, b, N*sizeof(int),     cudaMemcpyHostToDevice);     //gijų paleidimas     add &lt;&lt; &lt;N, 1 &gt;&gt; &gt;(dev_a, dev_b, dev_c);     //duomenų kopijavimas į CPU     cudaMemcpy(c, dev_c, N*sizeof(int),     cudaMemcpyDeviceToHost);     //rezultatų spausdinimas     for (int i = 0; i &lt; N; i++){         printf("%d + %d = %d\n", a[i], b[i],     c[i]);     }     return 0; } </pre>

Kaip matome iš programų kodo pavyzdžių, CUDA programa yra gerokai ilgesnė nei OpenMP programa. CUDA programą sudaro šie pagrindiniai veiksmai:

- Atminties išskyrimas CUDA įrenginiui (GPU);
- Atminties nukopijavimas į GPU;
- Gijų paleidimas, naudojant `__global__` (brandulio) funkciją;
- Atminties persikopijavimas iš GPU į pagrindinę atmintį;
- GPU atminties atlaisvinimas;
- Rezultatų atspausdinimas.

Atlikus šiuos veiksmus programa baigia darbą.

Nors OpenMP programa yra trumpesnė, nes nereikia atskirai išskirti atminties, tačiau ji yra sudėtingesnė dėl naudojamų kompiliatoriaus direktyvų, kurios prasideda mėlynai paryškintu žodžiu „`#pragma`“. Kiekviena jų turi tam tikrą prasmę. Visos kompiliatoriaus direktyvos yra labai aiškiai ir išsamiai aprašytos OpenMP dokumentacijoje. Šiuo atveju OpenMP „`#pragma omp parallel`“ reiškia, kad kodas bus vykdomas lygiagrečiai, o „`#pragma omp parallel critical`“ pažymi, kad kodą po šia direktyva gijos negali vykdyti visos iš karto, turi vykdyti kiekviena atskirai, nes `c` masyvas negali būti bendrai naudojamas.

Apibendrinus šiuos kodo pavyzdžius, aiškiai galima suprasti pagrindinius OpenMP ir CUDA skirtumus. Juos įvertinus matyti, kad kuriant sistemą reikės:

1. Išanalizuoti OpenMP direktyvas, funkcijas.
2. Išanalizuoti CUDA funkcijas.
3. Išanalizuoti CUDA atminties valdymą.
4. Sukurti algoritmą, kuris atpažintų kode naudojamą funkcijas ar direktyvas ir sugeneruotų kodą tai technologijai, į kurią yra verčiama pradinė programa.

## **2.5. Išvados**

1. Naudojant programinę įrangą, sugebančią konvertuoti jau sukurtą produktą į kitai technologijai pritaikytą projektą būtų galima sutaupyti daug laiko bei pinigų, siekiant pasamdyti tam tikrą technologiją išmanančius programuotojus.
2. Nors yra panašių egzistuojančių sistemų, tačiau kuriama sistema su galimybėmis, tokiomis kaip konvertavimas iš OpenMP į CUDA, grafine vartotojo sąsaja, įkelto projekto patikrinimu, išsiskiria iš savo konkurenčių.

### 3. PROJEKTAVIMAS

#### 3.1. Apribojimai sprendimui

Sistema remsis OpenMP ir CUDA SDK bibliotekomis bei vykdomosiomis programomis. Kuriama sistema sąveikaus su įvairiomis techninėmis bei programinėmis sistemomis.

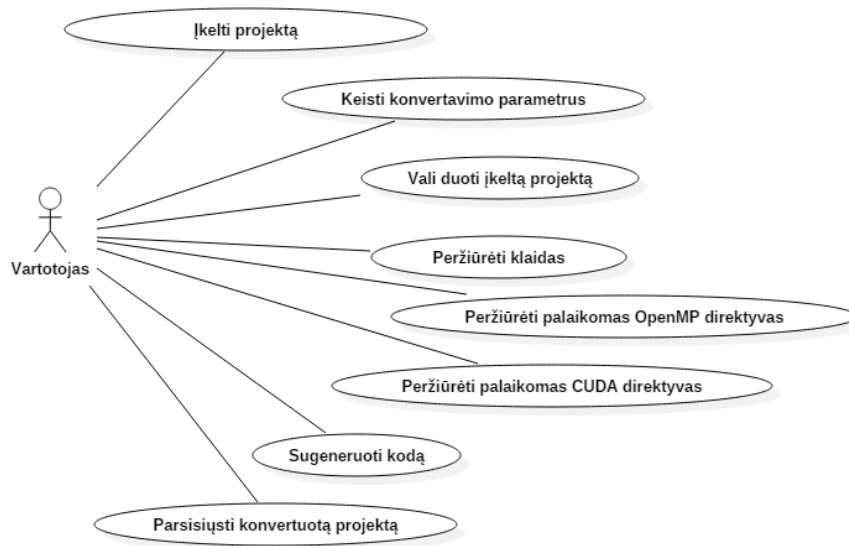
Techninės:

- Procesorius – Intel Celeron 1,3 Ghz arba galingesnis;
- Operatyvinė atmintis – 200 MB DDR3;
- Disko vieta sistemai – 100 MB;
- Nvidia vaizdo plokštė palaikanti CUDA technologiją.

Programinės:

- Interneto naršyklė, palaikanti HTML5 ir CSS3 standartus;
- Tomcat 7 serveris;
- Linux operacinė sistema;
- Java 7 arba Java 8 JDK.

#### 3.2. Panaudos atvejai



2 pav. Panaudos atvejų diagrama

**2 lentelė.** Projekto įkėlimo panaudos atvejis

<b>PANAUDOJIMO ATVEJIS:</b>	Įkelti projektą
<b>Tikslas:</b>	Įkelti projektą konvertavimui .
<b>Aktoriai:</b>	Vartotojas
<b>Prieš sąlygos:</b>	Vartotojas turi projektą ir nori jį pakeisti.
<b>Po sąlygos:</b>	Sėkmingai įkeliamas projektas.
<b>Sužadinimo sąlygos:</b>	Vartotojas nori įkelti projektą konvertavimui.
<b>Pagrindinis scenarijus:</b>	Vartotojas bando įkelti projektą, spaudžia mygtuką įkelti.
<b>Alternatyvūs scenarijai:</b>	Esant klaidai, parodomas informuojantis pranešimas.

**3 lentelė.** Konvertavimo parametrų keitimo panaudos atvejis

<b>PANAUDOJIMO ATVEJIS:</b>	Keisti konvertavimo parametrus
<b>Tikslas:</b>	Nustatyti parametrus konvertavimui.
<b>Aktoriai:</b>	Vartotojas
<b>Prieš sąlygos:</b>	Vartotojas žino į kokią technologiją nori konvertuoti projektą.
<b>Po sąlygos:</b>	Pakeičiami parametrai.
<b>Sužadinimo sąlygos:</b>	Vartotojas nori pakeisti konvertavimo parametrus.
<b>Pagrindinis scenarijus:</b>	Vartotojas sužymi jam aktualius parametrus sistemoje.
<b>Alternatyvūs scenarijai:</b>	Sistema informuoja vartotoją apie klaidingus pasirinktus parametrus, kurie netinka tai technologijai. Esant klaidai, parodomas informuojantis pranešimas.

4 lentelė. Įkeliamo projekto vali davimo panaudos atvejis

<b>PANAUDOJIMO ATVEJIS:</b>	Validuoti įkeltą projektą
<b>Tikslas:</b>	Patikrinti ar įkeltame projekte nėra klaidų
<b>Aktoriai:</b>	Vartotojas
<b>Prieš sąlygos:</b>	Vartotojas nori patikrinti ar sistema supras jo projektą.
<b>Po sąlygos:</b>	Patikrintas projektas.
<b>Sužadinimo sąlygos:</b>	Vartotojas nori patikrinti ar jo projekte yra konvertavimui trukdančių klaidų.
<b>Pagrindinis scenarijus:</b>	<ol style="list-style-type: none"> <li>1. Vartotojas sėkmingai įkelia projektą.</li> <li>2. Sistema tikrina įkeltą projektą – bando jį sukompiliuoti tam tikrai technologijai, aptinka klaidas ir jeigu jų yra parodo vartotojui.</li> </ol>
<b>Alternatyvūs scenarijai:</b>	<p>Informuojama apie klaidas arba parodo pranešimą, kad įkėlimas sėkmingas.</p> <p>Esant klaidai, parodomas informuojantis pranešimas.</p>

5 lentelė. Klaidų peržiūrėjimo panaudos atvejis

<b>PANAUDOJIMO ATVEJIS:</b>	Peržiūrėti klaidas
<b>Tikslas:</b>	Peržiūrėti klaidas
<b>Aktoriai:</b>	Vartotojas
<b>Prieš sąlygos:</b>	Turi būti įvykusi kokia nors klaida.
<b>Po sąlygos:</b>	Vartotojas peržiūri klaidų žurnalą.
<b>Sužadinimo sąlygos:</b>	Pradiniame projekte arba konvertavimo metu gaunama klaidų arba įspėjamųjų pranešimų.
<b>Pagrindinis scenarijus:</b>	<ol style="list-style-type: none"> <li>1. Vartotojas paspaudžia mygtuką peržiūrėti žurnalą.</li> <li>2. Vartotojas žiūri neseniai įvykusias klaidas žurnale.</li> </ol>
<b>Alternatyvūs scenarijai:</b>	Esant klaidai, parodomas informuojantis pranešimas.

6 lentelė. OpenMP direktyvų peržiūros panaudos atvejais

<b>PANAUDOJIMO ATVEJIS:</b>	Peržiūrėti palaikomas OpenMP direktyvas
<b>Tikslas:</b>	Peržiūrėti OpenMP direktyvas
<b>Aktoriai:</b>	Vartotojas
<b>Prieš sąlygos:</b>	Vartotojas nori peržiūrėti ką sistema supranta apie OpenMP.
<b>Po sąlygos:</b>	Vartotojas išsiaiškina ką gali naudoti savo projekte.
<b>Sužadinimo sąlygos:</b>	Vartotojas nori peržiūrėti palaikomas OpenMP direktyvas.
<b>Pagrindinis scenarijus:</b>	<ol style="list-style-type: none"> <li>1. Vartotojas spaudžia mygtuką peržiūrėti OpenMP palaikymą.</li> <li>2. Sistema iš duomenų bazės paima įgyvendintas OpenMP direktyvas bei galimus parametrus.</li> </ol>
<b>Alternatyvūs scenarijai:</b>	Esant klaidai, parodomas informuojantis pranešimas.

7 lentelė. CUDA direktyvų peržiūros panaudos atvejais

<b>PANAUDOJIMO ATVEJIS:</b>	Peržiūrėti palaikomas CUDA funkcijas
<b>Tikslas:</b>	Peržiūrėti CUDA direktyvas
<b>Aktoriai:</b>	Vartotojas
<b>Prieš sąlygos:</b>	Vartotojas nori peržiūrėti ką sistema palaiko apie CUDA technologijos funkcijas.
<b>Po sąlygos:</b>	Vartotojas išsiaiškina ką gali naudoti savo projekte.
<b>Sužadinimo sąlygos:</b>	Vartotojas nori peržiūrėti palaikomas CUDA funkcijas.
<b>Pagrindinis scenarijus:</b>	<ol style="list-style-type: none"> <li>1. Vartotojas spaudžia mygtuką peržiūrėti CUDA palaikymui.</li> <li>2. Sistema iš duomenų bazės paima įgyvendintas CUDA direktyvas bei galimus parametrus.</li> </ol>
<b>Alternatyvūs scenarijai:</b>	Esant klaidai, parodomas informuojantis pranešimas.

8 lentelė. Kodo generavimo panaudos atvejis

<b>PANAUDOJIMO ATVEJIS:</b>	Sugeneruoti kodą
<b>Tikslas:</b>	Sugeneruoti kodą, pritaikytą CUDA arba OpenMP technologijai.
<b>Aktoriai:</b>	Vartotojas
<b>Prieš sąlygos:</b>	Turi būti įkeltas pradinis projektas. Įkelto projekto patikrinimas dėl klaidų sėkmingas.
<b>Po sąlygos:</b>	Sistema sukuria naują projektą, sugeneruoja kodą priešingai technologijai.
<b>Sužadinimo sąlygos:</b>	Vartotojas nori sugeneruoti kodą priešingai technologijai.
<b>Pagrindinis scenarijus</b>	<ol style="list-style-type: none"> <li>1. Vartotojas spaudžia mygtuką generuoti.</li> <li>2. Sistema sėkmingai sugeneruoja kodą.</li> </ol>
<b>Alternatyvūs scenarijai:</b>	<p>Esant blogai nurodytiems parametrams, sistema siūlo patikrinti duomenis ir bandyti dar kartą.</p> <p>Jeigu sistemoje neužtenka vietos sukurti naują projektą, sistema praneša apie klaidą.</p> <p>Esant kitoms klaidoms, parodomas informuojantis pranešimas.</p>

9 lentelė. Projekto parsisiuntimo panaudos atvejis

<b>PANAUDOJIMO ATVEJIS:</b>	Parsisiųsti konvertuotą projektą
<b>Tikslas:</b>	Parsisiųsti konvertuotą projektą
<b>Aktoriai:</b>	Vartotojas
<b>Prieš sąlygos:</b>	Kodo generavimas buvo sėkmingas.
<b>Po sąlygos:</b>	Vartotojas turi parsisiųstą konvertuotą projektą.
<b>Sužadinimo sąlygos:</b>	Vartotojas nori parsisiųsti sugeneruotą projektą.
<b>Pagrindinis scenarijus</b>	<ol style="list-style-type: none"> <li>1. Vartotojas paspaudžia mygtuką parsisiųsti.</li> <li>2. Atsisiunčiamas failas.</li> </ol>
<b>Alternatyvūs scenarijai:</b>	Esant blogai nurodytam failo vardui, sistema informuojama apie klaidą.

### 3.3. Funkciniai reikalavimai

10 lentelė. Konvertavimo progreso rodymas

Reikalavimas #:	1	Reikalavimo tipas:	9	Ivykis/PA #:	7
Aprašymas:	Vartotojas dirbdamas su sistema turi turėti galimybę matyti progresą.				
Pagrindimas:	Reikalinga, kad vartotojas galėtų suprasti, kiek laiko užtruks programos konvertavimas.				
Šaltinis:	Užsakovas				
Tikimo kriterijus:	Sistema rodo kiek užtruks konvertavimas.				
Užsakovo patenkinimas:	4	Užsakovo nepatenkinimas:	4		
Priklausomybės:	Nėra	Konfliktai:	Nėra		
Papildoma medžiaga:	Nėra				
Istorija:	Užregistruotas 2014-12-11				

11 lentelė. Parametrų nustatymas

Reikalavimas #:	2	Reikalavimo tipas:	9	Ivykis/PA #:	2
Aprašymas:	Vartotojas, labiau išmanantis CUDA ar OpenMP technologijas turi galėti nusistatyti papildomus parametrus.				
Pagrindimas:	Reikalinga, kad vartotojui nereiktų rankiniu būtu nustatinėti nuo technologijos priklausančius parametrus.				
Šaltinis:	Užsakovas				
Tikimo kriterijus:	Sistema leidžia nustatyti specialius parametrus.				
Užsakovo patenkinimas:	4	Užsakovo nepatenkinimas:	4		
Priklausomybės:	Nėra	Konfliktai:	Nėra		
Papildoma medžiaga:	Nėra				
Istorija:	Užregistruotas 2014-12-11				

### 3.4. Nefunkciniai reikalavimai

#### 3.4.1. Reikalavimai sistemos išvaizdai

##### 3.4.1.1. Išvaizda

Vartotojo sąsaja turi būti:

1. lengvai skaitoma – tam, kad nevaržytų naujų sistemos vartotojų;

2. neįkyri, nereikalaujanti daugkartinių patvirtinimų – tam, kad nevargintų daug ir ilgesnį laiką sistema besinaudojančių vartotojų;

#### **3.4.1.2. Stilius**

Visoje vartotojo sąsajoje turi būti vientisa: naudojamas vienas stilius, t.y. vienodi šriftai, spalvos, elementų apipavidalinimas. Tai pat turi būti patrauklios ir profesionalios išvaizdos – tam, kad dažnai sistema besinaudojantiems vartotojams būtų malonu dirbti.

#### **3.4.2. Reikalavimai panaudojamumui**

##### **3.4.2.1. Naudojimosi paprastumas**

Naudojimasis sistema turi būti greitai perprantamas, be apsimokymo (90% sėkmingas panaudojimas pirmu bandymu).

##### **3.4.2.2. Vartotojui skirtos savybių ir kalbos konfigūravimo priemonės**

Sistema turi būti tobulinama, vis palaikant daugiau CUDA ir OpenMP konvertuojamų funkcijų. Vartotojas turi galėti keisti konvertavimo parametrus.

##### **3.4.2.3. Mokymosi reikalavimai**

Nėra.

##### **3.4.2.4. Suprantamumas ir mandagumas**

Sistemos sąsaja turi būti pritaikyta anglų kalbą suprantamiems vartotojams. Turi būti naudojami OpenMP ir CUDA technologijose naudojami terminai.

##### **3.4.2.5. Prieinamumas neįgaliesiems**

Turi būti galimybė padidinti vartotojo sąsajos elementus ir teksto šrifto dydį.

#### **3.4.3. Reikalavimai vykdymo savybėms**

##### **3.4.3.1. Užduočių vykdymo greitis**

Sistema turi turėti greitą atsaką į vartotojų veiksmus. Vidutinis operacijos atlikimo laikas iki

3s.

##### **3.4.3.2. Darbo saugos reikalavimai**

Nėra.

##### **3.4.3.3. Reikalavimai tikslumui**

Nėra.

##### **3.4.3.4. Patikimumas ir pasiekiamumas**

Nėra.

##### **3.4.3.5. Atsparumas trukdžiams**

Nėra.

#### **3.4.3.6. Reikalavimai apdorojamų duomenų apimtims**

Sistema turi turėti bent 5 GB laisvos vietos, laikiniems failams ir .zip archyvams laikyti.

#### **3.4.3.7. Reikalavimai išplečiamumui**

Sistema turi būti kuriama iš atskirų modulių, kad būtų galima lengvai praplėsti jos galimybes.

#### **3.4.3.8. Reikalavimai produkto ilgaamžiškumui**

Tikimasi, kad sistema bus naudojama bent 4 metus.

### **3.4.4. Reikalavimai veikimo sąlygoms**

#### **3.4.4.1. Numatoma fizinė aplinka**

Nėra.

#### **3.4.4.2. Reikalavimai darbui su gretimomis sistemomis**

Nėra.

#### **3.4.4.3. Reikalavimai sist. platinimo/gamybos formatui**

Sistema turėtų būti platinama kaip .deb ar .tar.gz paketas, siekiant užtikrinti sklandų sistemos įdiegimą Linux aplinkoje.

#### **3.4.4.4. Reikalavimai leidybos procesui**

Sistemos įdiegimo pakete turi būti įtrauktas ir sistemos kodas. Kartą per du metus bus išleidžiama nauja sistemos versija.

### **3.4.5. Reikalavimai sistemos priežiūrai**

#### **3.4.5.1. Sistemos aptarnavimas**

Sistemos įdiegimo procesas turi vykti automatiškai ir užtrukti ne ilgiau kaip 2 minutes.

#### **3.4.5.2. Sistemos palaikymas**

Sistema turės vartotojo gidą, kuriame bus aprašytas sistemos veikimas.

#### **3.4.5.3. Perkėlimo į kitas platformas reikalavimai**

Sistema turi veikti Linux operacinėje sistemoje.

### **3.4.6. Reikalavimai saugumui**

#### **3.4.6.1. Prieigos reikalavimai (teisės)**

Administratoriaus teisės nebus reikalingos sistemos paleidimui.

#### **3.4.6.2. Vientisumo (integralumo) reikalavimai**

Nėra.

#### **3.4.6.3. Reikalavimai privatumui**

Sistema baigus darbą neturėtų saugoti laikinų darbui reikalingų failų.

#### **3.4.6.4. Audito reikalavimai**

Nėra.

#### **3.4.6.5. Reikalavimai savisaugai nuo išorinių grėsmių**

Nėra.

#### **3.4.7. Kultūriniai-politiniai reikalavimai**

##### **3.4.7.1. Kultūriniai reikalavimai**

Nėra.

##### **3.4.7.2. Politiniai reikalavimai**

Nėra.

#### **3.4.8. Teisiniai reikalavimai**

##### **3.4.8.1. Įstatyminiai reikalavimai**

Autorinės teisės į galutinį produktą priklausys jos kūrėjams.

##### **3.4.8.2. Reikalavimai standartams**

Nėra.

#### **3.4.9. Atviri klausimai**

Ar reikėtų sukurti vartotojo dokumentaciją?

Ar reikėtų sukurti demonstracinį video filmuką?

#### **3.4.10. Egzistuojantys sprendimai**

##### **3.4.10.1. Prieinamos sistemos**

Sistemų leidžiančių konvertuoti kodą iš OpenMP į CUDA arba atvirkščiai nėra sukurta, tačiau yra keletas panašių sistemų (žiūrėti ankstesnius skyrius).

##### **3.4.10.2. Prieinami komponentai**

Sistema naudos laisvai prieinamus OpenMP ir CUDA SDK.

##### **3.4.10.3. Kopijuotini sprendimai**

Galima pasinaudoti jau egzistuojančiais kompiliatoriais, tokiais kaip GCC, MAKE failai, siekiant užtikrinti panašias valdymo galimybes.

#### **3.4.11. Problemos**

##### **3.4.11.1. Poveikis diegimo aplinkai**

Sistema bus integruota su kitomis Linux operacinėje sistemoje veikiančiomis sistemomis, todėl jokios įtakos joms neturės.

##### **3.4.11.2. Poveikis esamoms sistemoms**

Esamoms sistemos produktas įtakos neturės.

##### **3.4.11.3. Probleminė vartotojų reakcija**

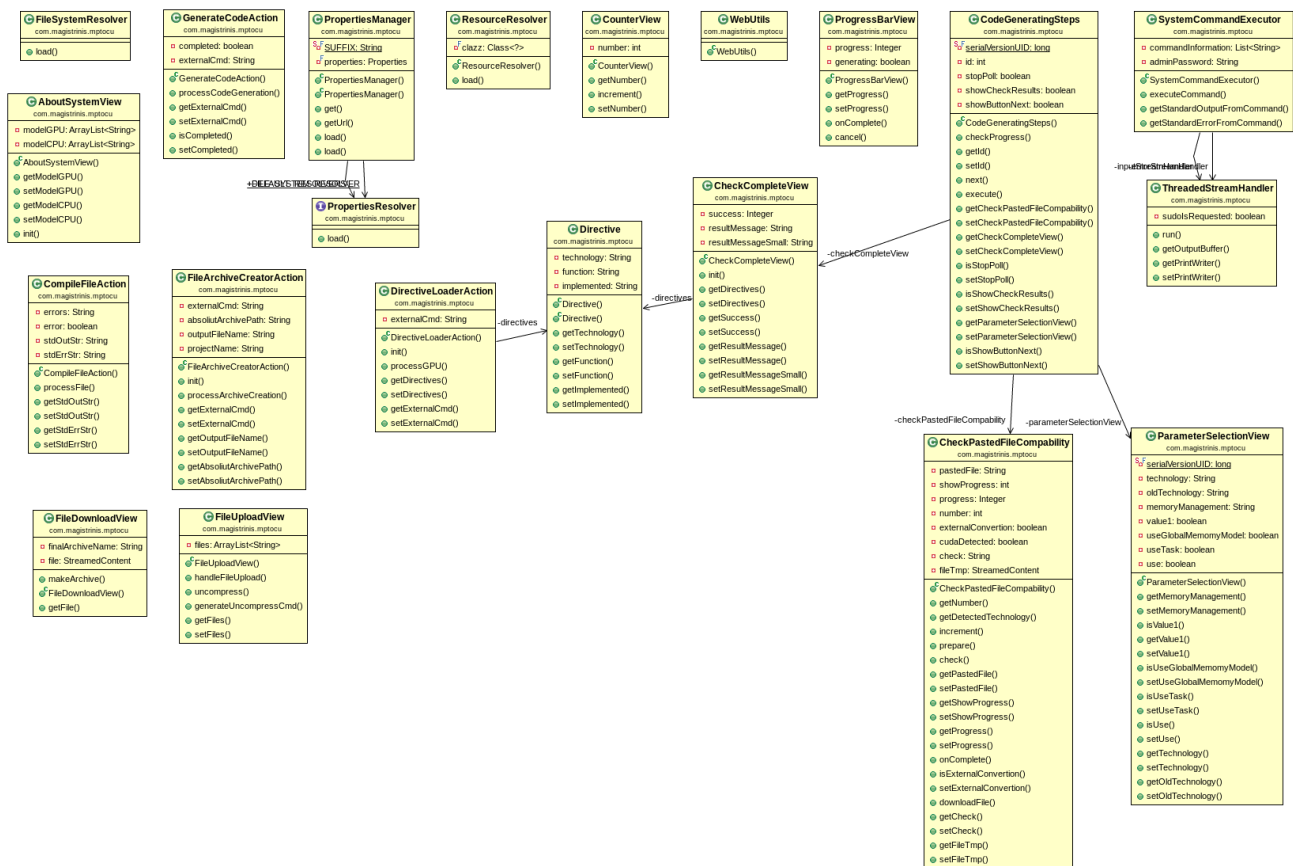
Nėra.

##### **3.4.11.4. Apribojimai diegimo aplinkoje**

Nėra.

## 3.5. Sistemos architektūra

### 3.5.1. Grafinės sąšajos modulis



3 pav. Grafinės sąšajos modulio klasių diagrama

Grafinės sąšajos modulio pagrindą sudaro šios klasės:

- *Directive* - abstrakčiai aprašo kalbos direktyvą kitamaisiais: technologija, funkcijos pavadinimas ir statusu ar galima pakeisti funkciją kita;
- *DirectiveLoaderAction* - klasė kuri užkrauna visas direktyvas sąrašo pavidalu;
- *SystemCommandExecutor* ir *ThreadedStreamHandler* suteikia galimybę vykdyti programas foniniam procese bei leidžia pasiimti stdout ir stderr srautus iš vykdomos programos;
- *FileDownloadView*, *FileUploadView*, *FileSystemResolver*, *ResourceResolver*, *PropertiesResolver*, *FileArchiveCreatorAction* aprašo bei vykdo veiksmus kurie yra reikalingi darbui su failų sistema, įgalina failų parsisiuntimą, įkėlimą, archyvo sukūrimą iš keletos failų;
- *CodeGeneratingSteps*, *GenerateCodeAction*, *CompileFileAction*, *CheckPastedFileCompatibility* - atsakingos už logiką apdorojant kodo generavimo žingsnius bei kodo generavimo modulio iškvietimą.

### 3.5.2. Kodo generavimo modulis

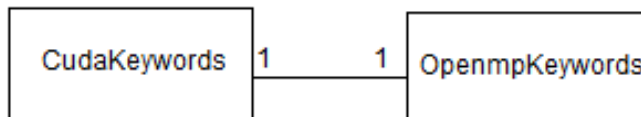


4 pav. Kodo generavimo modulio klasių diagrama

Kodo generavimo modulio pagrindą sudaro šios klasės:

- *LanguageKeyword* - abstrakčiai aprašo kalbos direktyvą kintamaisiais: technologija, funkcijos pavadinimas ir statusu ar galima pakeisti funkciją kita;
- *FileManager*, *LanguageKeywordLoader* - skirta atlikti veiksmams susijusiems su failų sistema - užkrauti visus *LanguageKeyword*, nuskaityti ar įrašyti informacijai į failus.
- *CheckCompatibility* - patikrina ar tam tikras perduotas failas gali būti konvertuotas pagal informaciją gautą iš *LanguageKeywordLoader* klasės.
- *GenerateCodeToOpenMP*, *GenerateCodeToCuda* bei *AbstractCodeGenerator* - atlieka kodo generavimo procesą - analizuoja pradinį failą, kuria naujas konstrukcijas, saugoja sugeneruotą kodą į naujai sukurtą failą.

### 3.5.3. Duomenų vaizdas

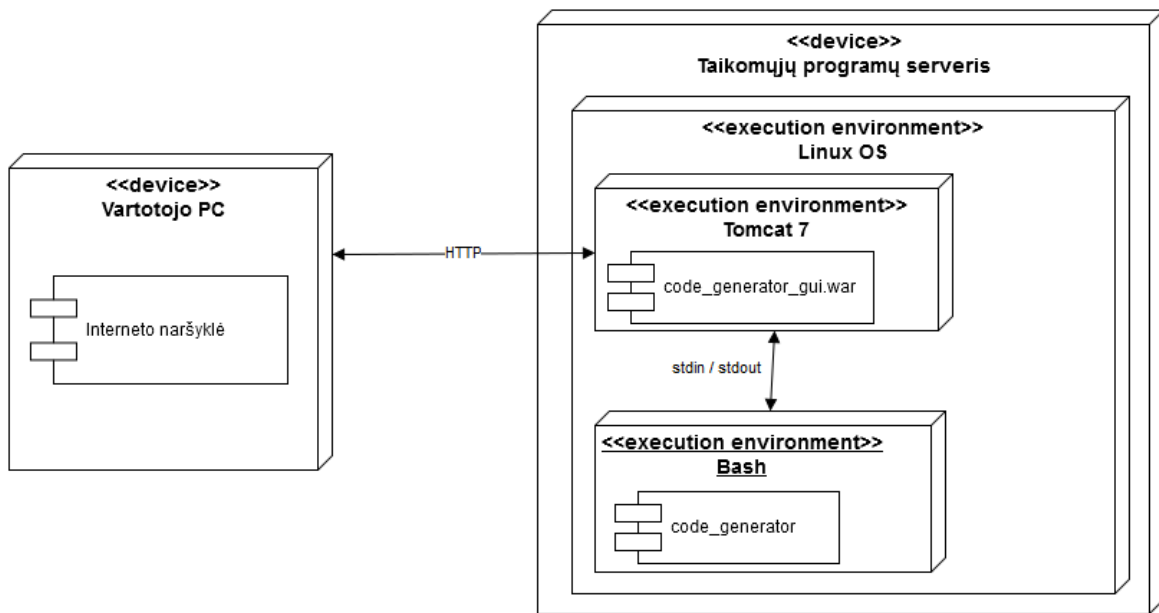


5 pav. Duomenų vaizdas

*CudaKeywords* – lentelė ar failas, apibūdinantis CUDA kalbos raktinius žodžius, jų aprašymą bei požymį ar realizuotas jo pakeitimas į OpenMP alternatyvą.

*OpenmpKeywords* – lentelė ar failas, apibūdinantis OpenMP kalbos raktinius žodžius, jų aprašymą bei požymį ar realizuotas jo pakeitimas į CUDA alternatyvą.

### 3.5.4. Išdėstymo vaizdas



6 pav. Sistemos išdėstymo vaizdas

Sistemos išdėstymą sudaro, kaip parodyta 6 paveikslėlyje, vartotojo įrenginys ir taikomųjų programų serveris. Vartotojo įrenginio (kompiuterio, planšetės ar išmaniojo telefono) operacinė sistema nėra svarbi, nes vartotojas kreipsis į serverį naudodamas interneto naršyklę. Bendravimas vyks HTTP protokolu, per grafinę sąsają. Tuo tarpu serveriui yra reikalinga Linux operacinė sistema, nes sistema yra priklausoma nuo keleto bibliotekų. Tomcat 7 vykdymo aplinka naudodama stdin ir stdout srautus keisis duomenimis su kodo generatoriaus posisteme ir atvaizduos rezultatus vartotojui.

### 3.6. Išvados

1. Projektavimo metu nustatyti sistemos apribojimai, funkciniai bei nefunkciniai reikalavimai.
2. Realizuota sistemos architektūra, projektas išskaidytas į kodo generavimo bei grafinės sąsajos modulius.

## 4. NUOSEKLIŲ IR LYGIAGREČIŲ ALGORITMŲ TYRIMAS

### 4.1. Tyrimo tikslas

Atliekamo tyrimo tikslas yra nustatyti OpenMP ir CUDA technologijų teikiamus privalomus (funkcijas, struktūras, konfigūracijas, atminties tipą), kurie padėtų patobulinti sukurtą sistemą taip, kad pagal vartotojo įkeltą kodą būtų pasiekiamas geriausias išlygiagretinimo efektas [13] [14].

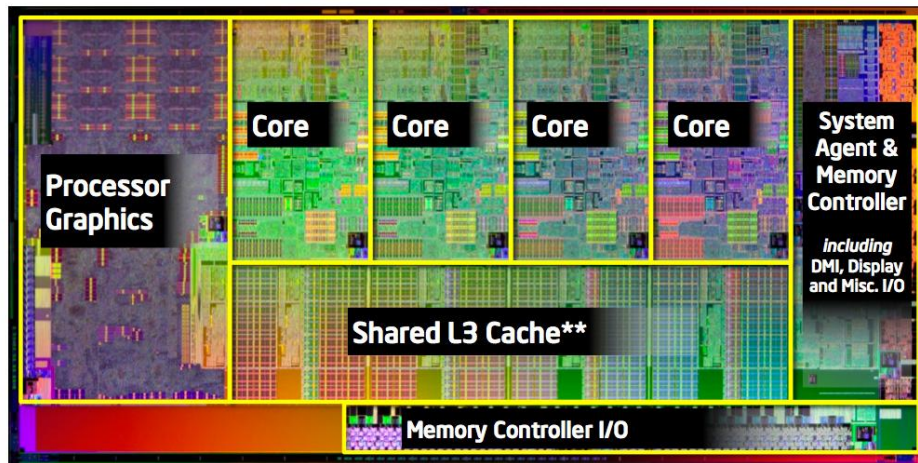
Tyrimui atlikti buvo pasirinkti algoritmai, kurie yra plačiai naudojami, reikalauja daugiau atminties bei parodo išlygiagretintų procesų privalumus. Toliau pateikiama lentelė, kuri trumpai apibūdina, kodėl buvo pasirinktas tam tikras algoritmas.

12 lentelė. Pasirinkti algoritmai tyrimui

Pavadinimas	Tiriama technologijoje	Pasirinkimo priežastis
Maksimumo radimas	OpenMP ir CUDA	Ieškant tam tikros reikšmės, dažniausiai duomenų tvarka neturi reikšmės.
Matricių daugyba	OpenMP ir CUDA	Matricos yra svarbios matematikoje, lygčių sprendimuose, vaizdų apdorojime, jų transformacijose. Išlygiagretinus šiuos veiksmus galima sutaupyti laiko bei resursų.
$\pi$ apskaičiavimas	OpenMP ir CUDA	Skaičiuojant $\pi$ ypač aktualus yra skaičiavimo tikslumas.
Rikiavimas	OpenMP ir CUDA	Rikiuojant duomenis, rikiavimo greitis dažnai priklauso nuo pradinės duomenų tvarkos.

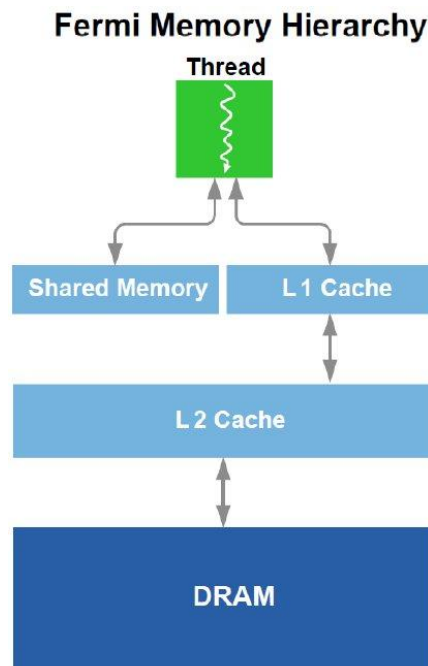
### 4.2. Naudojama techninė įranga

Tyrimui atlikti bus naudojamas vienas nešiojamas „ACER Aspire“ kompiuteris su antros kartos i7-2630QM procesoriumi, 8 GB RAM bei integruota „Nvidia“ vaizdo plokšte „GT 540m“ 2GB, kuri pagaminta pagal „Fermi“ architektūrą.



7 pav. Intel i7 2nd gen. procesoriaus vidinė struktūra.

Kaip matome 7 paveikslėlyje, šis procesorius turi Intel kompanijos patentuotą „SmartCache“ technologiją, kuri įgalina visus 4 procesoriaus branduolius (dvi gijos per branduolį) dalintis L3 lygio spartinančiąja atmintimi (6 MB). Tai ypač yra aktualu naudojantis OpenMP technologija, nes ji geba panaudoti šią atmintį.



8 pav. Fermi architektūros atmintis

Kalbant apie „Nvidia“ kompanijos „Fermi“ architektūrą, kaip matome iš 8 paveikslėlio, ši vaizdo plokštė turi L1 bei L2 spartinančiąsias atmintines bei bendrą atmintį (angl. Shared Memory). Tai pat svarbu paminėti, kad kiekviena gija (angl. Thread) gali kreiptis į abi atmintis, tačiau kreipimasis į bendrą atmintį užima daug mažiau laiko, nei į L2 ar DRAM (globalią) atmintį. Tyrime naudojama vaizdo plokštė turi 128 KB L2 atminties, 48 KB bendros atminties (angl. Shared Memory), 16 KB L1 atminties bei 2 GB DRAM atminties.

### 4.3. Tyrimo kriterijai

Nuoseklių bei lygiagrečių algoritmų spartai palyginti bus naudojami spartinimo koeficientas ir algoritmo efektyvumo koeficientas.

#### 4.3.1. Spartinimo koeficientas

Lygiagrečiojo algoritmo spartinimo koeficientu [15] vadinamas santykis  $S_p = \frac{T_0}{T_p}$ , įvertinantis pagreitėjimą, kuris pasiekiamas sprendžiant uždavinį lygiagrečiu algoritmu ir naudojant  $p$  procesorių. Čia  $T_p$  žymi laiką, per kurį duotas uždavinys išsprendžiamas lygiagrečiu algoritmu naudojant  $p$  procesorių.  $T_0$  – laiką, per kurį tas pats uždavinys išsprendžiamas greičiausiu nuosekliu algoritmu. Idealiu atveju yra tikimasi, kad didėjant procesorių skaičiui, algoritmo spartinimo koeficientas didės tiesiškai.

#### 4.3.2. Algoritmo efektyvumo koeficientas

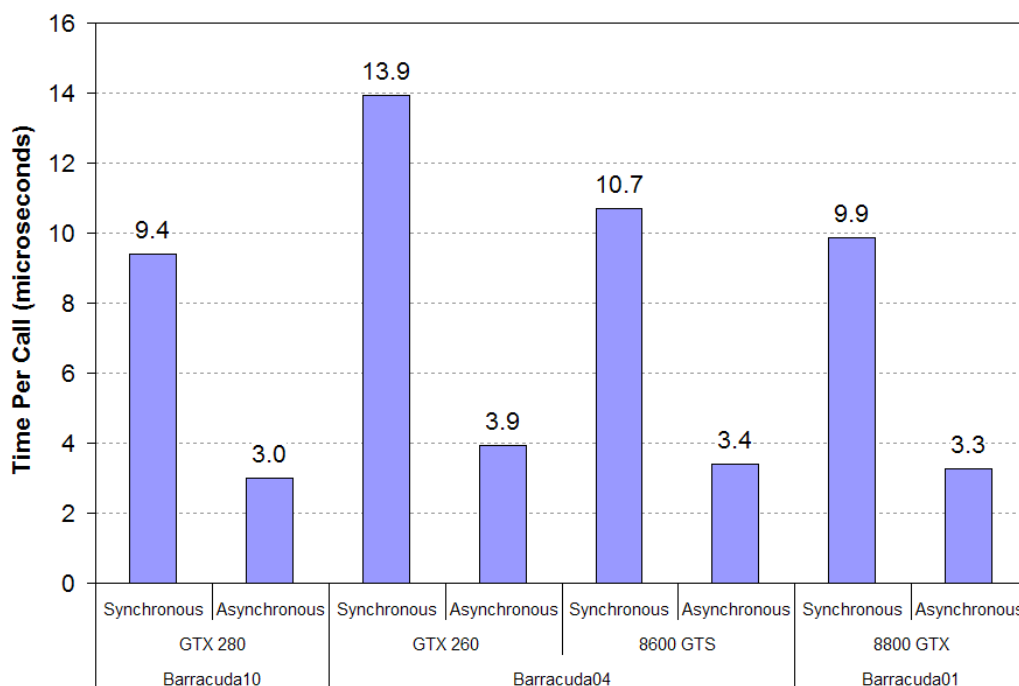
Algoritmo efektyvumo koeficientu  $E_p$  yra vadinamas algoritmo spartinimo koeficientas  $S_p$  ir naudojamų procesorių skaičiaus  $p$  santykis (1). Jis parodo, kokią dalį procesorių pajėgumo pasitelkiame sprendami uždavinį duotuoju lygiagrečiu algoritmu.

$$E_p = \frac{S_p}{p} \quad (1)$$

### 4.4. Išlygiagretinimo kaštai

Įvairių tyrimų teigimu, OpenMP ir CUDA technologijose pasiruošimas vykdyti išlygiagretintą kodą bei jo iškvietimas užima nemažai laiko ir šie kaštai yra skirtingi OpenMP ir CUDA technologijose.

Universiteto „Virginia“ atlikto tyrimo duomenimis [16], skiriasi sinchroninio ir asinchroninio CUDA branduolio vykdymo funkcijos kvietimo kaštai. Atlikto tyrimo metu buvo matuojamas vidutinis laikas, reikalingas paleisti tuščią branduolio funkciją ją daug kartų kviečiant. Tyrimas buvo atliekamas ant trijų skirtingų kompiuterių.



9 pav. „Virginia“ universiteto atlikto tyrimo duomenys. Laikas, reikalingas iškviešti tuščiai branduolio funkcijai.

Tyrimo rezultatuose teigiama, kad kvietimo laikas nepriklauso nuo kviečiamos branduolio funkcijos charakteristikų, tačiau priklauso nuo kvietimo būdo – ar reikalinga sinchronizacija ar ne, bei akcentuojama, kad asinchroninio kvietimo didžiąją dalį sudaro laikas, reikalingas pasiekti vaizdo plokštės tvarkyklę.

Tyrimuose, susisijusiame su OpenMP technologija [17][18] teigimu, įvairių OpenMP konstrukcijų panaudojimo kaštai priklauso nuo naudojamo kompiliatoriaus. Yra pastebima tendencija, kad naudojant GCC kompiliatorių yra sunaudojama daugiau procesoriaus ciklų nei naudojant Intel kompiliatorių. Taip pat nurodoma, kad didžiausią įtaką turi 4 faktoriai (žiūrėti 13 lentelę), kurie tyrime nėra išmatuoti, tik aprašomi. Tai pat nurodoma, kad įtakos turi ir neteisingai išlygiagretintas kodas, kaip kad labai mažos apimties ciklai, kurių išlygiagretinimas suteikia per mažai naudos, kad jie būtų vykdomi lygiagrečiai.

13 lentelė. OpenMP naudojimo kaštų faktoriai

Faktorius	Aprašymas
Gijų bibliotekos paleisties kaštai	Vienkartinis laiko tarpas, įskaičiuojamas kartu su programos paleisties laiku.
Pačių gijų paleidimo kaštai	Vienkartinis laiko tarpas, reikalingas sukurti gijoms.
Kiekvienos gijos kaštai	Laikas praleistas paskirstyti darbą kiekvienai gijai.
Gijų užrakavimo valdymo kaštai	Laikas praleistas valdant užraktus kritinėse sekcijose.

## 4.5. Klasikiniai nuoseklūs ir lygiagretūs skaičiavimo algoritmai

### 4.5.1. Matricų daugyba

Matricos [19] bei veiksmai su jomis yra labai dažnai naudojami įvairiuose skaičiavimo uždaviniuose. Tai viena iš sričių, kur ypač gali būti panaudojami lygiagretaus programavimo privalomai.

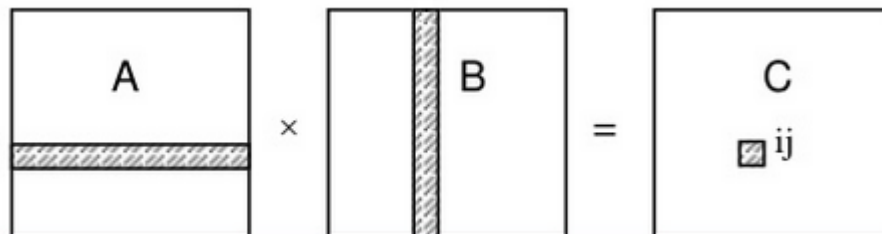
Matricą sudaro eilutės ir stulpeliai. Jeigu matricą sudaro  $m$  eilučių ir  $n$  stulpelių, ji vadinama  $[m \times n]$  dydžio matrica.  $i$  - osios eilutės ir  $j$  - otojo stulpelio sankirtoje esantis elementas paprastai žymimas  $a_{ij}$ . Sakoma, kad matrica  $A$  yra  $2 \times 4$  dydžio, jeigu ją sudaro dvi eilutės ( $m = 2$ ) ir keturi stulpeliai ( $n = 4$ ).

Matricas galima dauginti tarpusavyje, jeigu matricos yra suderintos. Tai reiškia, kad matricą  $A = (a_{ik})$ , kurios dydis –  $[m \times s]$ , galima dauginti iš tokios matricos  $B = (b_{kj})$ , jeigu eilučių skaičius sutampa su matricos  $A$  stulpelių skaičiumi – matricos  $B$  dydis turi būti  $[s \times n]$ . Sudauginus  $A$  ir  $B$  matricas, gaunama  $[m \times n]$  formato matrica  $C = (c_{ij})$ , t.y.  $A_{[m \times s]} \times B_{[s \times n]} = C_{[m \times n]}$ . Kiekvienas matricos  $C$  elementas  $c_{ij}$  yra apskaičiuojamas pagal formulę:

$$c_{ij} = \sum_{k=1}^s a_{ik} b_{kj} = a_{i1} b_{1j} + a_{i2} b_{2j} + \dots + a_{is} b_{sj}$$

čia  $1 \leq i \leq m$  ir  $1 \leq j \leq n$ .

Vykdamat matricų daugybą lygiagrečiai, kiekviena gija randa  $C_{ij}$  elementą daugindama matricos  $A_i$  eilutę su matricos  $B_j$  eilute, kaip parodyta 10 paveikslėlyje.



10 pav. Vienos gijos darbas matricų daugybos metu.

Nuoseklus ir lygiagretus matricų daugybos programų kodai pateikiami prieduose. Algoritmai parašyti remiantis literatūra [21][22][23].

### 4.5.2. $\pi$ apskaičiavimo algoritmas

Vienas iš dažnai sprendžiamų uždavinių matematikoje yra  $\pi$  apskaičiavimas su kuo daugiau skaitmenų po kablelio. Šiam uždaviniui spręsti matematikai yra išvedę daug įvairių formulių [20].

Dažnai  $\pi$  apskaičiavimui yra naudojama integralo  $\int_0^1 \frac{4}{1+x^2} dx$  skaičiavimas režiuose nuo 0 iki 1, kuo mažesniu žingsniu.

Skaičiuojant šiuo būdu, kiekviena gija suskaičiuoja tarpines integralo sumas bei perduoda jas pagrindinei (0 gijai), kuri sudeda visas tarpines sumas. Tokiu būdu yra gaunama apytikslė  $\pi$  reikšmė.

Nuoseklus ir lygiagretus šios sekos apskaičiavimo algoritmų programų kodai pateikiami prieduose. Algoritmai parašyti remiantis literatūra [24][25].

#### **4.5.3. Maksimumo radimas**

Kitas dažnai programavime sutinkamas uždavinys yra didžiausios reikšmės paieška masyve, vektoriuje ar sąrašė, kai pradiniai duomenys yra nerikiuota skaičių seka. Šis uždavinys gali būti išspręstas keliais būdais. Pavyzdžiui, visų reikšmių išrikiavimas mažėjimo tvarka ir pirmo elemento reikšmės paėmimas ar pereinant per visus masyvo elementus lyginant dabartinę reikšmę su išsaugota pradine maksimumo reikšme.

Dažniausiai šis uždavinys yra sprendžiamas nuosekliai – nėra panaudojama nei OpenMP nei CUDA technologija, nes dažnai yra siekiama kuo greičiau atlikti užduotį, tačiau nėra pasirūpinama greitaveika.

Ieškant didžiausios reikšmės lygiagrečiai, kiekviena gija randa savo didžiausią reikšmę tam tikruose masyvo režiuose ( 1-gija režiuose [0..10], 2-gija – [11, 20] ir t.t.) bei perduoda gautą reikšmę pagrindinei 0 gijai, kuri palygina visas gautas reikšmes su didžiausia rasta bei atnaujina didžiausią rastą reikmę.

Nuoseklus ir lygiagretus maksimumo radimo algoritmų programų kodai, kai pereinama per visus elementus ieškant didžiausios masyvo reikšmės, pateikiami prieduose. Algoritmai parašyti remiantis literatūra [26][27].

#### **4.5.4. Rikiavimas**

Būna atvejų, kai programuojant reikia surikiuoti turimus duomenis didėjimo ar mažėjimo tvarka. Nors šiuolaikinės programavimo kalbos, tokios kaip Java 8 ar C++ 11 jau turi integruotas bibliotekas su aprašytais bei optimizuotais rikiavimo algoritmais, tačiau kartais gali reikėti naudoti savaip modifikuotą algoritmą, pavyzdžiui rikiuojant reikšmes disko atmintyje.

Kita rikiavimo algoritmų problema – jų įvairovė. Renkantis rikiavimo algoritmą svarbu atsižvelgti į keletą faktorių, tokių kaip:

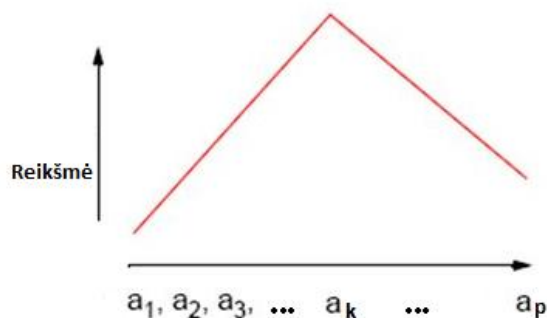
- skaičių tipas – sveikieji, realieji, simboliniai;
- duomenų imties dydis;
- turimų duomenų tvarka – atsitiktinai išsidėstę ar beveik išrikiuoti;
- ar visi norimi išrikiuoti duomenys telpa kompiuterio atmintyje;
- ar turimas kompiuteris turi „Nvidia“ vaizdo plokštę ar ne.

Tai pat svarbu paminėti, kad rikiavimo algoritmai gali būti paremti reikšmių palyginimu, kaip kad „Bubble Sort“, „Selection Sort“ bei paremti parametrais (vienodi raktai) – „Bucket Sort“, „Count Sort“.

Apžvelgus šiuos faktorius galima numanyti, kad turint mažai sveikų skaičių galime naudoti – „Bubble Sort“ rikiavimo algoritmą, turint daug – „Quick Sort“, „Merge Sort. Turint labai daug duomenų galbūt geriau yra naudoti lygiagretų rikiavimo algoritmą. Įvertinus šiuos faktorius galima lengviau pasirinkti rikiavimo algoritmą, bei atsižvelgus į turimų duomenų imties dydį galima nuspėti ar pasirinksime lygiagretų ar nuoseklų rikiavimo algoritmą.

Šiame tyrime bus bandomas „Bitonic Sort“ algoritmas, kuris priklauso rikiavimo tinklų grupei (angl. sorting networks). Duomenų sekos ir krypties palyginimai yra numatomi iš anksto ir nėra priklausomi nuo pačios sekos. Šis algoritmas remiasi bitonine seka  $a = (a_1, a_2, \dots, a_p)$ , susidedančia iš  $p$  skaičių. Ši seka yra vadinama bitonine seka tada ir tik tada, jeigu:

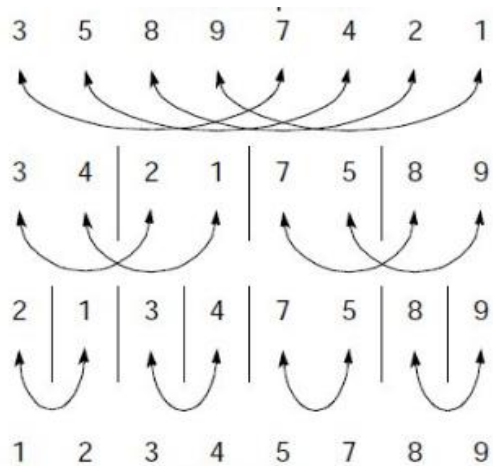
1.  $a_1 \leq a_2 \leq \dots \leq a_k \geq \dots \geq a_p$ , kur  $k$  yra  $1 < k < p$ ;
2.  $a_1 \geq a_2 \geq \dots \geq a_k \leq \dots \leq a_p$ , kur  $k$  yra  $1 < k < p$  ;
3. a seka gali būti padalinta į dvi dalis taip, kad būtų galima sudaryti 1 arba 2 atvejus.



**11 pav.** Bitoninė seka

Algoritmo veikimo principas (žiūrėti 12 paveikslėlį):

1. Rikiuoti galime tik tokią seką, kurios ilgis  $n = 2^k$  ( $k$  yra teigiamas sveikas skaičius). Tokiu būdu, galime seką padalinti į daugiau nei vieną poaibį po 2 elementus.
2. Rūšiuojam kairę (mažesnę) pusę didėjimo tvarka ir kitą dešinę (didesnę) pusę mažėjančia tvarka.
3. Bitoninei sekai atliekame suliejimą taip, kad kairėje pusėje būtų mažesni elementai, o dešinėje didesni elementai. Atliekame palyginimo ir sukeitimo veiksmus.
4. Rekursyviai vykdomė bitoninį suliejimą (angl. Bitonic merge) kiekvienai pusei, kol visi elementai yra išrikiuojami.



**12 pav.** „Bitonic sort“ algoritmo iliustracija.

Rikiavimo metu, kiekviena gija atlieka palyginimo ir sukeitimo vietomis veiksmus, kuriuos iliustruoja juodos rodyklės 12 paveikslėlyje. Nuoseklaus ir lygiagretaus „Bitonic Sort“ rikiavimo algoritmų programų kodai pateikiami prieduose. Algoritmai parašyti remiantis literatūra [28][29][30][31].

## 4.6. Eksperimentų rezultatai

Atliekant eksperimentus visuose algoritmuose buvo generuojami atsitiktiniai skaičių rinkiniai. Kiekvieną kartą vykdant programas, gijos turėjo vienodą duomenų rinkinį (skaičių padėtis sekoje buvo vienoda) bei keičiant gijų skaičių buvo naudojami tie patys duomenų rinkiniai.

### 4.6.1. Programos konvertavimo eksperimentas

Siekiant įvertinti praeitame pusmetyje sukurtą sistemą „OpenMP ir CUDA lygiagrečių programų tarpusio konvertavimo sistema“, buvo atliktas eksperimentas, kuriame buvo bandoma konvertuoti sukurtas didžiausios reikšmės radimo ir matricių daugybos programas, pritaikytas OpenMP technologijai, konvertuoti CUDA technologijai.

Bandant pakeisti didžiausios reikšmės radimo programą CUDA technologijai, susidurta su problema, kad pakeistas programos kodas neatlieka pageidautinos funkcijos. Konvertuotos CUDA programos atveju, kiekviena gija eita per masyvą, tačiau nepasidalinta darbo tarpusavyje, kaip kad yra OpenMP atveju.

14 lentelė. Maksimumo paieškos konvertavimo rezultatai

OpenMP programos fragmentas	Konvertuota CUDA programa
<pre>#pragma omp parallel {     int my_value = 0;     #pragma omp for     for (int f = 0; f &lt; N; f++) {         if (v[f] &gt; my_value)             my_value = v[f];     }     #pragma omp critical     {         if (my_value &gt; maxa)             maxa = my_value;     } }</pre>	<pre>__global__ void doKernel(int *v, int N) {     int my_value = 0;     for (int f = 0; f &lt; N; f++) {         if (v[f] &gt; my_value)             my_value = v[f];     }     {         if (my_value &gt; maxa)             maxa = my_value;     } }</pre>

Keičiant matricių daugybos programą buvo nesklandumų – buvo netinkami masyvo indeksai. Juos pakeitus konvertuota programa veikė tinkamai.

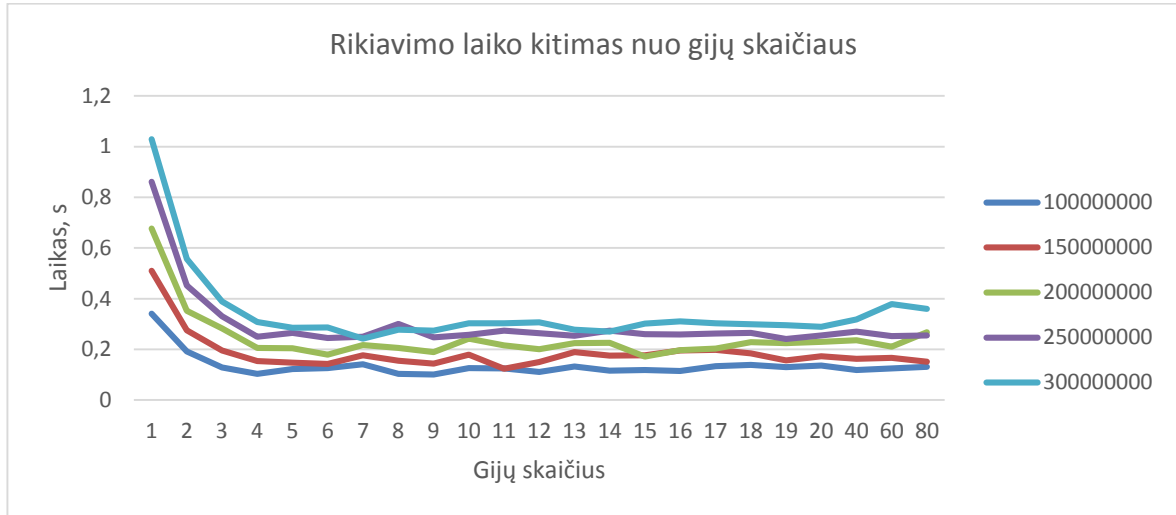
15 lentelė. Matricių daugybos konvertavimo rezultatai

OpenMP programos fragmentas	Konvertuota CUDA programa
<pre>#pragma omp parallel shared(a,b,c) private(i,j,k) {     for (i = 0; i &lt; size; i++){         #pragma omp for         for (j = 0; j &lt; size; j++) {             for (k = 0; k &lt; size; k++)                 c[i][j] += a[i][k] * b[k][j];         }     } }</pre>	<pre>__global__ void doKernel ( double *a , double *b , double *c , int N) {     int row = blockIdx.y * blockDim.y + threadIdx.y;     int col = blockIdx.x * blockDim.x + threadIdx.x;     for (int k = 0 ; k&lt;N ; k++)         c[row * N+ col] += a[row * N+ k] * b[k * N + col]; }</pre>

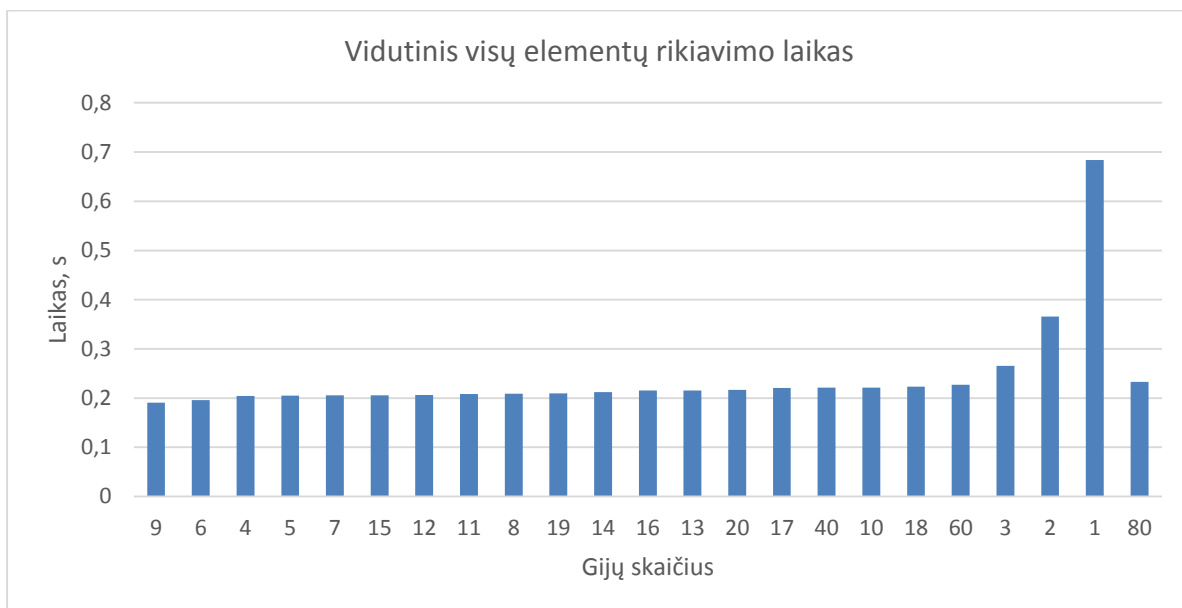
## 4.6.2. Nuoseklių ir lygiagrečių algoritmų tyrimas OpenMP technologijoje

### 4.6.2.1. Maksimumo radimas

Maksimumo paieškoje buvo naudojami sveikų skaičių duomenų rinkiniai. Algoritmo efektyvumas išbandytas naudojant masyvą bei vektorių.

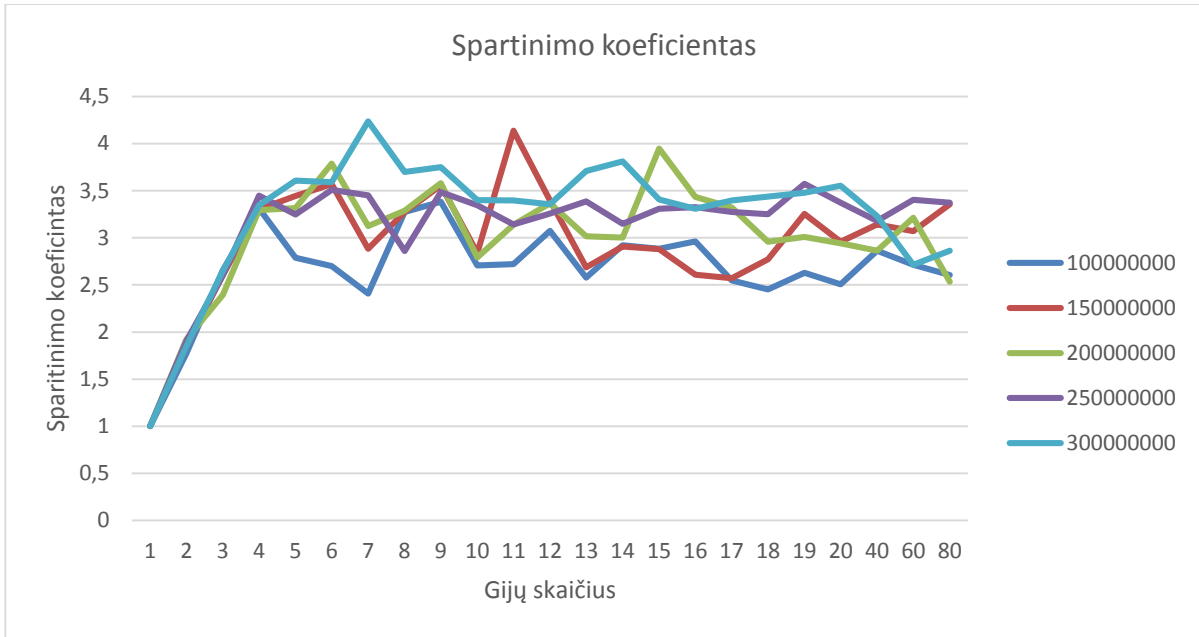


13 pav. Maksimumo paieškos masyve laiko kitimas nuo gijų skaičiaus

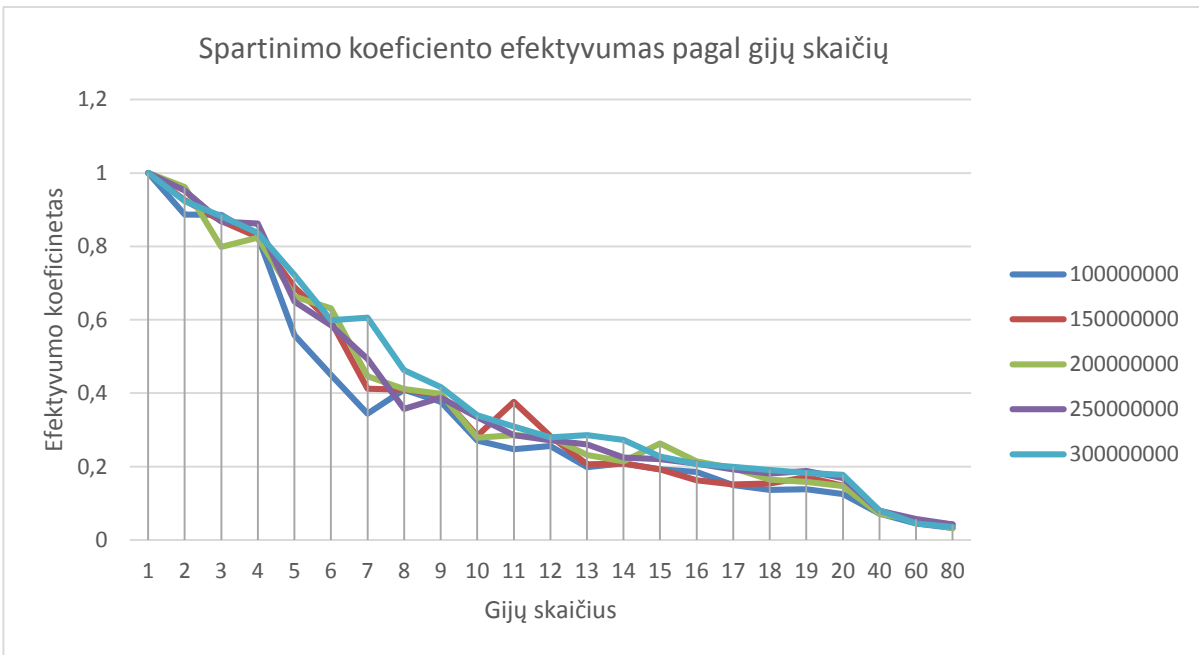


14 pav. Vidutinis maksimumo paieškos masyve laikas

Kaip matome 13 ir 14 paveikslėliuose, ilgiausias paieškos laikas buvo pasiektas ieškant per 300 mln. elementų dydžio masyvą, vykdant programą nuosekliai t.y. naudojant 1 giją. Greičiausiai paieška įvykdyta naudojant 9 gijas.

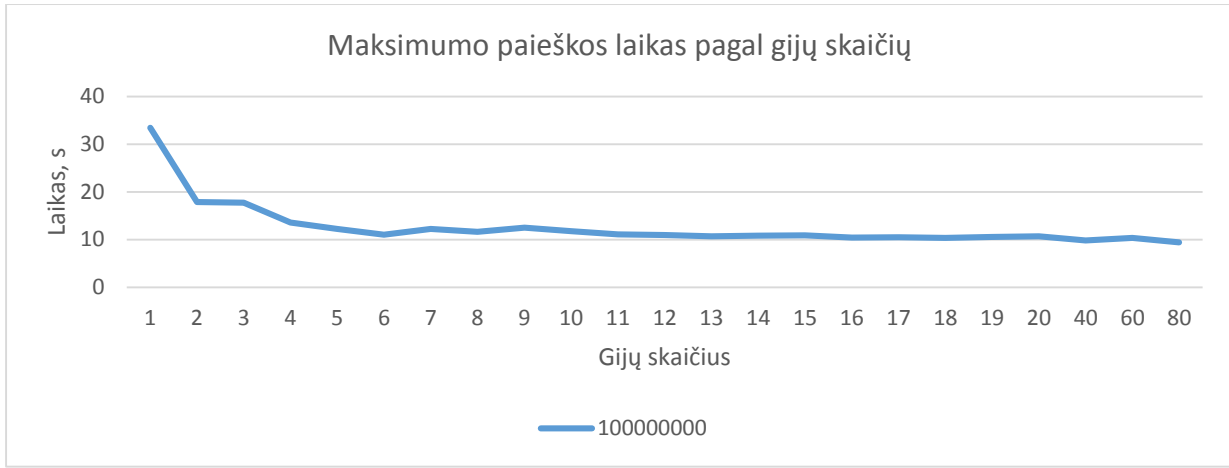


15 pav. Maksimumo paieškos masyve spartinimo koeficientas

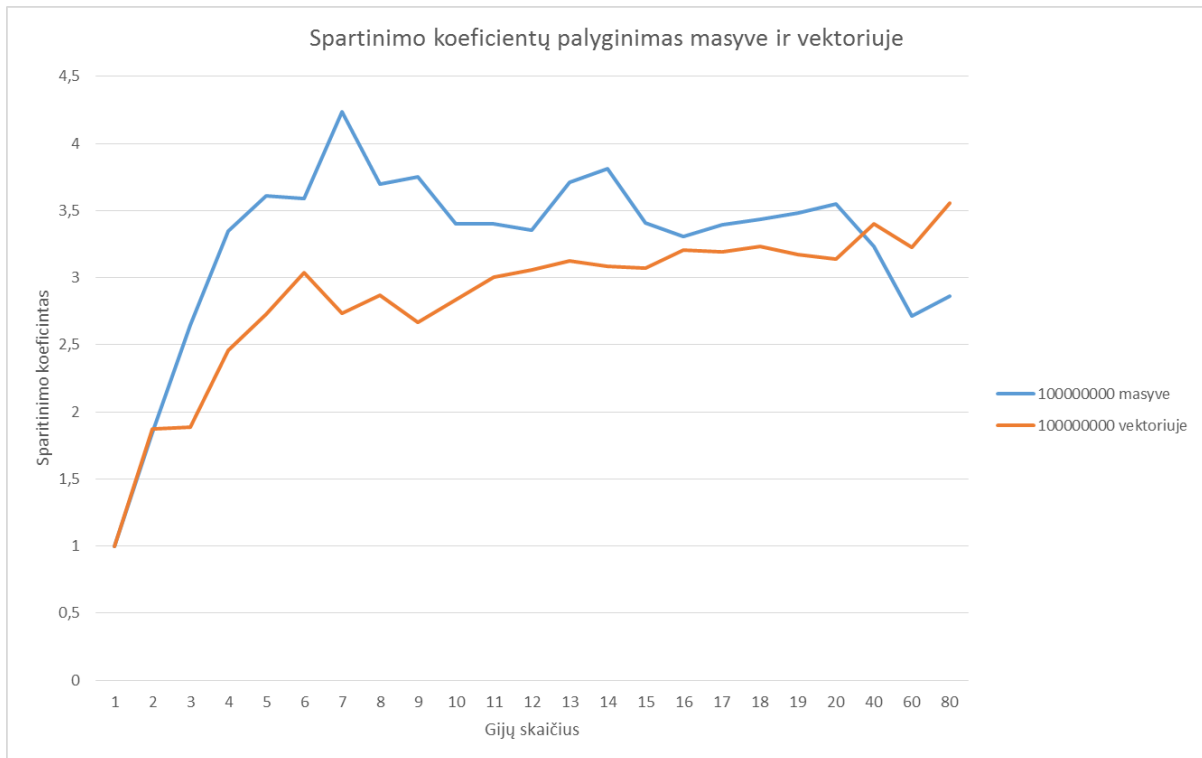


16 pav. Maksimumo paieškos masyve spartinimo koeficiento efektyvumas pagal gijų skaičių

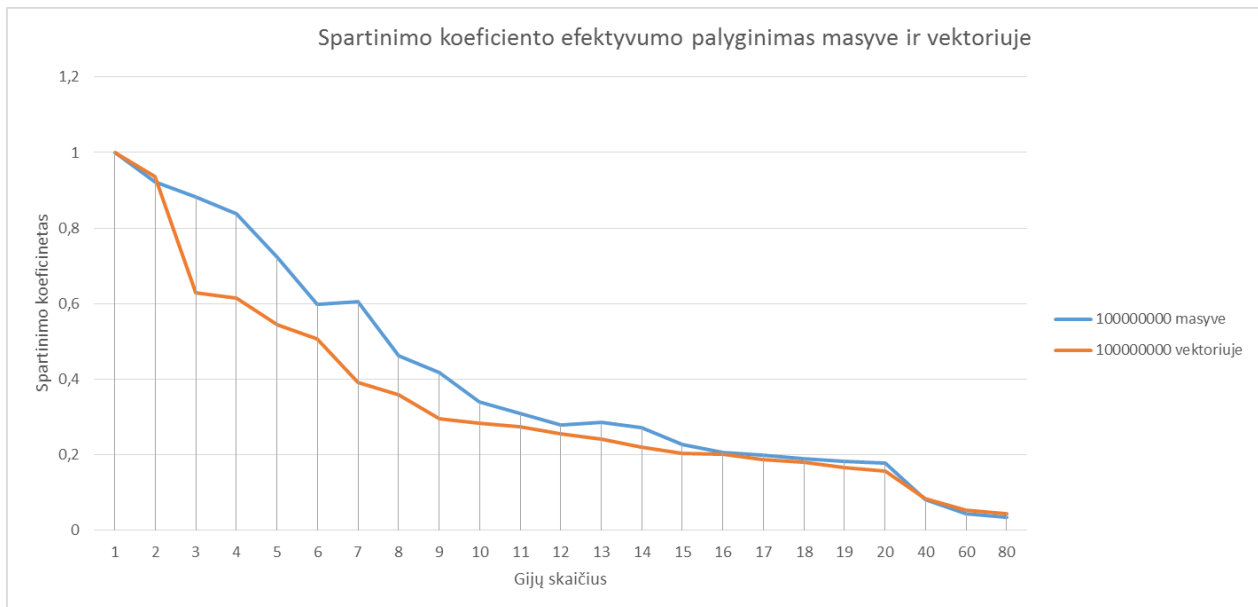
Atsižvelgus į spartinimo koeficiento grafikus, pavaizduotus 15 ir 16 paveikslėliuose, matome, kad paieška vykdoma lygiagrečiai (kai gijų skaičius >1) buvo pagreitėjus daugiau nei 4 kartus. Tai pat pastebimas dėsningumas, kad kuo daugiau naudojame gijų, tuo mažesnis pasiekiamas naudojamų gijų efektyvumas.



**17 pav.** Maksimumo paieškos vektoriuje paieškos laikas pagal gijų skaičių



**18 pav.** Spartinimo koeficientų palyginimas masyve ir vektoriuje



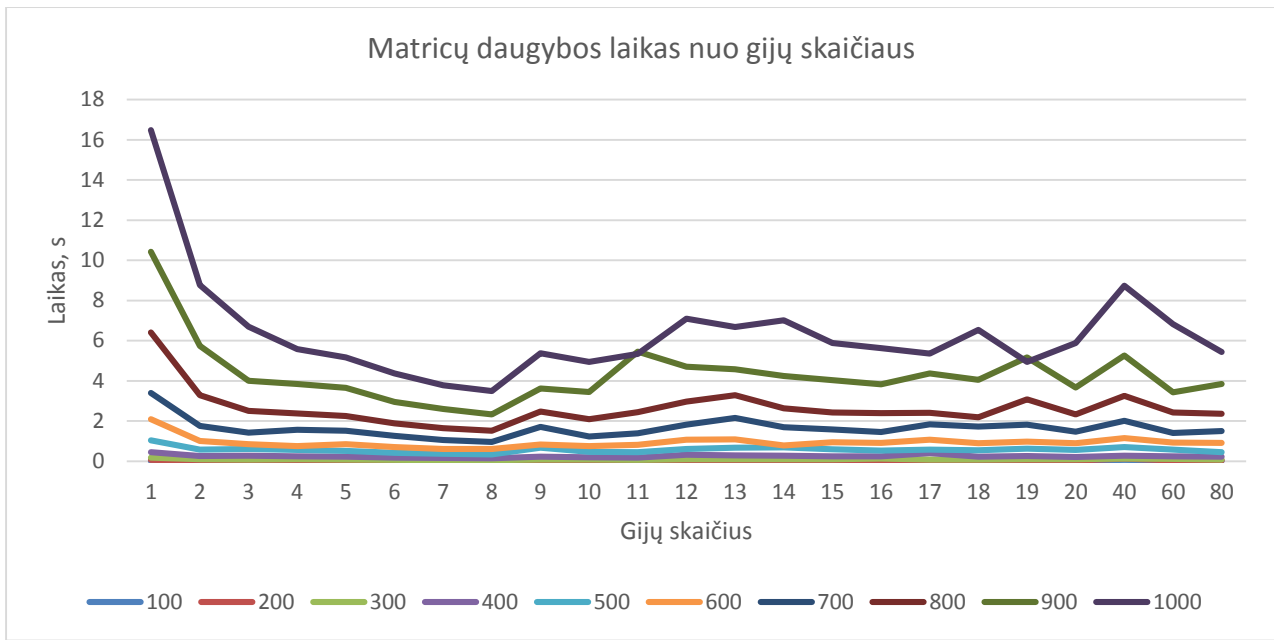
**19 pav.** Spartinimo koeficiento palyginimas masyve ir vektoriuje

Tai pat buvo atliktas tyrimas, kai vietoj sveikų skaičių masyvo duomenų struktūros buvo naudojamas sveikų skaičių vektorius. Kaip matome iš 17 paveikslėlio, maksimali reikšmė 100 mln. skaičių vektoriuje buvo rasta tik per daugiau nei 33s, kai tuo tarpu masyve 100mln. skaičių – 0,56 s. Dėl to, kad didžiausios reikšmės vektoriuje paieškos laikas su 100 mln. įrašų buvo labai ilgas, didesnės duomenų imtys nebuvo bandomos.

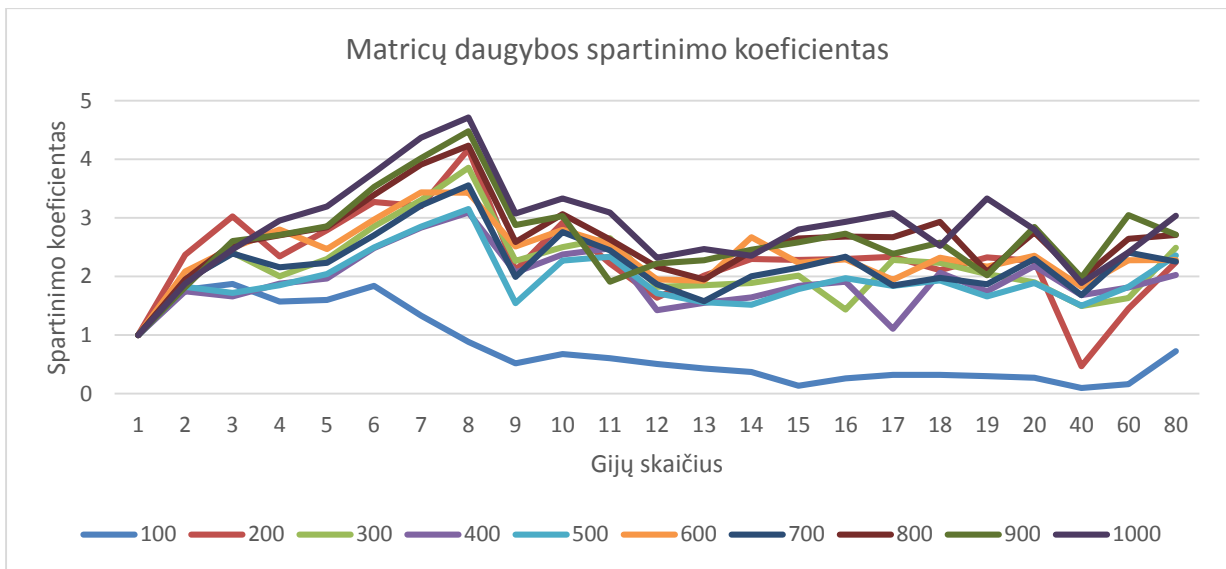
Palyginus masyvo ir vektoriaus spartinimo koeficientus (žiūrėti 18 ir 19 pav.) matome, kad masyvas efektyviau naudoja gijų resursus. Dėl šios priežasties, tolesniuose tyrimuose bus naudojamas tik paprastas dinaminis masyvas.

#### 4.6.2.2. Matricų daugyba

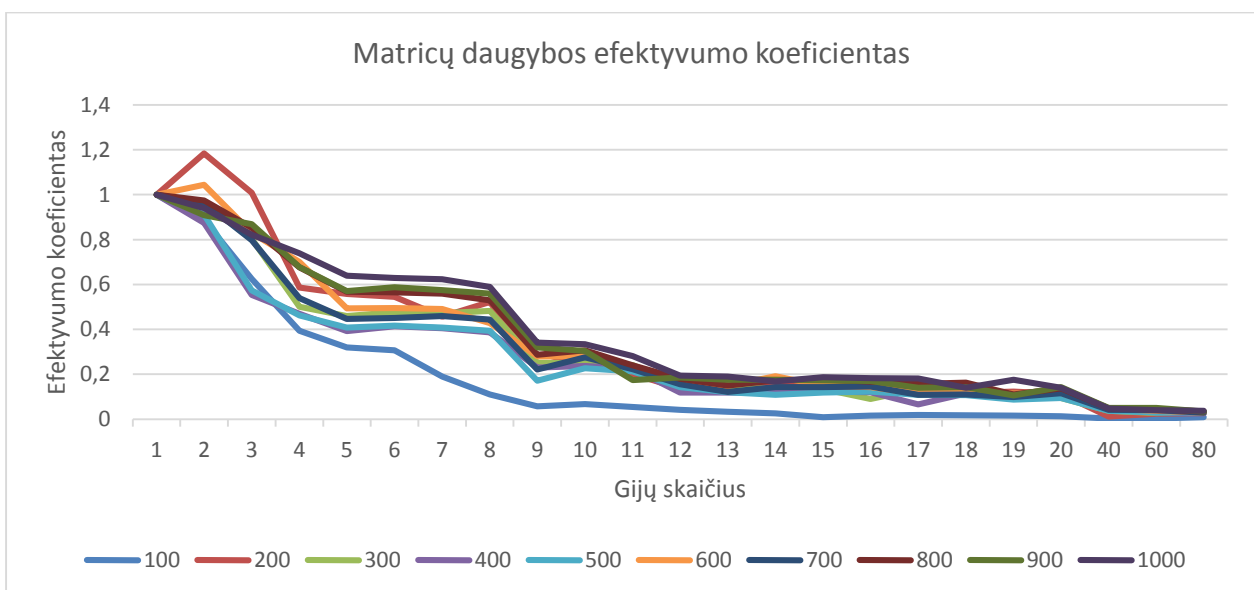
Matricų daugyboje buvo naudojamos kvadratinės matricos, sudarytos iš slankaus kablelio skaičių masyvų.



**20 pav.** Matricų daugybos laiko kitimas pagal naudojamų gijų skaičių



**21 pav.** Matricų daugybos spartinimo koeficientas pagal gijų skaičių.



**22 pav.** Matricų daugybos masyve efektyvumo koeficientas

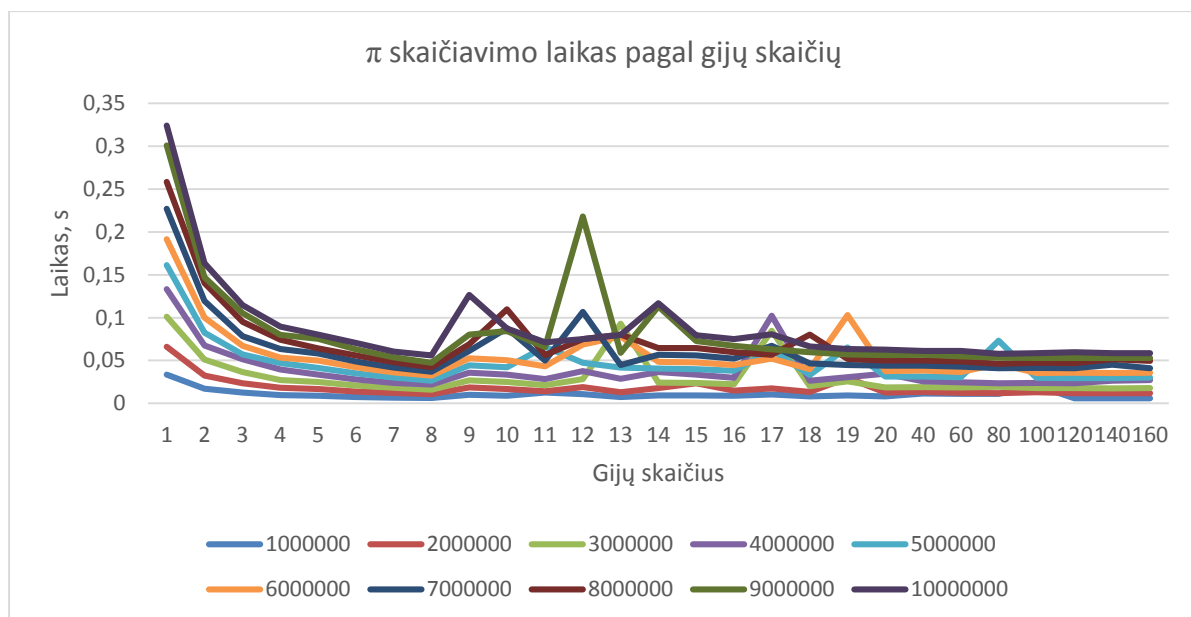
Kaip matome iš 20 paveikslėlio, matricų daugyba ilgiausiai truko beveik 16,48s. Tai naudojant nuo 2 iki 8 gijų, pastebimas ryškus pagreitinėjimas. Tačiau nuo 9 iki 80 gijų naudojime, matomas daugybės laiko šuoliai. Šis kitimas yra susėjęs su gijų darbo pasidalinimu tarpusavyje – ne vienodai yra padalinamas darbas. Pavyzdžiui, kaip matome iš laiko skirtumų 8 ir 19 gijų kitime, imtis yra padalinama netolygiai, be to matomas pagreitinėjimas nuo 19 iki 20 gijų.

**16 lentelė.** Gijų darbo pasidalinimas

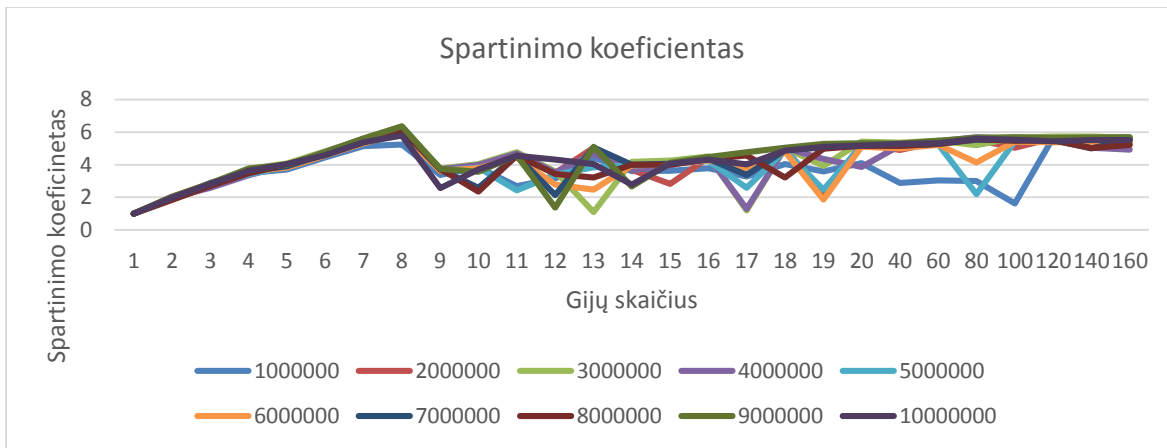
Gijų skaičius	Imties dydis	Vienos gijos elementų darbo imtis
8	1000	125
	400	50
19	400	21,05
	1000	52,63
20	400	20
	1000	50

#### 4.6.2.3. $\pi$ apskaičiavimas

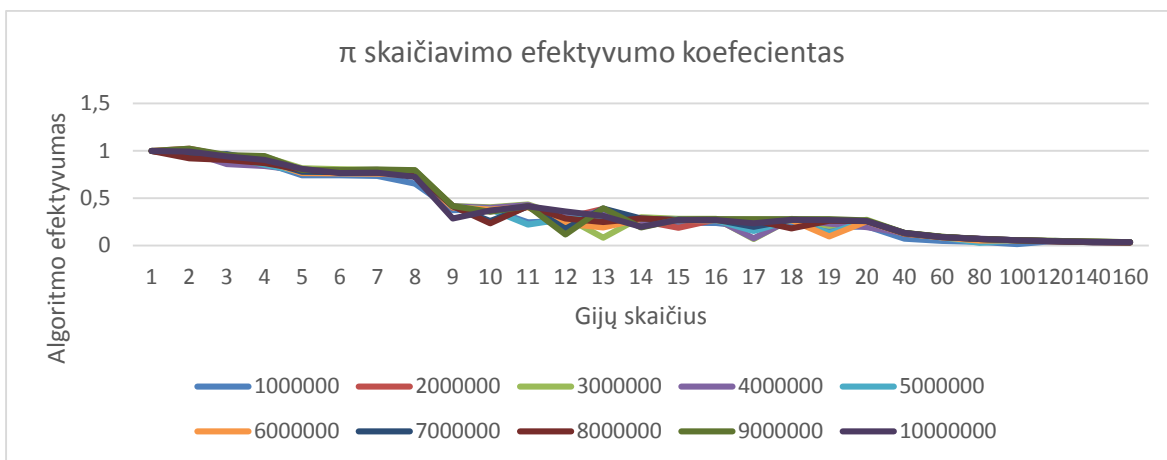
$\pi$  skaičiavime buvo naudojamas skirtingas iteracijų bei gijų skaičius nuo 1 iki 160.



**23 pav.**  $\pi$  skaičiavimo laikas pagal gijų skaičių



24 pav.  $\pi$  skaičiavimo spartinimo koeficientas pagal gijų skaičių

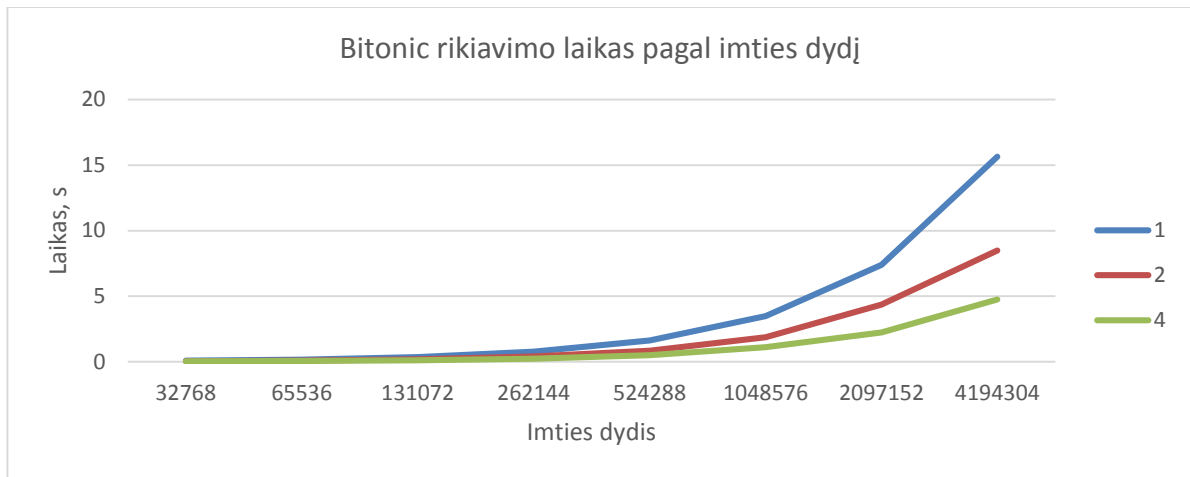


25 pav.  $\pi$  skaičiavimo spartinimo koeficientas pagal gijų skaičių

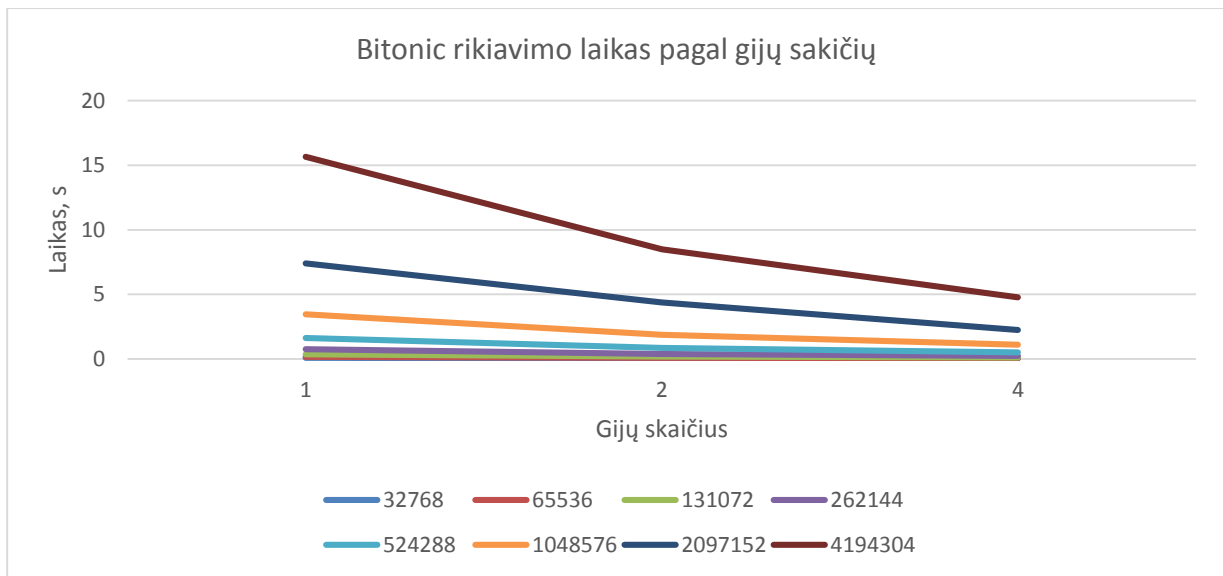
Atliekant  $\pi$  skaičiavimo algoritmo vykdymo tyrimą nustatyta, kad atliekant programos veiksmus lygiagrečiai, kurie yra nesusiję vienas su kitu. Šiuo atveju – formulės skaičiavimas. Paveikslėliuose 24, 25 matomas spartos kitimas, naudojant nuo 1 iki 8 gijų. Tačiau nuo 9 gijų efektyvumas pradeda staigiai mažėti bei naudojant nuo 9 iki 100 gijų – kisti. Tai galima paaiškinti OpenMP vykdoma kritine sekcija „#pragma omp critical“, kuri yra naudojama sudedant visų gijų apskaičiuotas tarpines sumas. Tai pat įtakos turi imties dydžio kitimas, kaip kad buvo matricų daugyboje (žiūrėti 14 lentelę).

#### 4.6.2.4. Rikiavimas

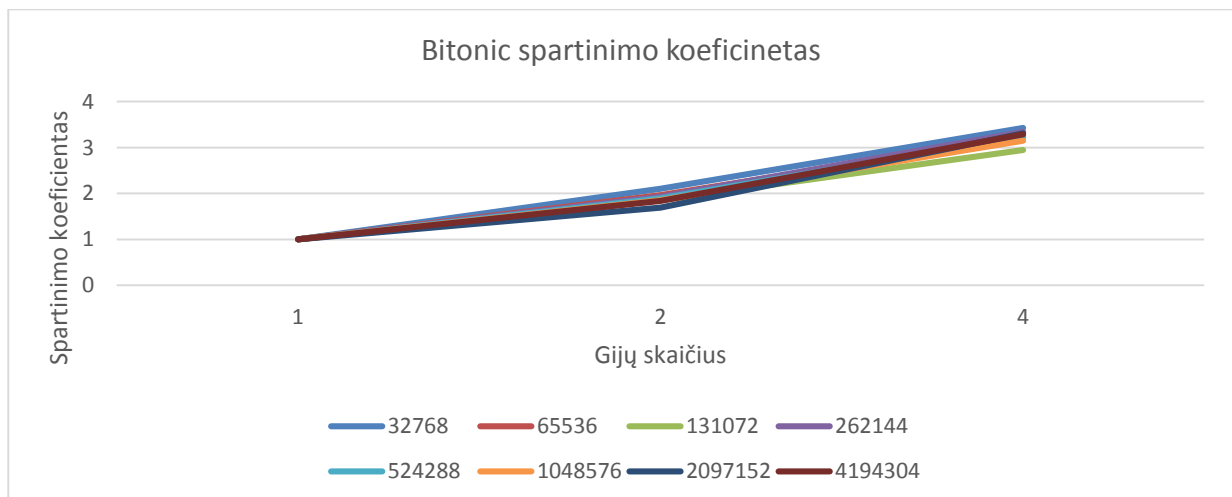
Rikiavimo tyrimui atlikti buvo panaudotas „Bitonic Sort“ algoritmas su duomenų imties dydžiais  $2^n$ , kai  $n$  yra intervale [15; 22].



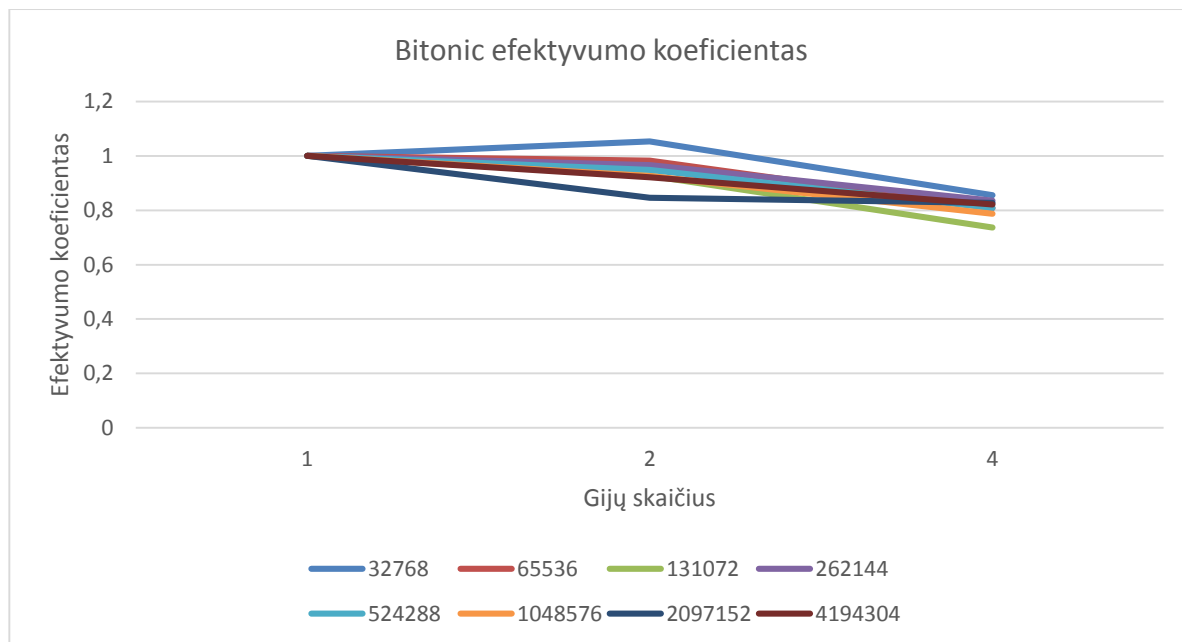
26 pav. Bitonic algoritmo rikiavimo laiko kitimas pagal imties dydį



27 pav. Bitonic algoritmo rikiavimo laiko kitimas pagal gijų skaičių



28 pav. Bitonic algoritmo spartinimo koeficientas pagal gijų skaičių



**29 pav.** Bitonic algoritmo efektyvumo koeficientas pagal gijų skaičių

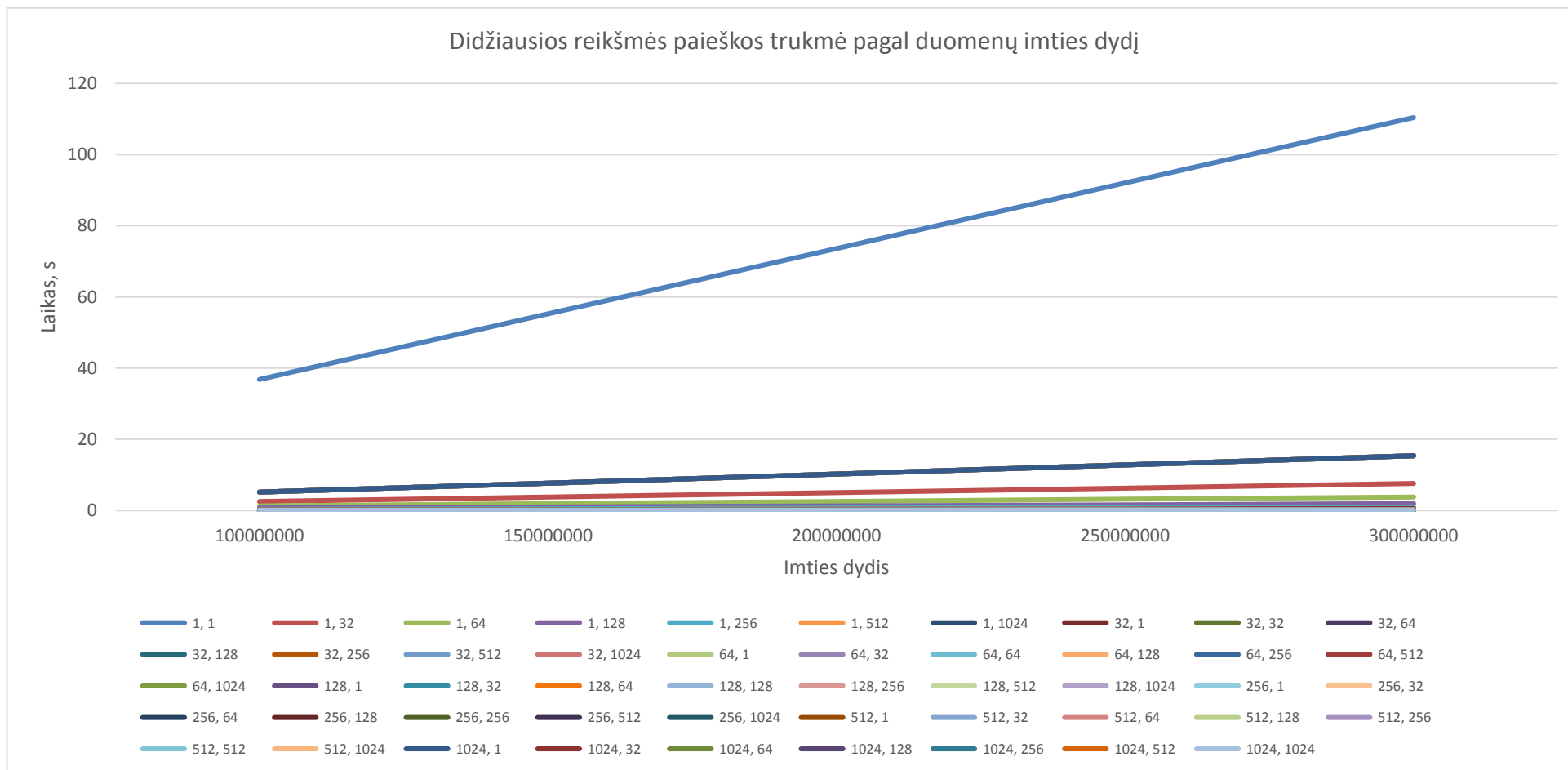
Atliekant rikiavimo algoritmo tyrimą susidurta su problema, kad ne su visom gijų ir skaičių imtimis jis tinkamai veikia. Atlikus išrikiuotų skaičių rinkinių patikrinimą ar visi skaičiai yra išrikiuoti didėjimo tvarka, rasta išsimėčiusių skaičių. Todėl diagramose yra rodomos tik tos gijos ir imtys, kuriose nebuvo rasta netikslumų. Taip yra todėl, nes šis algoritmas labai priklauso nuo naudojamų gijų skaičiaus bei duomenų imties dydžio.

Kaip matome iš 26, 27, 28 paveikslėlių, šis rikiavimo algoritmas vykdomas lygiagrečiai pagreitinėja iki 3,5 karto. Jis yra labai efektyvus, kai rikiuojami maži duomenų kiekiai, bet tampa lėtesnis, kai rikiuojamos ilgos sekos.

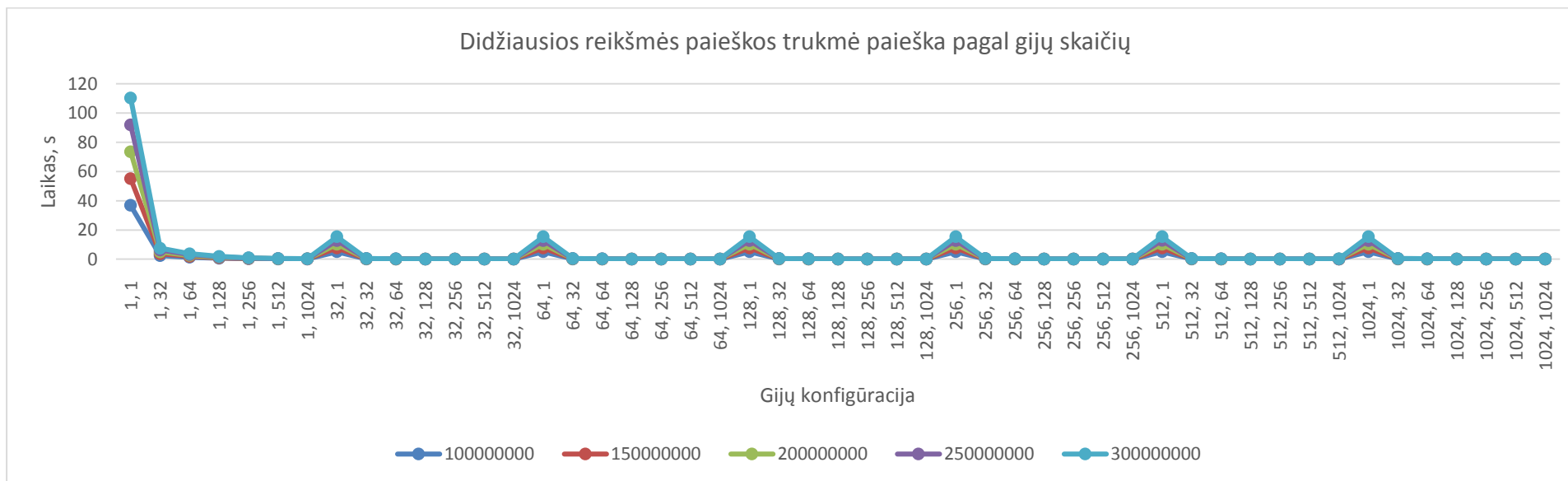
#### 4.6.3. Nuoseklių ir lygiagrečių algoritmų tyrimas CUDA technologijoje

Atliekant CUDA tyrimą buvo naudojamos įvairios gijų konfigūracijos bei skaičių sekų dydžiai. Kaip ir ankstesniuose tyrimuose – skaičių sekos buvo vienodos. Gijų konfigūracija – tai 2 skaičiai, kurie aprašo kiek blokų ir kiek gijų bloke gali būti vykdoma. Kiekvieną šių skaičių galima sudaryti iš 1D, 2D ar 3D skaičių (tam aprašyti kode naudojama struktūra dim3). Kokią gijų konfigūraciją (1D, 2D ar 3D) naudoti, priklauso nuo algoritmo. Pavyzdžiui matricų skaičiavime buvo naudojama 2D konfigūracija, o kituose – 1D. Aprašant tyrimo duomenis blokų ir gijų per bloką skaičiai yra atskiriami kableliu, o 2D žymima skliausteliuose. Pavyzdžiui <128, 512> – blokų (128) ir gijų skaičius (512) 1D struktūroje. 2D struktūroje – <(100, 2), (1, 64)> t.y. 100\*2 blokų ir 64\*1 gijų. Tai pat svarbu paminėti, kad gijų skaičius negali viršyti 1024, nes priešingu atveju gaunama klaida.

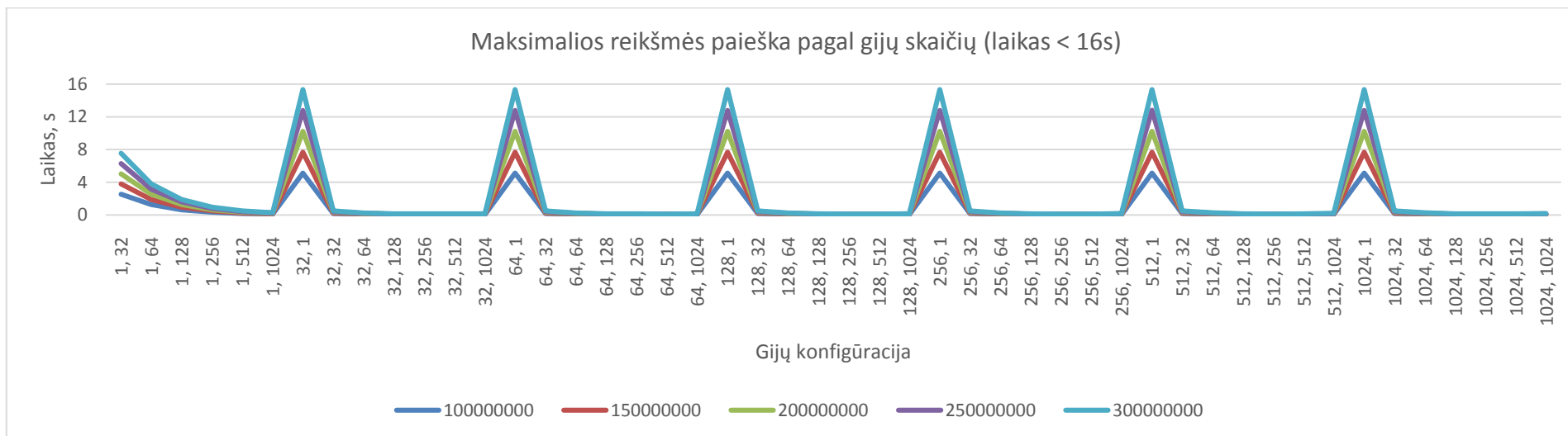
### 4.6.3.1. Maksimumo radimas



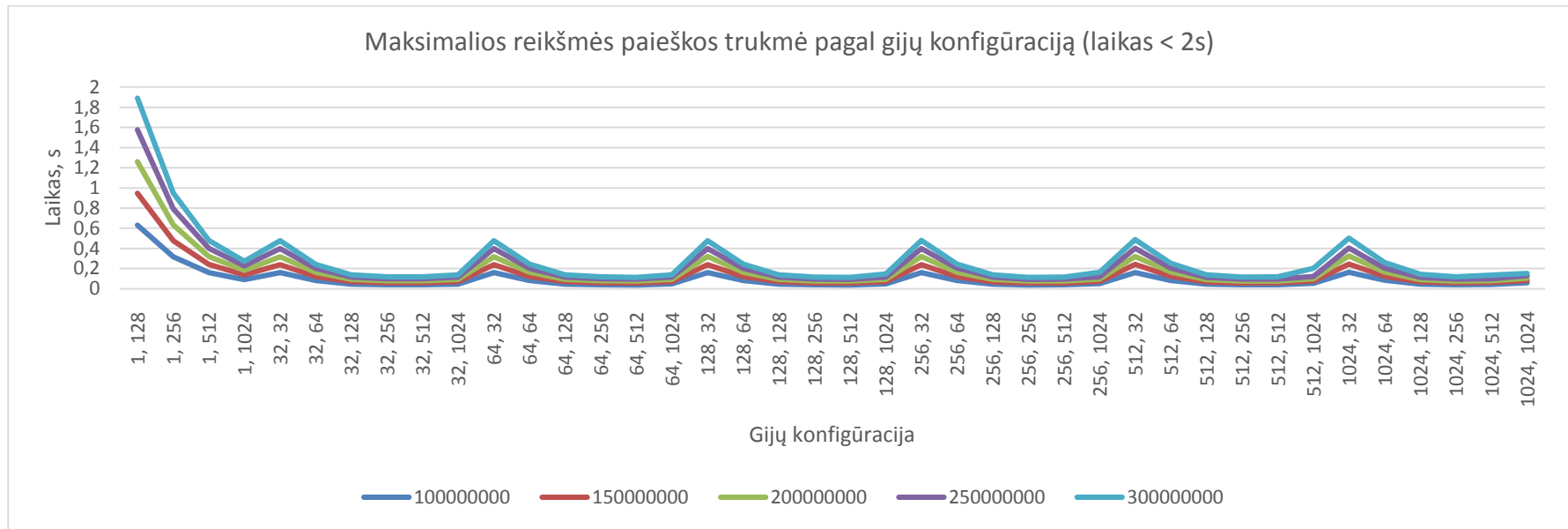
30 pav. Didžiausios reikšmės paieškos trukmė pagal imties dydį



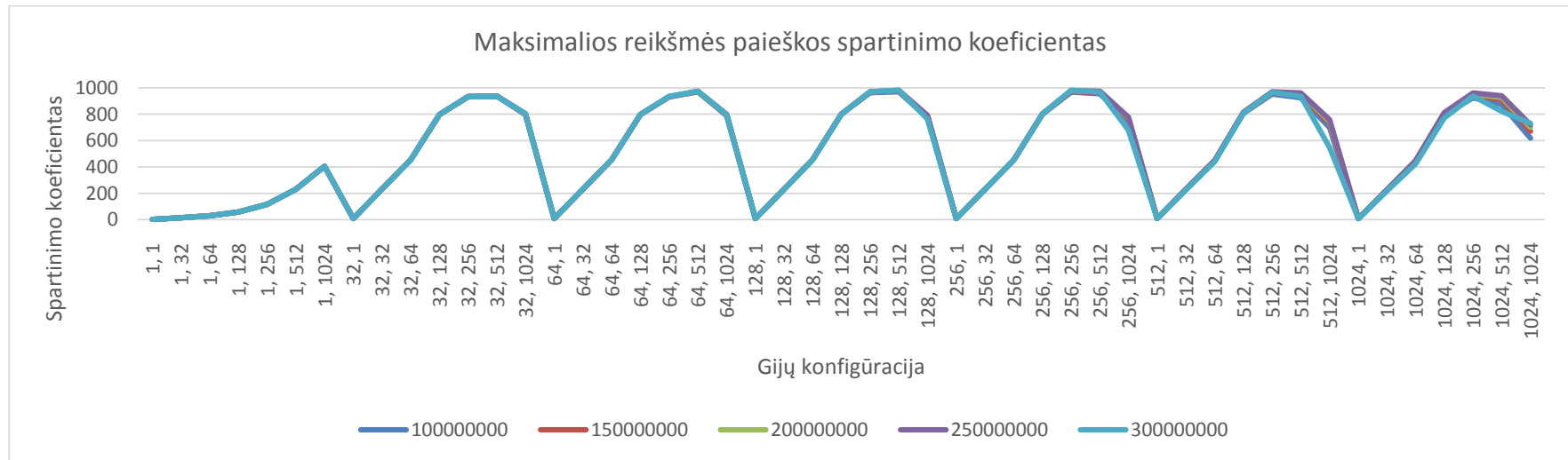
**31 pav.** Didžiausios reikšmės paieškos trukmė pagal gijų konfigūraciją



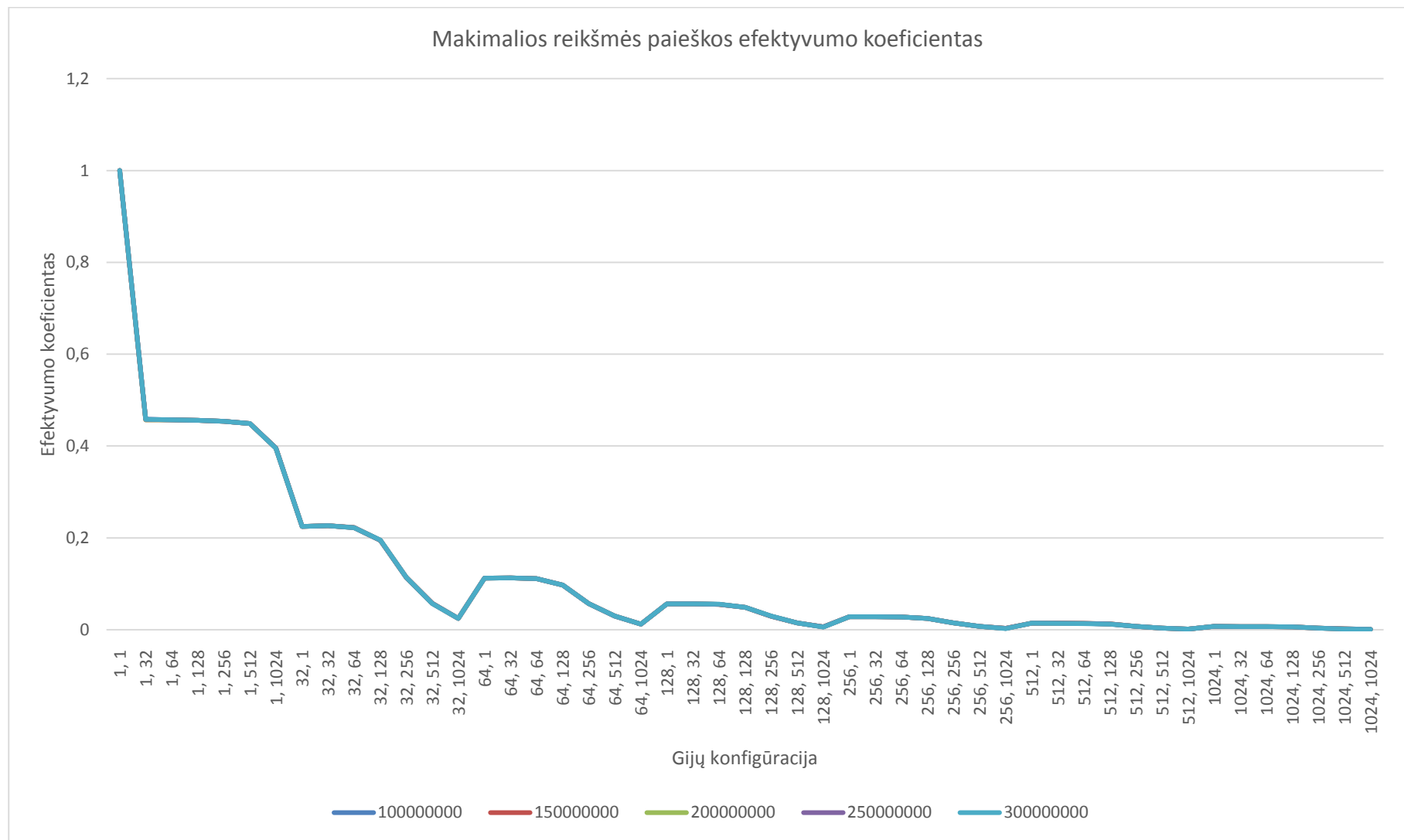
**32 pav.** Didžiausio reikšmės paieška pagal gijų konfigūraciją, kai laikas < 16s



33 pav. Maksimalios reikšmės paieškos trukmė pagal gijų konfigūraciją, kai laikas < 2s



34 pav. Maksimalios reikšmės paieškos spartinimo koeficientas



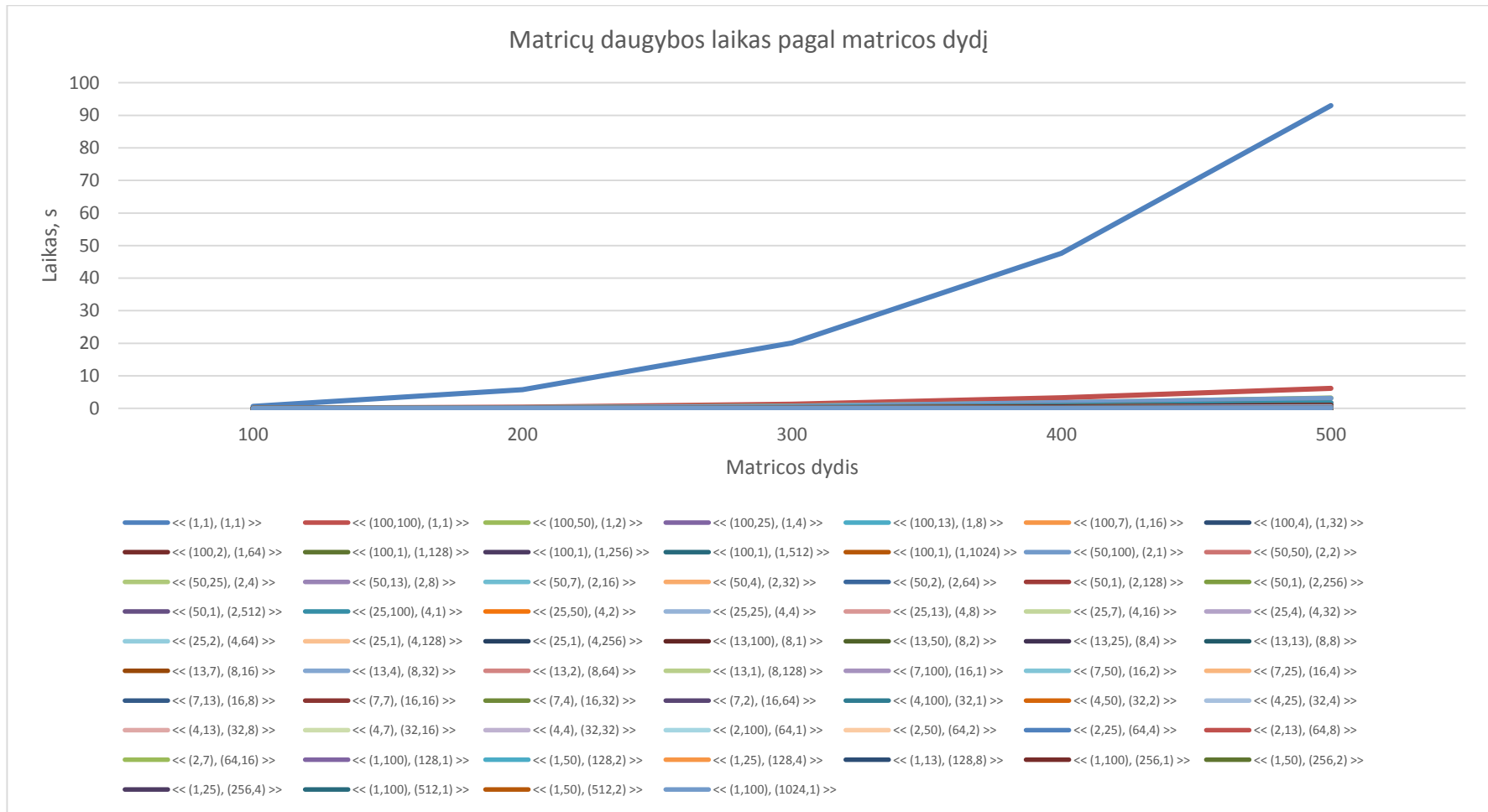
**35 pav.** Maksimalios reikšmės paieškos efektyvumo koeficientas

Atliekant maksimalios reikšmės paiešką naudojant CUDA technologiją, matomas didelis pagreitėjimas naudojant daugiau kaip 1 giją. Kaip matome iš 30 paveikslėlio – surikiuoti 300 mln. skaičių užtruko tik 0,112 sekundės, naudojant konfigūraciją <128, 512>, o naudojant konfigūraciją <1, 1> užtruko net 110,4 sekundės. Remiantis 33 paveikslėlio duomenimis, gautas didesnis nei 988 kartų pagreitėjimas. Tačiau atsižvelgus į efektyvumo koeficiento duomenis, matomus 35 paveikslėlyje, gijų resursai nėra pilnai išnaudojami.

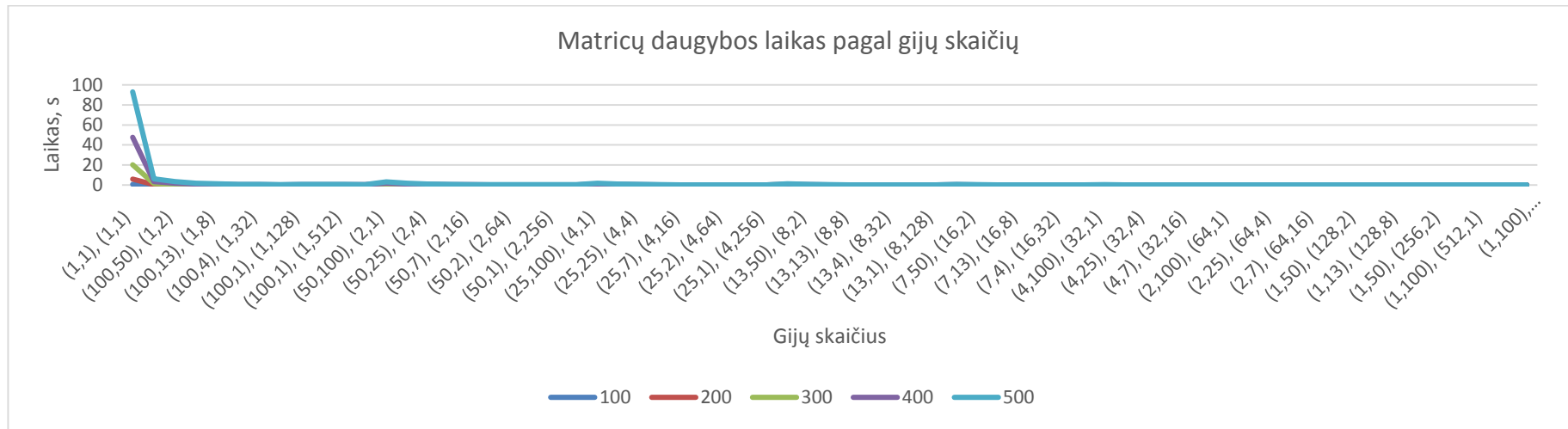
#### **4.6.3.2. Matricų daugyba**

Atliekant kvadratinų matricų daugybos tyrimą, susidurta su problema, kad vaizdo plokštės atmintyje netelpa duomenų matricos – A, B ir rezultatų matrica C – visos 500 x 500 dydžio. Todėl nebuvo atliekamas tyrimas su didesnėmis nei 500 x 500 kvadratinėmis matricomis.

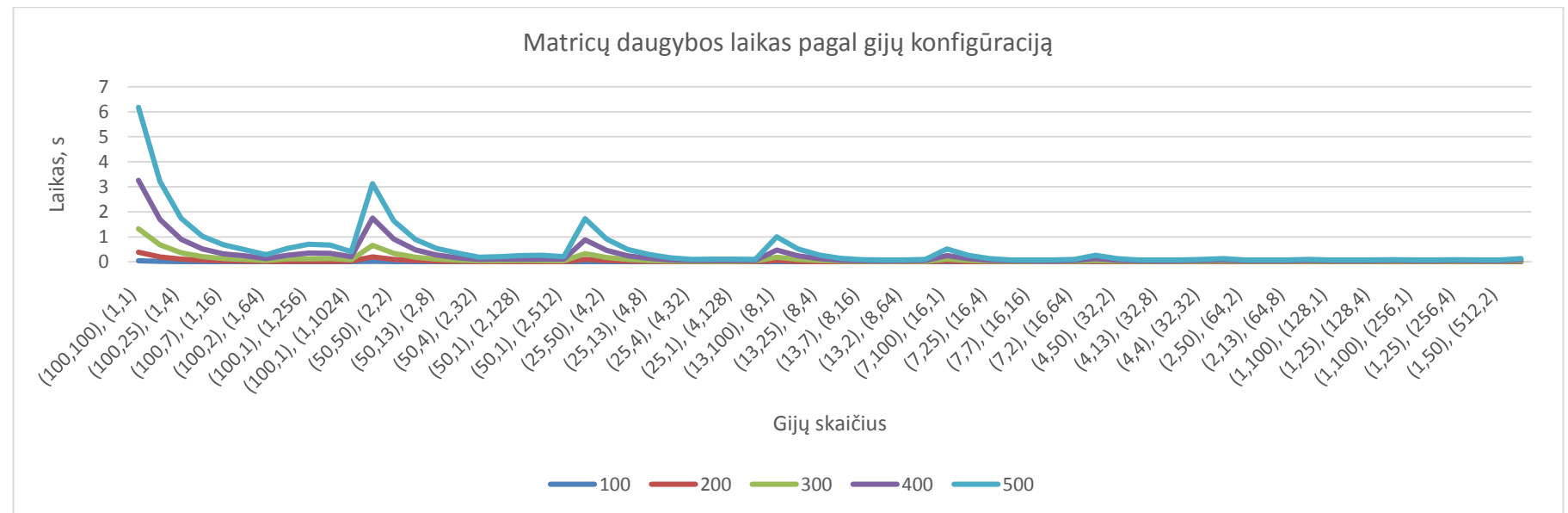
Matricų daugyboje yra pastebimas ypač didelis pagreitėjimas, naudojant daugiau kaip 1 giją. Kaip matome iš 36 - 38 paveikslėlių – sudauginti 500 x 500 dydžio matricas užtruko tik 0,071127 sekundės, naudojant konfigūraciją <(1,100), (256,1)>. Naudojant konfigūraciją <1, 1> užtruko net 93,018 sekundės. Remiantis 38 paveikslėlio duomenimis, gautas didesnis nei 1307,76 karto pagreitėjimas. Tačiau atsižvelgus į efektyvumo koeficiento duomenis, matomus 41 paveikslėlyje, gijų panaudojimo efektyvumas yra labai mažas. Taip yra todėl, kad kiekviena gija skaičiuoja tik po 1 matricos elementą.



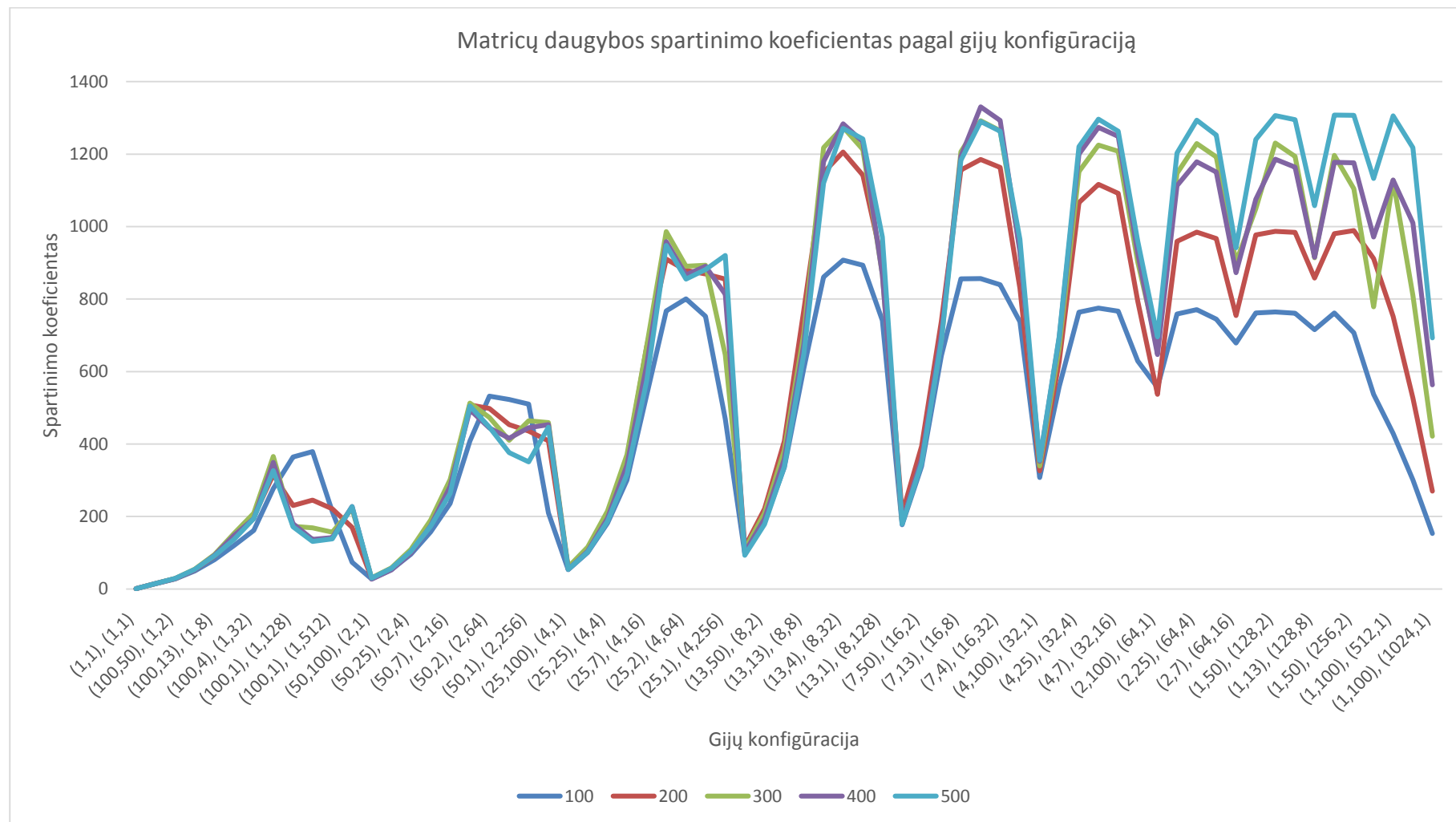
36 pav. Matricų daugybos laiko kitimas pagal matricų dydį



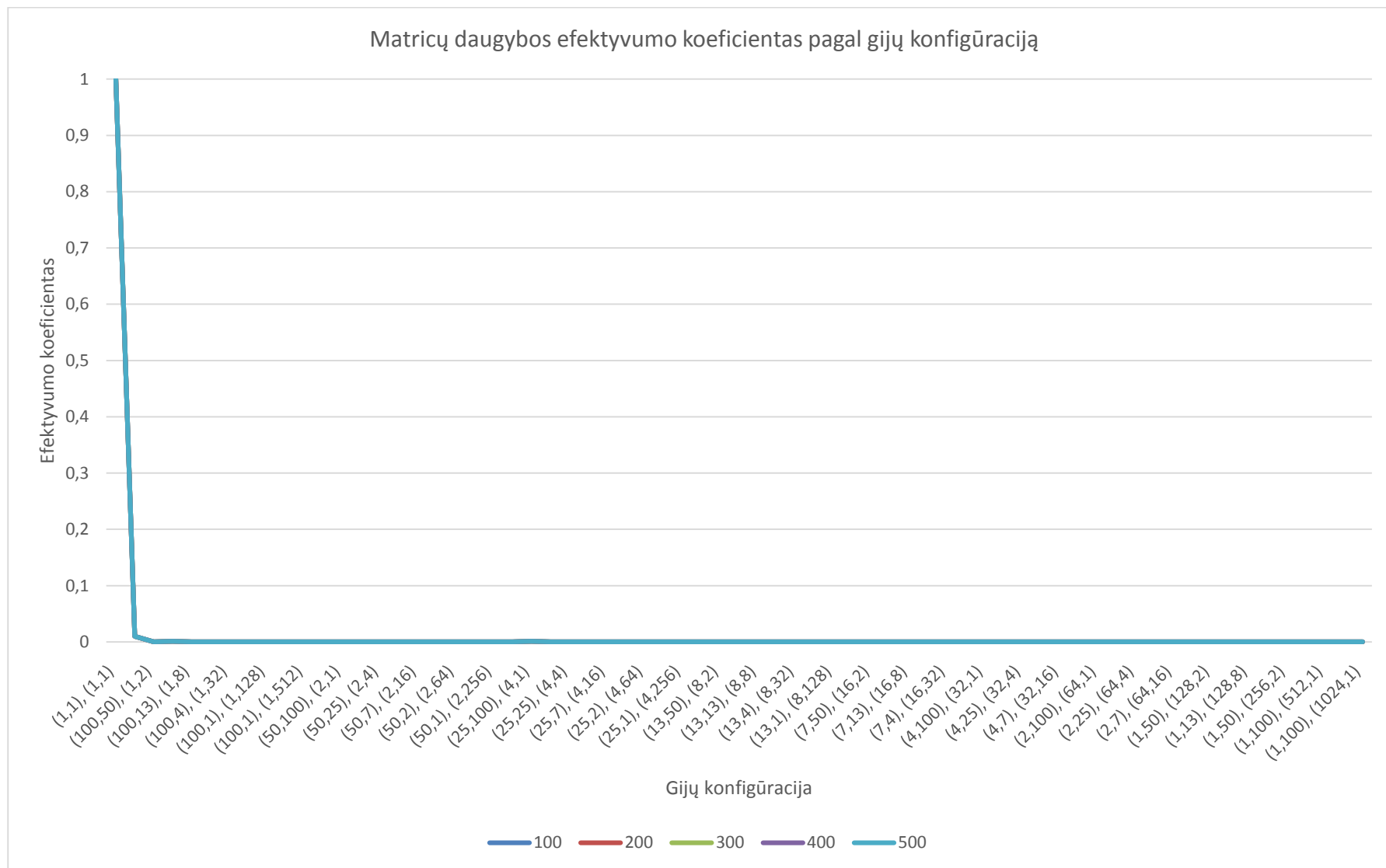
37 pav. Matricų daugybos laikas pagal gijų konfigūraciją



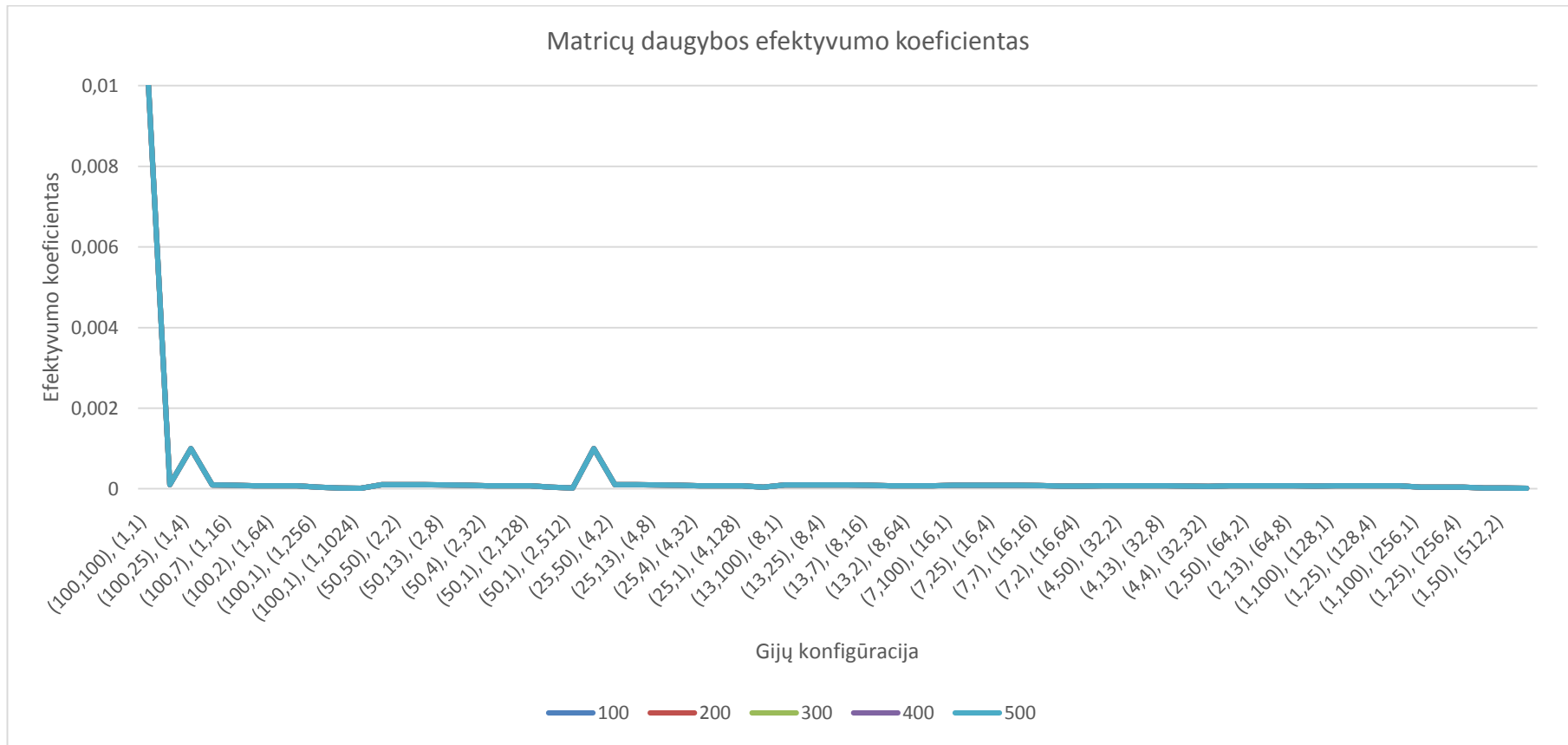
38 pav. Matricų daugybos laikas pagal gijų konfigūraciją



**39 pav.** Matricu daugybos spartinimo koeficientas pagal giju konfiguraciju

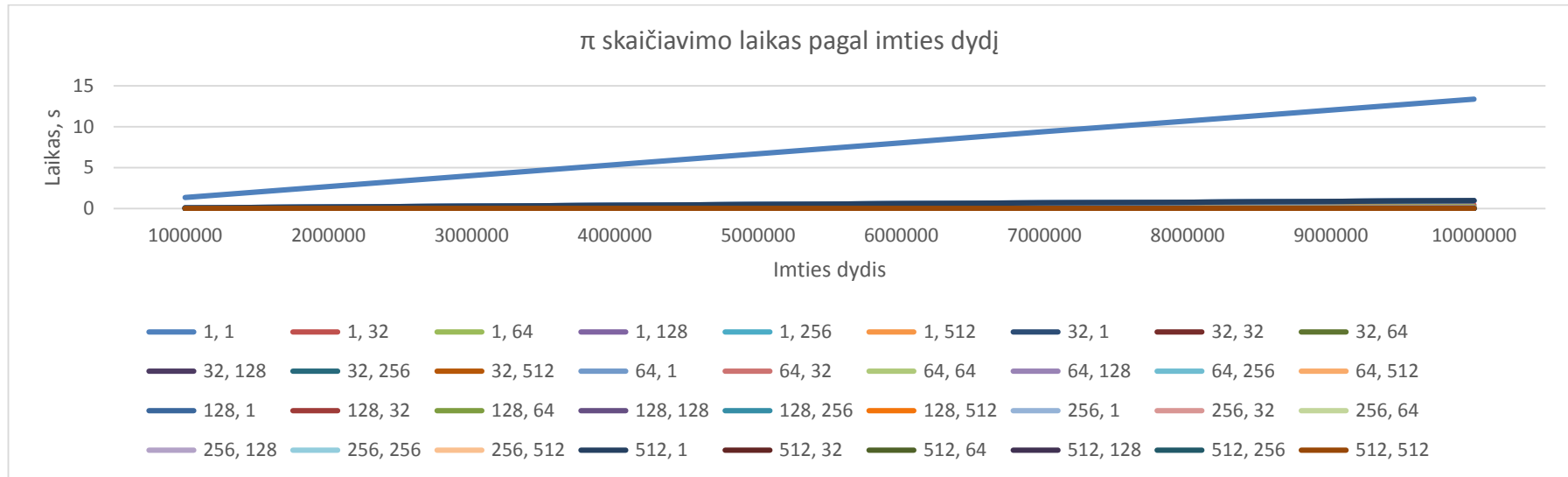


**40 pav.** Matricų daugybos efektyvumo koeficientas pagal gijų konfiguraciją



**41 pav.** Matricų daugybos efektyvumo koeficientas pagal gijų skaičių, kai efektyvumo koeficientas mažesnis nei 0,01

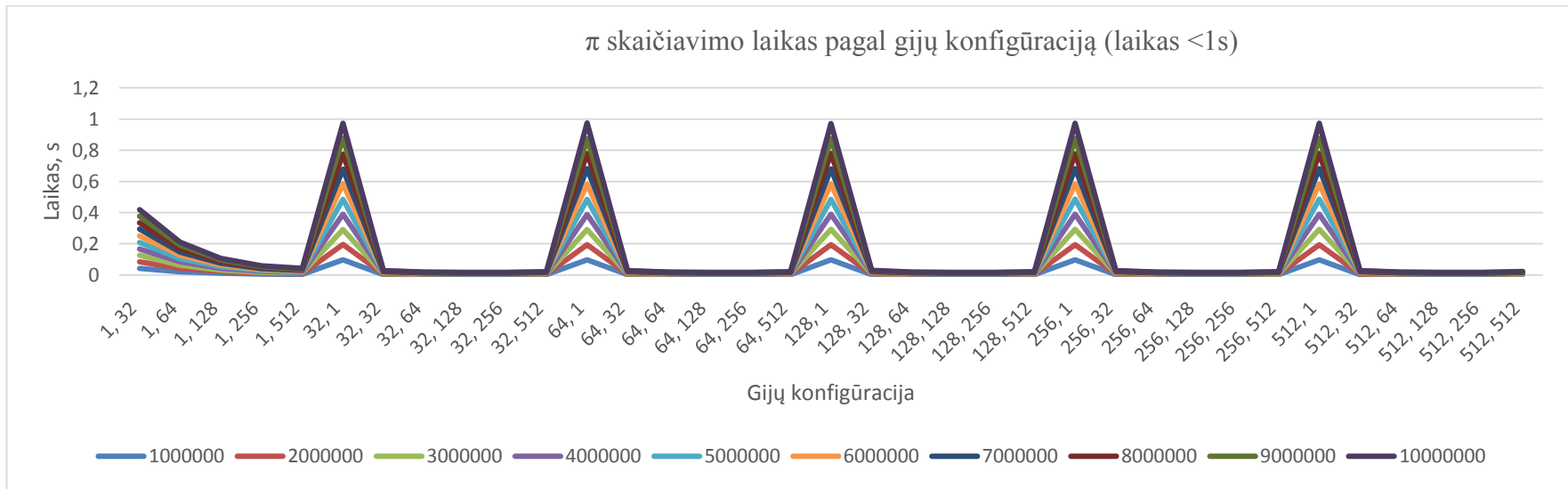
### 4.6.3.3. $\pi$ apskaičiavimas



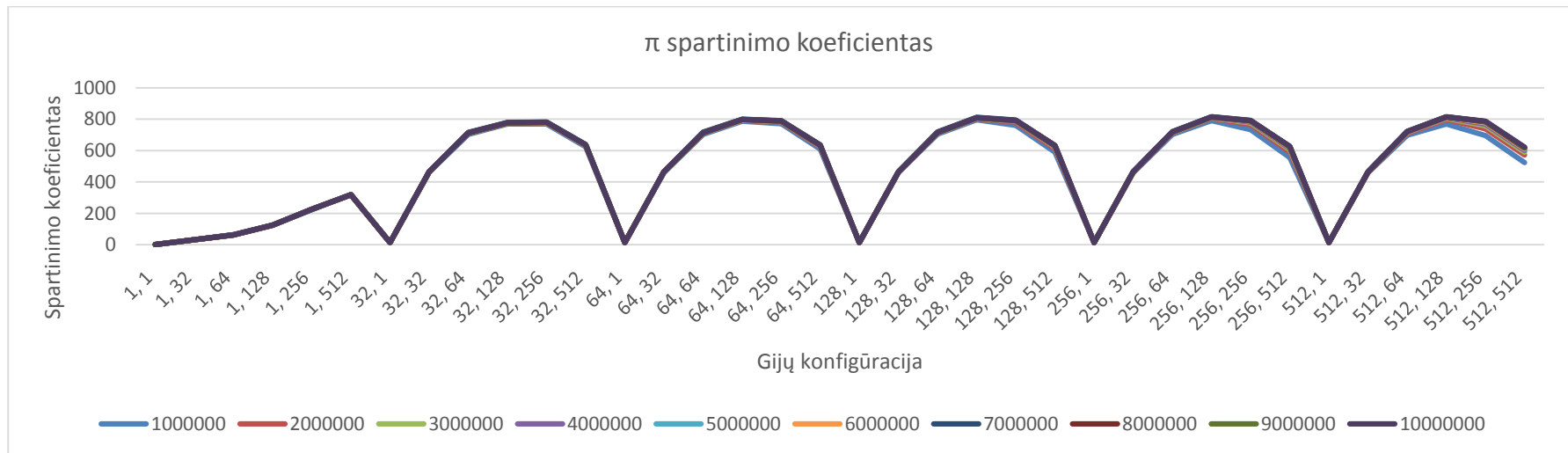
42 pav.  $\pi$  skaičiavimo laikas pagal imties dydį



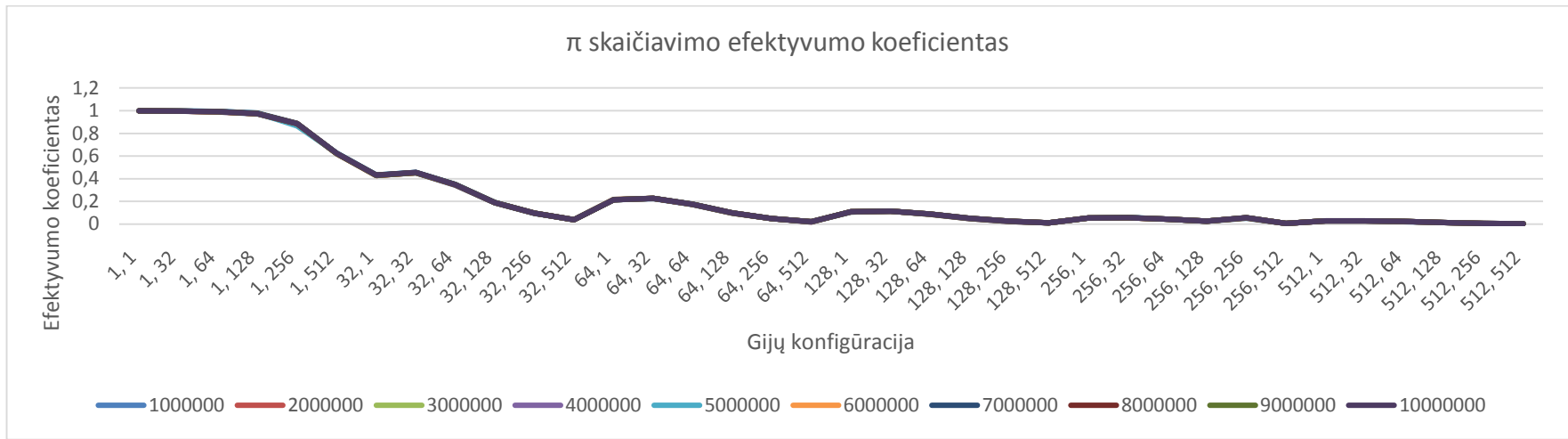
43 pav.  $\pi$  skaičiavimo laikas pagal gijų konfigūraciją



44 pav.  $\pi$  skaiĉiavimo laikas pagal gijū konfigurāciju, kai laikas maĉesnis nei 1s



45 pav.  $\pi$  skaiĉiavimo spartinimo koeficientas pagal gijū konfigurāciju



46 pav. π skaičiavimo efektyvumo koeficientas pagal gijų konfigūraciją

Kaip matome iš 42 – 44 paveikslėlių, skaičiuojant  $\pi$  reikšmę naudojant  $\langle 1 \ 1 \rangle$  konfigūraciją, 10 mln. tikslumu, truko 13,35 sekundės., o naudojant konfigūraciją  $\langle 512, 128 \rangle$  – 0,0164 sekundės. Pagal 45 paveikslėlį matome, kad spartinimo koeficientas – daugiau nei 800. Didėjant gijų skaičiui,  $\pi$  skaičiavimo greitis nuolat auga, nes kiekviena gija gali nepriklausomai viena nuo kitos skaičiuoti integralo reikšmes tam tikram intervale.

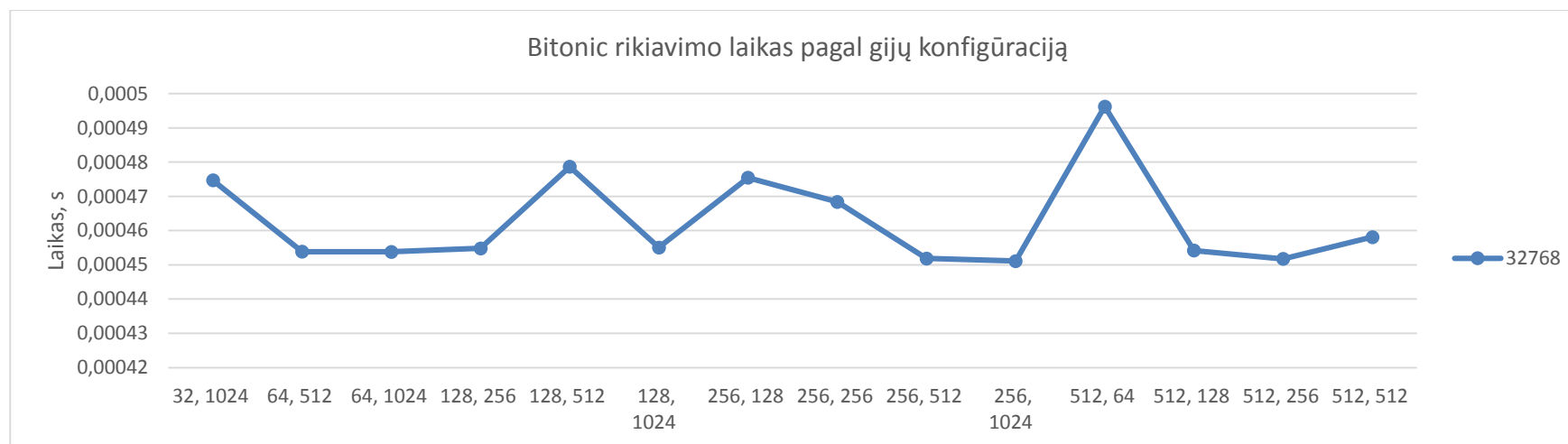
#### **4.6.3.4. Rikiavimas**

Atlikus rikiavimo tyrimą, naudojant „Bitonic“ rikiavimo algoritmą, susidurta su problema, kad nepavyko teisingai išrikiuoti skaičių naudojant daugumą gijų ir imties konfigūracijų (žiūrėti 4.6.2.4 paragrafą). Kadangi nepavyko atlikti šio algoritmo tyrimo ir su 1 gija, todėl spartinimo ir efektyvumo koeficientai taip pat nebuvo paskaičiuoti. Kaip matome iš 47 ir 48 paveikslėlių, teisingai išrikiuoti pavyko tik pagal tam tikras konfigūracijas.

Ypač be klaidų vyko rikiavimas, kai imties dydis yra 32768. Nors buvo išbandyti keli algoritmai šiai problemai spręsti, tačiau klaidų išvengti nepavyko – tik vienas ar keletas skaičių būdavo ne savo vietoje. Tai pat nepavyko CUDA technologijoje paleisti OpenMP dalyje naudoto algoritmo, nes naudojama vaizdo plokštė nepalaiko rekursyvių CUDA branduolio kreipinių.



47 pav. „Bitonic“ algoritmo rikiavimo laikas pagal gijų konfiguraciją



48 pav. „Bitonic“ algoritmo rikiavimo laikas, kai imties dydis 32768

#### 4.7. Išvados

1. Atlikus sukurtos sistemos tyrimą su didžiausios reikšmės paieška,  $\pi$  reikšmės skaičiavimu, matricų daugyba bei rikiavimo algoritmais nustatyta, kad ne kiekvienas algoritmas gali būti vienareikšmiškai konvertuotas kitai technologijai. Gali reikėti perkoduoti visą algoritmo veikimo principą dėl naudojamų technologijų skirtumų.
2. Pastebėta, kad didžiausias efektyvumas naudojant OpenMP pasiekiamas tada, kai naudojamas gijų skaičius neviršija CPU gijų skaičiaus.
3. Visi tirti algoritmai pasižymėjo vykdymo laiko sumažėjimu vykdant juos lygiagrečiai OpenMP ir CUDA technologijose, tačiau didžiausias pagreitėjimas matomas naudojant CUDA technologiją. Tai pat CUDA technologija pasižymėjo keletu trūkumų – turi ribotą atmintį, sudėtinga konfigūracija. Reikia atlikti išsamius algoritmų konfigūracijų tyrimus, norit rasti geriausią konfigūraciją pasirinktai duomenų imčiai.

## 5. IŠVADOS

1. Tyrimas padėjo pasiekti užsibrėžtų tikslų – atskleidė praeitame pusmetyje kurtos sistemos trūkumus bei padėjo identifikuoti būsimiems vartotojams aktualius sistemos konfigūravimo parametrus, tokus kaip gijų skaičiaus nustatymas, aktualiausi jau paruošti ir optimizuoti darbui algoritmai bei galimybė leisti išmatuoti vartotojui įkeltos programos greitaveiką.
2. Išlygiagretintų algoritmų laiko kitimo, spartinimo bei efektyvumo koeficientų tyrimas parodė, kad galima pasiekti OpenMP technologijoje iki 4.5 karto pagreitėjimą, CUDA - iki 1300 kartų pagreitėjimą. Todėl galima teigti, kad pasinaudojus šiuolaikinių programavimo technologijų privalomais galima pagerinti sistemas, pasiekti spartesnę informacijos apdorojimą.
3. Ateityje būtų tikslinga išlygiagretinti jau egzistuojančią sistemą, dirbančią su duomenų baze, palyginti jų greitaveiką.

## 6. TERMINŲ IR SANTRUMPŲ ŽODYNAS

CUDA	„NVIDIA“ sukurta nauja duomenų apdorojimo architektūra išnaudojanti grafinio procesoriaus resursus.
PĮ	programinė įranga.
C/C++	programavimo kalba.
Java	programavimo kalba.
OpenMP	programavimo standartas, skirtas realizuoti lygiagrečiams algoritmams bendros atminties kompiuteriuose.
GPU	grafinis procesorius (angl. Graphics processing unit).
UML	vieninga modeliavimo kalba (angl. Unified Modelling Language).

## 7. LITERATŪROS SĄRAŠAS

- [1] „SUSIDŪRIMŲ PAIEŠKOS, NAUDOJANT LYGIAGREČIUS SKAIČIAVIMUS, METODŲ TYRIMAS“ [Žiūrėta 2015 11 02], prieiga internete [http://vddb.laba.lt/fedora/get/LT-eLABa-0001:E.02~2013~D\\_20130826\\_104837-08217/DS.005.0.02.ETD](http://vddb.laba.lt/fedora/get/LT-eLABa-0001:E.02~2013~D_20130826_104837-08217/DS.005.0.02.ETD)
- [2] „LYGIAGRETIEJI SKAIČIAVIMAI NAUDOJANT VAIZDO PLOKŠTES“ [Žiūrėta 2015 11 02], prieiga internete [http://vddb.laba.lt/fedora/get/LT-eLABa-0001:E.02~2013~D\\_20130801\\_141911-32550/DS.005.0.01.ETD](http://vddb.laba.lt/fedora/get/LT-eLABa-0001:E.02~2013~D_20130801_141911-32550/DS.005.0.01.ETD)
- [3] „NVIDIA Unveils CUDA™-The GPU Computing Revolution Begins“ [Žiūrėta 2015 11 14], prieiga internete [http://www.nvidia.com/object/IO\\_37226.html](http://www.nvidia.com/object/IO_37226.html)
- [4] „Introduction to OpenMP“ [Žiūrėta 2015 11 14], prieiga internete <https://community.topcoder.com/tc?module=Static&d1=features&d2=091106>
- [5] „What is OpenMP“ [Žiūrėta 2015 11 14], prieiga internete <http://openmp.org/openmp-faq.html#WhatIs>
- [6] „CUDA“ [Žiūrėta 2015 11 14], prieiga internete <https://en.wikipedia.org/wiki/CUDA>
- [7] „GPSME toolkit“ [Žiūrėta 2015 11 14], prieiga internete <http://ansmart.co.uk/?q=node/54>
- [8] „GPSME“ [Žiūrėta 2015 11 14], prieiga internete <http://www.gp-sme.eu/>
- [9] „OpenMPC: Extended OpenMP Programming and Tuning for GPUs“ [Žiūrėta 2015 11 15], prieiga internete <https://engineering.purdue.edu/paramnt/OpenMPC>
- [10] „MINT“ [Žiūrėta 2015 11 12], prieiga internete <https://sites.google.com/site/mintmodel/>
- [11] „C to CUDA“ [Žiūrėta 2015 11 12], prieiga internete <https://sites.google.com/site/mintmodel/home/c-to-cuda-translation>
- [12] „Parallel computing technology application to Curonian Lagoon ecological model“ [Žiūrėta 2015 11 12], prieiga internete [http://vddb.library.lt/fedora/get/LT-eLABa-0001:E.02~2005~D\\_20050614\\_122654-32066/DS.005.0.02.ETD](http://vddb.library.lt/fedora/get/LT-eLABa-0001:E.02~2005~D_20050614_122654-32066/DS.005.0.02.ETD)
- [13] „High-performance particle simulation using CUDA“ [Žiūrėta 2015 11 10], prieiga internete <http://urn.kb.se/resolve?urn=urn:nbn:se:liu:diva-118776>
- [14] „Amdahl's law“ [Žiūrėta 2017 03 15], prieiga internete [https://en.wikipedia.org/wiki/Amdahl%27s\\_law](https://en.wikipedia.org/wiki/Amdahl%27s_law)

- [15] „Lygiagretieji skaičiavimai“ [Žiūrėta 2017 03 10], prieiga internete [http://kopustas.elen.ktu.lt/studentai/lib/exe/fetch.php?media=lygiagretieji\\_skaiciavimai.ppt](http://kopustas.elen.ktu.lt/studentai/lib/exe/fetch.php?media=lygiagretieji_skaiciavimai.ppt)
- [16] „CUDA Kernel Overhead“ [Žiūrėta 2017 03 10], prieiga internete [https://www.cs.virginia.edu/~mwb7w/cuda\\_support/kernel\\_overhead.html](https://www.cs.virginia.edu/~mwb7w/cuda_support/kernel_overhead.html)
- [17] „OpenMP micro benchmarking“ [Žiūrėta 2017 03 10], prieiga internete <https://www.epcc.ed.ac.uk/sites/default/files/PDF/ewomp99paper.pdf>
- [18] „A Microbenchmark Suite for OpenMP 2.0“ [Žiūrėta 2017 03 10], prieiga internete <https://www.epcc.ed.ac.uk/sites/default/files/PDF/OpenMPmicro2.pdf>
- [19] „Matrica (matematika)“ [Žiūrėta 2017 03 10], prieiga internete [https://lt.wikipedia.org/wiki/Matrica\\_\(matematika\)](https://lt.wikipedia.org/wiki/Matrica_(matematika))
- [20] „Pi formulas“ [Žiūrėta 2017 03 15], prieiga internete <http://mathworld.wolfram.com/PiFormulas.html>
- [21] „OpenMP & MPI“ [Žiūrėta 2017 04 10], prieiga internete <https://www.eecis.udel.edu/~cavazos/cisc879/Lecture-03.pdf>
- [22] „5KK73 GPU assignment website 2014/2015“ [Žiūrėta 2017 03 10], prieiga internete <http://www.es.ele.tue.nl/~mwijtvliet/5KK73/?page=mmcuda>
- [23] „Running a parallel matrix multiplication program using CUDA on FutureGrid“ [Žiūrėta 2017 04 10], prieiga internete <https://kb.iu.edu/d/bcgu>
- [24] „OpenMP PI“ [Žiūrėta 2017 03 15], prieiga internete <http://www.mathcs.emory.edu/~cheung/Courses/355/Syllabus/91-threads/openMP.html>
- [25] „Computation of pi in CUDA“ [Žiūrėta 2017 04 15], prieiga internete [http://math.oregonstate.edu/~mpesz/teaching/654\\_F09/students/lab7\\_Computation\\_of\\_pi\\_in\\_CUDA\\_Patil.ppt](http://math.oregonstate.edu/~mpesz/teaching/654_F09/students/lab7_Computation_of_pi_in_CUDA_Patil.ppt)
- [26] „Implementing Max Reduce in Cuda“ [Žiūrėta 2017 04 15], prieiga internete <http://stackoverflow.com/questions/17371275/implementing-max-reduce-in-cuda>
- [27] „Programming GPUs with CUDA“ [Žiūrėta 2017 04 15], prieiga internete [https://wiki.scinet.utoronto.ca/wiki/images/9/93/CUDA\\_advanced2013.pdf](https://wiki.scinet.utoronto.ca/wiki/images/9/93/CUDA_advanced2013.pdf)
- [28] „Bitonic Sort: CUDA“ [Žiūrėta 2017 04 16], prieiga internete [https://www.cs.rutgers.edu/~venugopa/parallel\\_summer2012/cuda\\_bitonic.html](https://www.cs.rutgers.edu/~venugopa/parallel_summer2012/cuda_bitonic.html)
- [29] „Bitonic Sort: CUDA“ [Žiūrėta 2017 04 16], prieiga internete <https://gist.github.com/mre/1392067>
- [30] „Bitonic Sort on CUDA“ [Žiūrėta 2017 04 16], prieiga internete <https://gist.github.com/mre/1392067>

- [31] „Bitonic Sort: OpenMP Implementation“ [Žiūrėta 2017 04 16]  
[https://www.cs.rutgers.edu/~venugopa/parallel\\_summer2012/bitonic\\_openmp.html](https://www.cs.rutgers.edu/~venugopa/parallel_summer2012/bitonic_openmp.html)  
1
- [32] „Introduction to Parallel Computing: Design and Analysis of Parallel Algorithms“, 1994. Autoriai: Vipin Kumar, Ananth Grama, Anshul Gupta, George Karpis. ISBN 0805331700.

## 8. PRIEDAI

### 1 Priedas. OpenMP maksimalios reikšmės paieška

```
//vektoriuje
#include "stdafx.h"
#include <omp.h>
#include <chrono>
#include "Utils.h"
#include <random>
#include <algorithm>
#include <iterator>
#include <stdio.h>

int main()
{
    //int sets[] = { 1000000, 1048576, 1594323, 1679616, 1953125,
    2097152, 4782969, 5764801, 9765625, 10000000, 10077696 };
    //int totalSet = 11;
    int sets[] = { 100000000, 150000000, 200000000, 250000000,
    300000000 };
    int totalSet = 1;
    int currentSet = 0;
    int maxThreads = 80;
    int *v;

    Utils u;
    u.setFileName("MaxRadimas_vectorius.txt");
    u.writeHeader("");
    cout << u.getFileName() << endl;

    int threadNum = 0;
    while (threadNum <= maxThreads) {
        if (threadNum < 20)
            threadNum++;
        else
            threadNum += 20;
        //for (int threadNum = 60; threadNum <= maxThreads;
threadNum+= 20) {
        cout << "Thread num " << threadNum << " is " << maxThreads
<< endl;
        srand(0);
        omp_set_num_threads(threadNum);

        while (currentSet < totalSet) {
            int j = sets[currentSet];

            std::vector<int> v;
            for (int i = 0; i < j; i++) {
                int g = rand() % INT_MAX;
                v.push_back(g);
            }
            cout << "uzpildyta" << endl;

            int maxa = 0;
            u.start();

            #pragma omp parallel
            {
                //cout << "thread number = " << omp_get_thread_num()
<< endl;
                auto my value = 0;
```

```

        #pragma omp for
        for (int f = 0; f < v.size(); f++) {
            if (v.at(f) > my_value)
                my_value = v.at(f);
        }

        #pragma omp critical
        {
            if (my_value > maxa)
                maxa = my_value;
        }
    }
    u.stop();
    cout << endl << "MAX = " << maxa << endl;
    u.write(threadNum, j, u.getSeconds());
    cout << u.getSeconds() << endl;
    currentSet++;
}
currentSet = 0;
}
}

```

```

//masyve
#include "stdafx.h"
#include <omp.h>
#include <chrono>
#include "Utils.h"
#include <random>
#include <algorithm>
#include <iterator>
#include <stdio.h>

int main()
{
    int sets[] = { 1000000, 150000000, 200000000, 250000000, 300000000 };
};
    int totalSet = 5;
    int currentSet = 0;
    int maxThreads = 80;
    Utils u;
    u.setFileName("MaxRadimas_masyve.txt");
    u.writeHeader("");
    cout << u.getFileName() << endl;

    int threadNum = 1;
    while (threadNum <= maxThreads) {

        for (int threadNum = 60; threadNum <= maxThreads; threadNum+=
20) {
            cout << "Thread num " << threadNum << " is " << maxThreads <<
endl;
            srand(0);

            omp_set_num_threads(threadNum);
            while (currentSet < totalSet) {
                int j = sets[currentSet];
                int *v = new int[j];
                for (int i = 0; i < j; i++) {
                    v[i] = rand() % INT_MAX;
                    cout << " " << v[i];
                }
            }
        }
    }
}

```

```

        cout << endl << "uzpildyta" << endl;
        int maxa = 0;
        u.start();
        #pragma omp parallel
        {
            cout << "thread number = " << omp_get_thread_num() <<
endl;

            int my_value = 0;
            #pragma omp for
            for (int f = 0; f < j; f++) {
                cout << "thread number = " <<
omp_get_thread_num() << endl;
                if (v[f] > my_value)
                    my_value = v[f];
            }
            #pragma omp critical
            {
                if (my_value > maxa)
                    maxa = my_value;
            }
        }
        u.stop();
        delete v;
        cout << j << endl << "MAX = " << maxa << endl;
        u.write(threadNum, j, u.getSeconds());
        cout << u.getSeconds() << endl;
        currentSet++;
    }
    currentSet = 0;
    if (threadNum < 20)
        threadNum++;
    else
        threadNum += 20;
}
}

```

## 2 Priedas. OpenMP matricų daugyba

```

#include "stdafx.h"
#include <omp.h>
#include <iostream>
#include "Utils.h"
#include <iomanip>
using namespace std;

int main(int argc, char *argv[])
{
    int sets[] = { 100, 200, 300, 400, 500, 600, 700, 800, 900,
1000};
    int totalSet = 10;
    int currentSet = 0;

    int maxThreads = 40;

    Utils u;
    u.setFileName("MatrixMultiply_parallel.txt");
    u.writeHeader("");
    cout << u.getFileName() << endl;

    for (int threadNum = 40; threadNum <= maxThreads; threadNum+=20)
{

```

```

    cout << "Thread num " << threadNum << " is " << maxThreads
<< endl << endl;
    cout << (threadNum * 100 / maxThreads) << endl;
    omp_set_num_threads(threadNum);

    while (currentSet < totalSet) {
        int size = sets[currentSet];
        double **a = new double*[size];
        double **b = new double*[size];
        double **c = new double*[size];

        for (int i = 0; i < size; i++) {
            a[i] = new double[size];
            for (int j = 0; j < size; j++)
                a[i][j] = i + j;
        }

        for (int i = 0; i < size; i++) {
            b[i] = new double[size];
            for (int j = 0; j < size; j++)
                b[i][j] = i*j;
        }

        for (int i = 0; i < size; i++) {
            c[i] = new double[size];
            for (int j = 0; j < size; j++)
                c[i][j] = 0;
        }

        int i, j, k;
        u.start();
        #pragma omp parallel shared(a,b,c) private(i,j,k)
        {
            //printf("Thread %d starting matrix multiply...\n",
omp_get_thread_num());
            for (i = 0; i < size; i++)
            {
                //printf("Multiplying...  %d \n",
omp_get_thread_num());
                #pragma omp for
                for (j = 0; j < size; j++) {
                    for (k = 0; k < size; k++) {
                        c[i][j] += a[i][k] * b[k][j];
                    }
                }
            }

            u.stop();
            u.write(threadNum, size, u.getSeconds());
            cout << u.getSeconds() << endl;

            for (int i = 0; i < size; i++) {
                delete a[i];
                delete b[i];
                delete c[i];
            }

            delete a;
            delete b;
            delete c;
            currentSet++;
        }
        currentSet = 0;
    }
}

```

```
}
```

### 3 Priedas. OpenMP $\pi$ skaičiavimas

```
#include "stdafx.h"
#include <iostream>
#include <math.h>
#include <omp.h>
#include "Utils.h"
#include <iomanip>
using namespace std;

int main(int argc, char *argv[])
{
    int sets[] = { 1000000, 2000000, 3000000, 4000000, 5000000,
6000000, 7000000, 8000000, 9000000, 10000000 };
    int totalSet = 1;
    int currentSet = 0;
    int maxThreads = 1;

    Utils u;
    u.setFileName("PiSkaiciavimas_pararell.txt");
    u.writeHeader("");

    for (int threadNum = 1; threadNum <= maxThreads; threadNum++) {
        cout << "Thread num " << threadNum << " is " << maxThreads
<< endl;
        omp_set_num_threads(threadNum);

        while (currentSet < totalSet) {
            int N = sets[currentSet];
            double pi;
            double step, x;

            step = 1.0 / N;
            pi = 0.0;
            u.start();
#pragma omp parallel
            {
                int i;
                double mypi, x;
                mypi = 0.0;

#pragma omp for
                for (i = 0; i < N; i++)
                {
                    x = step*(i + 0.5);
                    mypi = mypi + (4.0 / (1 + x*x));
                }
#pragma omp critical
                {
                    pi = pi + mypi;
                }
            }
            u.stop();
            pi *= step;
            cout << "Computed Pi = " << setprecision(10) << pi <<
endl << endl;
            u.write(threadNum, sets[currentSet], u.getSeconds());
            cout << u.getSeconds() << endl;
            currentSet++;
        }
    }
}
```

```

    }
    currentSet = 0;
}
}

```

#### 4 Priedas. OpenMP rikiavimas

```

#include "stdafx.h"
#include <iostream>
#include <omp.h>
#include "Utils.h"
using namespace std;

#define MAX(A, B) ((A) > (B)) ? (A) : (B)
#define MIN(A, B) ((A) > (B)) ? (B) : (A)
#define UP 0
#define DOWN 1

void bitonic_sort_seq(int start, int length, int *seq, int flag);
void bitonic_sort_par(int start, int length, int *seq, int flag);
void swap(int *a, int *b);

int m;

int main(int argc, char ** argv)
{
    int sets[] = { 32768, 65536, 131072, 262144 ,524288, 1048576,
2097152 ,4194304 };
    int totalSet = 8;
    int currentSet = 0;
    int maxThreads = 20;

    Utils u;
    u.setFileName("BitonicSort_pararell2.txt");
    u.writeHeader("");

    for (int threadNum = 1; threadNum <= maxThreads; threadNum *=2) {
        srand(0);
        cout << "Thread num " << threadNum << " is " << maxThreads <<
endl;
        omp_set_num_threads(threadNum);

        while (currentSet < totalSet) {
            int N = sets[currentSet];

            int * arr;

            arr = new int[N];
            for (int i = 0; i < N; i++)
                arr[i] = rand() % INT_MAX;

            cout << "Uzpildyta" << endl;

            int i, j;
            int flag;

            // start

            //numThreads = omp_get_max_threads();

            // making sure input is okay
            if (N < threadNum * 2)

```

```

    {
        printf("The size of the sequence is less than 2 * the
number of processes.\n");
        exit(0);
    }

    // the size of sub part
    m = N / threadNum;

    // make the sequence bitonic - part 1
    u.start();
    for (i = 2; i <= m; i = 2 * i)
    {
        #pragma omp parallel for shared(i, arr) private(j,
flag)
        for (j = 0; j < N; j += i)
        {
            if ((j / i) % 2 == 0)
                flag = UP;
            else
                flag = DOWN;
            bitonic_sort_seq(j, i, arr, flag);
        }
    }

    // make the sequence bitonic - part 2
    for (i = 2; i <= threadNum; i = 2 * i)
    {
        for (j = 0; j < threadNum; j += i)
        {
            if ((j / i) % 2 == 0)
                flag = UP;
            else
                flag = DOWN;
            bitonic_sort_par(j*m, i*m, arr, flag);
        }
        #pragma omp parallel for shared(j)
        for (j = 0; j < threadNum; j++)
        {
            if (j < i)
                flag = UP;
            else
                flag = DOWN;
            bitonic_sort_seq(j*m, m, arr, flag);
        }
    }
    u.stop();

    // print a sequence
    /*for (i = 0; i < N; i++) {
        cout << arr[i] << " ";
    }*/

    bool passed = true;
    for (int i = 1; i < N; i++) {
        if (arr[i - 1] > arr[i]) {
            passed = false;
        }
    }
    if (passed) {
        cout << u.getSeconds() << " ";
        cout << threadNum << " " << N << " " <<
u.getSeconds() << endl;
        u.write(threadNum, N, u.getSeconds());
    }
}

```

```

        else
            cout << " ";
        cout << endl;

        delete arr;

        //u.write(threadNum, N, u.getSeconds());

        currentSet++;
    }
    currentSet = 0;
}

return 0;
}

void swap(int *a, int *b)
{
    int t;
    t = *a;
    *a = *b;
    *b = t;
}

void bitonic_sort_par(int start, int length, int *seq, int flag)
{
    int i;
    int split_length;

    if (length == 1)
        return;

    if (length % 2 != 0)
    {
        printf("The length of a (sub)sequence is not divided by
2.\n");
        exit(0);
    }

    split_length = length / 2;

    // bitonic split
    #pragma omp parallel for shared(seq, flag, start, split_length)
private(i)
    for (i = start; i < start + split_length; i++)
    {
        if (flag == UP)
        {
            if (seq[i] > seq[i + split_length])
                swap(&seq[i], &seq[i + split_length]);
        }
        else
        {
            if (seq[i] < seq[i + split_length])
                swap(&seq[i], &seq[i + split_length]);
        }
    }

    if (split_length > m)

```

```

    {
        // m is the size of sub part-> n/numThreads
        bitonic_sort_par(start, split_length, seq, flag);
        bitonic_sort_par(start + split_length, split_length, seq,
flag);
    }

    return;
}

void bitonic_sort_seq(int start, int length, int *seq, int flag)
{
    int i;
    int split_length;

    if (length == 1)
        return;

    if (length % 2 != 0)
    {
        printf("error\n");
        exit(0);
    }

    split_length = length / 2;

    // bitonic split
    for (i = start; i < start + split_length; i++)
    {
        if (flag == UP)
        {
            if (seq[i] > seq[i + split_length])
                swap(&seq[i], &seq[i + split_length]);
        }
        else
        {
            if (seq[i] < seq[i + split_length])
                swap(&seq[i], &seq[i + split_length]);
        }
    }

    bitonic_sort_seq(start, split_length, seq, flag);
    bitonic_sort_seq(start + split_length, split_length, seq, flag);
}

```

## 5 Priedas. CUDA maksimalios reikšmės paieška

```

#include <iostream>
#include <cuda.h>
#include <cuda_runtime.h>
#include <random>
#include <algorithm>
#include <iterator>
#include <stdio.h>
#include <vector>
#include <sstream>
#include "Utils.h"
using namespace std;

global void find_maximum_kernel(int *arr, int *max, int *mutex,

```

```

unsigned int n) {
    unsigned int index = threadIdx.x + blockIdx.x * blockDim.x;
    unsigned int grid = gridDim.x * blockDim.x;
    unsigned int offset = 0;
    __shared__ int cache[1024];
    float temp = -1.0;
    while (index + offset < n) {
        temp = fmaxf(temp, arr[index + offset]);
        offset += grid;
    }

    cache[threadIdx.x] = temp;
    __syncthreads();

    unsigned int i = blockDim.x / 2;
    while (i != 0) {
        if (threadIdx.x < i) {
            cache[threadIdx.x] = fmaxf(cache[threadIdx.x],
cache[threadIdx.x + i]);
        }
        __syncthreads();
        i /= 2;
    }

    if (threadIdx.x == 0) {
        while (atomicCAS(mutex, 0, 1) != 0)
            ;
        *max = fmaxf(*max, cache[0]);
        atomicExch(mutex, 0);
    }
}

int main() {
    Utils u;
    u.setFileName("MaxRadimas_cuda_8.txt");
    u.writeHeader("");
    cout << u.getFileName() << endl;

    int sets[] = { 100000000, 150000000, 200000000, 250000000,
300000000 };
    int totalSet = 5;
    int currentSet = 0;

    int threadSet[] = { 1, 32, 64, 128, 256, 512, 1024 };
    int totalCudaThreads = 7;

    int blockSet[] = { 1024, 512, 256, 128, 64, 32, 1 };
    int totalBlokcs = 7;
    stringstream ss;

    cout << "; ";
    for (int p = 0; p < totalSet; p++) {
        cout << sets[p] << "; ";
    }
    cout << endl;
    for (int blockIndex = 0; blockIndex < totalBlokcs; blockIndex++)
    {
        int blocks = blockSet[blockIndex];
        for (int threadIndex = 0; threadIndex < totalCudaThreads;
threadIndex++) {
            srand(0);
            int threads = threadSet[threadIndex];
            cudaError_t err;
            cout << "<< " << blocks << ", " << threads << " >> "; ";
            ss << "<< " << blocks << ", " << threads << " >> "; ";

```

```

while (currentSet < totalSet) {
    int j = sets[currentSet];
    int* v = new int[j];
    for (int i = 0; i < j; i++) {
        v[i] = rand() % INT_MAX;
        //cout << " " << v[i];
    }
    cout << " ";

    int *dev_in;

    err = cudaMalloc((void **)&dev_in, j * sizeof(int));
    err = cudaMemcpy(dev_in, v, j * sizeof(int),
cudaMemcpyHostToDevice);

    int *h_max = new int(0);
    int *dev_maximums;
    int *dev_mutex;

    cudaMalloc((void **)&dev_maximums, sizeof(int));
    cudaMalloc((void **)&dev_mutex, sizeof(int));
    cudaMemset(dev_maximums, 0, sizeof(int));
    cudaMemset(dev_mutex, 0, sizeof(int));

    u.start();
    find_maximum_kernel << <blocks, threads >> >(dev_in,
dev_maximums, dev_mutex, j);
    err = cudaDeviceSynchronize();
    u.stop();
    err = cudaMemcpy(h_max, dev_maximums, sizeof(int),
cudaMemcpyDeviceToHost);
    //cout << "Max = " << *h_max <<endl;

    //cout << u.getSeconds() << "; "; //"(TIME = " << j
<< " ----> " << u.getSeconds() << ") ";
    //ss << u.getSeconds() << "; ";

    if (err == cudaSuccess)
        cout << u.getSeconds() << "; ";
    else
        cout << "-" << u.getSeconds() << "; ";

                                cudaError_t error =
cudaGetLastError();
                                if (error != cudaSuccess) {
                                    cout << "-" << u.getSeconds() <<
"; ";
                                    // print the CUDA error message
                                    printf(" %d: CUDA error: %s
",j, cudaGetErrorString(error));
                                    //exit(-1);
                                } else {
                                    cout << u.getSeconds() << "; ";
                                }

    currentSet++;
    cudaFree(dev_in);
    cudaFree(dev_maximums);
    cudaFree(dev_mutex);
    delete h_max;
    delete v;
    cudaDeviceReset();
}
currentSet = 0;

```

```

        cout << endl;
    }
}
cout << endl << "End." << endl;
return 0;
}

```

## 6 Priedas. CUDA matricų daugyba

```

#include <sstream>
#include <stdio.h>
#include <iostream>
#include "Utils.h"
using namespace std;

__global__ void MatrixMultiply(float* A, float* B, float* C, int N)
{
    float cc = 0.0;
    int row = blockIdx.y * blockDim.y + threadIdx.y;
    int col = blockIdx.x * blockDim.x + threadIdx.x;
    if (row > N || col > N)
        return;
    for (int e = 0; e < N; ++e)
        cc += (A[row * N + e]) * (B[e * N + col]);
    C[row * N + col] = cc;
}

int main(int argc, char* argv[]) {
    Utils u;
    u.setFileName("MatrixMultiply_CUDA.txt");
    u.writeHeader("");
    cout << u.getFileName() << endl;

    int sets[] = { 100, 200, 300, 400, 500, 600, 700, 800, 900, 1000
};
    int totalSet = 5;
    int currentSet = 0;

    dim3 blockSet[] = {
        dim3(1024, 2),
        dim3(2, 1024),
        dim3(2, 512),
        dim3(512, 2),
        dim3(4, 256),
        dim3(256, 4),
        dim3(8, 128),
        dim3(128, 8),
        dim3(16, 64),
        dim3(64, 16),
        dim3(32, 32),
        dim3(16, 16),
        dim3(8, 8),
        dim3(4, 4),
        dim3(2, 2),
        dim3(1, 1) };
    int totalBlocks = 16;
    int currentThreads = 0;

    dim3 gridSet[] = {
        dim3(256, 256),
        dim3(256, 4),
        dim3(4, 256),
        dim3(64, 64),

```

```

        dim3(32, 32),
        dim3(16, 16),
        dim3(8, 8),
        dim3(1, 1)
};

int totalGrids = 8;
stringstream ss;

cout << "; ";
for (int p = 0; p < totalSet; p++) {
    cout << sets[p] << "; ";
}
cout << endl;

for (int blockIdx = 0; blockIdx < totalBlocks; blockIdx++)
{
    dim3 blocks = blockSet[blockIdx];
    for (int gridIndex = 0; gridIndex < totalGrids; gridIndex++)
    {
        dim3 grids = gridSet[gridIndex];
        srand(0);
        //int threads = threadSet[threadIndex];
        cout << "<< (" << grids.x << "," << grids.y << "), " <<
"(" << blocks.x << "," << blocks.y << ")" << " >> ";";
        //ss << "<< " << blocks << ", " << blocks << " >> ";";

        while (currentSet < totalSet) {
            int N = sets[currentSet];

            float* A = (float*)malloc(N * N * sizeof(float));
            float* B = (float*)malloc(N * N * sizeof(float));
            float* C = (float*)malloc(N * N * sizeof(float));

            for (int i = 0; i < N; i++)
                for (int j = 0; j < N; j++) {
                    A[i * N + j] = i + j;
                    B[i * N + j] = i*j;
                    C[i * N + j] = 0;
                }

            size_t size = N * N * sizeof(float);
            float* d_A;

            //cout << N << "<< (" << grids.x << "," << grids.y <<
"), " << "(" << blocks.x << "," << blocks.y << ")" << " >>";

            cudaError_t err = cudaMalloc(&d_A, size);
            //printf("CUDA malloc A: %s\n",
cudaGetErrorString(err));
            err = cudaMemcpy(d_A, A, size,
cudaMemcpyHostToDevice);
            //printf("Copy A to device: %s\n",
cudaGetErrorString(err));
            float* d_B;
            err = cudaMalloc(&d_B, size);

            //printf("CUDA malloc B: %s\n",
cudaGetErrorString(err));
            err = cudaMemcpy(d_B, B, size,
cudaMemcpyHostToDevice);

```

```

        //printf("Copy B to device: %s\n",
cudaGetErrorString(err));
        // Allocate C in device memory
        float* d_C;
        err = cudaMalloc(&d_C, size);
        //printf("CUDA malloc C: %s\n",
cudaGetErrorString(err));

        //dim3 dimBlock(1024, 1);
        //dim3 dimGrid((N + dimBlock.x - 1) / dimBlock.x, (N
+ dimBlock.y - 1) / dimBlock.y, 1);
        //dim3 dimGrid(1, 1);
        u.start();
        MatrixMultiply << <grids, blocks >> >(d_A, d_B, d_C,
N);

        err = cudaThreadSynchronize();
        u.stop();

        err = cudaMemcpy(C, d_C, size,
cudaMemcpyDeviceToHost);
        //printf("Copy C off of device: %s\n",
cudaGetErrorString(err));

        cudaFree(d_A);
        cudaFree(d_B);
        cudaFree(d_C);

        //          for (int i = 0; i < min(10, N); i++)
{
        //          for (int j = 0; j < min(10, N);
j++)
        //          printf("%f ", A[i * N + j]);
        //          printf("\n");
        //          }
        //          printf("\n");
        //          for (int i = 0; i < min(10, N); i++)
{
        //          for (int j = 0; j < min(10, N);
j++)
        //          printf("%f ", B[i * N + j]);
        //          printf("\n");
        //          }
        //          printf("\n");
        //          for (int i = 0; i < min(5, N); i++)
{
        //          for (int j = 0; j < min(5, N);
j++)
        //          printf("%f ", C[i * N + j]);
        //          printf("\n");
        //          }
        //          printf("\n");
        delete A;
        delete B;
        delete C;
        currentSet++;
        if (err == cudaSuccess)
            cout << u.getSeconds() << " ";
        else
            cout << "-" << u.getSeconds() << " ";

        //          cudaError_t error =
cudaGetLastError();
        //          if (error !=

```

```

cudaSuccess) {
    // cout << "-"
    << u.getSeconds() << "; ";
    // // print the
    CUDA error message and exit
    // //printf("
    %d: CUDA error: %s ",N, cudaGetErrorString(error));
    // //cout <<
    "block index = " << blockIdx << " grid index = " << gridIndex <<
    endl;
    // //cout <<
    "<< (" << grids.x << "," << grids.y << "), " << "(" << blocks.x <<
    "," << blocks.y << ")" << " >>";
    // //exit(-1);
    // }
    // else{
    // cout <<
    u.getSeconds() << "; ";
    // }
    cudaDeviceReset();

    }
    currentSet = 0;
    cout << endl;
}
}
cout << endl << "End." << endl;
return 0;
}

```

## 7 Priedas. CUDA $\pi$ skaičiavimas

```

#include <iostream>
#include <cuda.h>
#include <cuda_runtime.h>
#include <random>
#include <algorithm>
#include <iterator>
#include <stdio.h>
#include <sstream>
#include "Utils.h"
#include <iomanip>
using namespace std;

__global__ void cal_pi(double *sum, double nbin, double step, int
nthreads, int nblocks) {
    int i;
    double x;
    int idx = blockIdx.x * blockDim.x + threadIdx.x; // Sequential
thread index across the blocks
    for (i = idx; i < nbin; i += nthreads * nblocks) {
        x = (i + 0.5) * step;
        sum[idx] += 4.0 / (1.0 + x * x);
    }
}

int main(void) {

    Utils u;
    u.setFileName("pi_cuda_.txt");
    u.writeHeader("");
    cout << u.getFileName() << endl;
}

```

```

    int sets[] = { 1000000, 2000000, 3000000, 4000000, 5000000,
6000000, 7000000, 8000000, 9000000, 10000000 };
    int totalSet = 10;
    int currentSet = 0;

    int threadSet[] = { 1, 32, 64, 128, 256, 512 };
    int totalCudaThreads = 6;
    int currentThreads = 0;

    int blockSet[] = { 1, 32, 64, 128, 256, 512 };
    int totalBlokcs = 6;
    int currentBlocks = 6;

    int maxThreads = 1;

    stringstream ss;

    cout << "; ";
    for (int p = 0; p < totalSet; p++) {
        cout << sets[p] << "; ";
    }
    cout << endl;

    for (int blockIndex = 0; blockIndex < totalBlokcs; blockIndex++)
{
    int blocks = blockSet[blockIndex];
    for (int threadIndex = 0; threadIndex < totalCudaThreads;
threadIndex++) {
        srand(0);
        int threads = threadSet[threadIndex];
        cout << "<< " << blocks << ", " << threads << " >> "; ";
        ss << "<< " << blocks << ", " << threads << " >> "; ";
        while (currentSet < totalSet) {
            int j = sets[currentSet];
            cudaError_t err;
            double *sumHost, *sumDev;

            double step = 1.0 / j; // Step size
            size_t size = blocks * threads * sizeof(double);
            sumHost = (double *)malloc(size);
            cudaMalloc((void **)&sumDev, size);
            cudaMemset(sumDev, 0, size);
            u.start();
            cal_pi << <blocks, threads >> >(sumDev, j, step,
threads, blocks); // call CUDA kernel
            err = cudaThreadSynchronize();
            u.stop();
            double pi = 0.0;
            cudaMemcpy(sumHost, sumDev, size,
cudaMemcpyDeviceToHost);
            for (int tid = 0; tid < threads * blocks; tid++)
                pi += sumHost[tid];
            pi *= step;

            if (err == cudaSuccess)
                cout << u.getSeconds() << "; ";
            else {
                cout << "-" << u.getSeconds() << "; ";
                return 0;
            }
        }
        //printf("PI = %f\n", pi);
        free(sumHost);
        cudaFree(sumDev);
    }
}

```

```

        currentSet++;

        cudaError_t error = cudaGetLastError();
        if (error != cudaSuccess) {
            // print the CUDA error message and exit
            printf(" %d: CUDA error: %s ", j,
cudaGetErrorString(error));
            exit(-1);
        }
    }
    currentSet = 0;
    cout << endl;
}
}
cout << endl << "End." << endl;
return 0;
}

```

## 8 Priedas. CUDA rikiavimas

```

#include <stdio.h>
#include <stdlib.h>
#include <iostream>
#include <cuda.h>
#include <cuda_runtime.h>
#include <random>
#include <algorithm>
#include <iterator>
#include <stdio.h>
#include <sstream>
#include "Utils.h"
using namespace std;

__global__ void bitonic_sort(float *dev_values, int j, int k) {
    unsigned int i, ixj;
    i = threadIdx.x + blockDim.x * blockIdx.x;
    ixj = i ^ j;

    /* The threads with the lowest ids sort the array. */
    if ((ixj) > i) {
        if ((i & k) == 0) {
            /* Sort ascending */
            if (dev_values[i] > dev_values[ixj]) {
                float temp = dev_values[i];
                dev_values[i] = dev_values[ixj];
                dev_values[ixj] = temp;
            }
        }
        if ((i & k) != 0) {
            /* Sort descending */
            if (dev_values[i] < dev_values[ixj]) {
                float temp = dev_values[i];
                dev_values[i] = dev_values[ixj];
                dev_values[ixj] = temp;
            }
        }
    }
}

int main(void) {
    Utils u;
    u.setFileName("BitonicSort.txt");
    u.writeHeader("");
}

```

```

cout << u.GetFileName() << endl;

int sets[] = { 32768, 65536, 131072, 262144 ,524288, 1048576,
2097152 ,4194304 };
int totalSet = 8;
int currentSet = 0;

int threadSet[] = { 1, 2, 4, 8, 16, 32, 64, 128, 256, 512, 1024,
2048 ,4096 };
int totalCudaThreads = 13;

int blockSet[] = { 1, 2, 4, 8, 16, 32, 64, 128, 256, 512, 1024,
2048 ,4096 };
int totalBlokcs = 13;

stringstream ss;
cout << " ";
for (int p = 0; p<totalSet; p++) {
    cout << sets[p] << " ";
}
cout << endl;

for (int blockIndex = 0; blockIndex < totalBlokcs; blockIndex++) {
    int blocks = blockSet[blockIndex];
    for (int threadIndex = 0; threadIndex < totalCudaThreads;
threadIndex++) {
        srand(0);
        int threads = threadSet[threadIndex];
        cudaError_t err;
        cout << "<< " << blocks << ", " << threads << " >> ";
        ss << "<< " << blocks << ", " << threads << " >> ";
        while (currentSet < totalSet) {
            int N = sets[currentSet];

            float *values = new float[N];
            for (int i = 0; i < N; i++) {
                values[i] = rand() % INT_MAX;
                //cout << " " << v[i];
            }

            float *dev_values;
            size_t size = N * sizeof(float);

            cudaMalloc((void**)&dev_values, size);
            cudaMemcpy(dev_values, values, size,
cudaMemcpyHostToDevice);

            dim3 block(blocks, 1);
            dim3 thread(threads, 1);

            u.start();
            int j, k;
            for (k = 2; k <= N; k <<= 1) {
                for (j = k >> 1; j > 0; j = j >> 1) {
                    bitonic_sort << <block, thread >>
>(dev_values, j, k);
                }
            }
            u.stop();
            cudaMemcpy(values, dev_values, size,
cudaMemcpyDeviceToHost);
            cudaFree (dev_values);

            bool passed = true;
            for (int i = 1; i < N; i++) {

```

```

        if (values[i - 1] > values[i]) {
            passed = false;
        }
    }
    if (passed)
        cout << u.getSeconds() << " ";
    else
        cout << " ";
    currentSet++;

    delete values;
    cudaDeviceReset();
}
currentSet = 0;
cout << endl;
}
cout << endl << "End." << endl;
return 0;
}

```

## 9.Priedas. OpenMP maksimalios reikšmės paieškos diagramų duomenys

17 lentelė. Maksimalios reikšmės algoritmo efektyvumo koeficientas

	1E+08	1,5E+08	2E+08	2,5E+08	3E+08
1	1	1	1	1	1
2	0,886473	0,926087	0,961543	0,95238	0,923335
3	0,885459	0,868906	0,798326	0,867163	0,882633
4	0,827709	0,825386	0,82388	0,861887	0,836707
5	0,557757	0,688937	0,662925	0,649671	0,721689
6	0,44988	0,595026	0,631355	0,585205	0,59842
7	0,343823	0,412097	0,446441	0,492888	0,605405
8	0,409547	0,409389	0,411157	0,357569	0,46253
9	0,376036	0,395207	0,397795	0,387484	0,416801
10	0,270892	0,283922	0,279113	0,334681	0,340093
11	0,247493	0,376305	0,285257	0,285634	0,308965
12	0,256316	0,283009	0,280637	0,271556	0,279705
13	0,198232	0,206636	0,232018	0,260636	0,285312
14	0,208765	0,207737	0,214532	0,22498	0,272312
15	0,192269	0,192064	0,263205	0,220499	0,227141
16	0,185235	0,162952	0,21459	0,207935	0,206851
17	0,149849	0,151279	0,195475	0,192682	0,199765
18	0,136326	0,153947	0,164427	0,18064	0,190952
19	0,138414	0,171278	0,15849	0,188205	0,183098
20	0,125326	0,14793	0,147172	0,168716	0,177626
40	0,071592	0,078601	0,071553	0,079508	0,080799
60	0,045232	0,051195	0,053537	0,056751	0,045215
80	0,032568	0,04196	0,031668	0,042153	0,035789

18 lentelė. Maksimalios reikšmės spartinimo koeficientas

	1E+08	1,5E+08	2E+08	2,5E+08	3E+08
--	-------	---------	-------	---------	-------

1	1	1	1	1	1
2	1,772946	1,852174	1,923087	1,904759	1,846669
3	2,656378	2,606717	2,394977	2,601488	2,647898
4	3,310835	3,301544	3,29552	3,447549	3,346828
5	2,788783	3,444687	3,314627	3,248354	3,608447
6	2,699279	3,570158	3,788132	3,511232	3,590521
7	2,406763	2,88468	3,125084	3,450215	4,237834
8	3,276377	3,275109	3,289259	2,86055	3,700243
9	3,384323	3,556863	3,580159	3,487356	3,751207
10	2,708918	2,839222	2,791126	3,346809	3,400929
11	2,722428	4,139355	3,137832	3,141975	3,398616
12	3,075788	3,39611	3,367645	3,258668	3,356466
13	2,577014	2,686272	3,016229	3,388266	3,709057
14	2,922715	2,908315	3,003448	3,149721	3,812372
15	2,884036	2,880965	3,948078	3,307484	3,407121
16	2,96376	2,607237	3,433445	3,326959	3,309613
17	2,54743	2,571744	3,323073	3,275589	3,396003
18	2,453872	2,771046	2,95969	3,251519	3,437137
19	2,629859	3,254276	3,011304	3,575886	3,478856
20	2,506527	2,958603	2,943448	3,374325	3,552523
40	2,863669	3,144051	2,862126	3,180316	3,231958
60	2,713903	3,071705	3,212242	3,405068	2,712919
80	2,605419	3,356775	2,533432	3,372223	2,863092

19 lentelė. Maksimalios reikšmės paieška pagal laiką

	1E+08	1,5E+08	2E+08	2,5E+08	3E+08
1	0,340622	0,510072	0,67689	0,861077	1,02923
2	0,192122	0,275391	0,351981	0,452066	0,557344
3	0,128228	0,195676	0,282629	0,330994	0,388697
4	0,102881	0,154495	0,205397	0,249765	0,307524
5	0,12214	0,148075	0,204213	0,265081	0,285228
6	0,12619	0,142871	0,178687	0,245235	0,286652
7	0,141527	0,176821	0,216599	0,249572	0,242867
8	0,103963	0,155742	0,205788	0,301018	0,278152
9	0,100647	0,143405	0,189067	0,246914	0,274373
10	0,125741	0,179652	0,242515	0,257283	0,302632
11	0,125117	0,123225	0,215719	0,274056	0,302838
12	0,110743	0,150193	0,200998	0,264242	0,306641
13	0,132177	0,189881	0,224416	0,254135	0,277491
14	0,116543	0,175384	0,225371	0,273382	0,269971
15	0,118106	0,177049	0,171448	0,260342	0,302082
16	0,114929	0,195637	0,197146	0,258818	0,310982
17	0,133712	0,198337	0,203694	0,262877	0,303071
18	0,13881	0,184072	0,228703	0,264823	0,299444
19	0,129521	0,156739	0,224783	0,240801	0,295853
20	0,135894	0,172403	0,229965	0,255185	0,289718
40	0,118946	0,162234	0,236499	0,270752	0,318454

60	0,12551	0,166055	0,210722	0,252881	0,379381
80	0,130736	0,151953	0,267183	0,255344	0,359482

## 10 Priedas. OpenMP matricų daugybos diagramų duomenys

20 lentelė. Matricų daugybos efektyvumo koeficientas

	100	200	300	400	500	600	700	800	900	1000
1	1	1	1	1	1	1	1	1	1	1
2	0,8867 25	1,1833 93	0,9620 87	0,8739 33	0,9116 86	1,0439 34	0,9641 3	0,9740 72	0,9079 94	0,9399 92
3	0,6247 93	1,0086 38	0,8023 75	0,5535 17	0,5736 24	0,8306 08	0,7970 09	0,8528 45	0,8682 2	0,8214 31
4	0,3933 93	0,5860 28	0,5012 24	0,4698 8	0,4628 52	0,6997 59	0,5395 39	0,6759 22	0,6770 44	0,7385 69
5	0,3200 83	0,5576 54	0,4591 57	0,3927 8	0,4080 91	0,4935 18	0,4460 75	0,5678 71	0,5707 46	0,6384 51
6	0,3068 24	0,5452 45	0,4763 72	0,4139 09	0,4159 53	0,4953 43	0,4503 09	0,5650 16	0,5877 94	0,6289 68
7	0,1900 46	0,4569 56	0,4721 96	0,4052 52	0,4074 21	0,4910 71	0,4588 16	0,5590 67	0,5743 39	0,6239 57
8	0,1106 66	0,5215 63	0,4822 3	0,3866 56	0,3938 16	0,4284 44	0,4441 36	0,5289 68	0,5596 75	0,5895 25
9	0,0573 79	0,2337 01	0,2518 08	0,2298 65	0,1716 53	0,2792 92	0,2215 31	0,2873 1	0,3197 71	0,3413 8
10	0,0676 57	0,2915 83	0,2501 05	0,2373 2	0,2272 83	0,2793 59	0,2756 76	0,3061 62	0,3033	0,3332 38
11	0,0549 18	0,2017 54	0,2412 39	0,2255 52	0,2125 16	0,2319 89	0,2223 34	0,2393 96	0,1739 02	0,2808 16
12	0,0422 74	0,1364 54	0,1517 46	0,1187 68	0,1428 71	0,1624 85	0,1557 14	0,1801 04	0,1849 82	0,1935 6
13	0,0328 86	0,1550 37	0,1423 53	0,1190 69	0,1200 48	0,1483 62	0,1211 28	0,1498 34	0,1752 08	0,1900 35
14	0,0262 01	0,1640 93	0,1347 13	0,1172 52	0,1084 06	0,1908 61	0,1429 17	0,1734 71	0,1753 47	0,1680 71
15	0,0090 87	0,1522 56	0,1342 28	0,1225 54	0,1191 31	0,1487 85	0,1432 59	0,1766 56	0,1721 9	0,1867 66
16	0,0162 53	0,1437 02	0,0896 29	0,1194 54	0,1230 16	0,1434 18	0,1459 78	0,1674 9	0,1704 93	0,1832 26
17	0,0187 73	0,1375 41	0,1343 11	0,0651 32	0,1082 77	0,1144 41	0,1086 55	0,1569 87	0,1404 83	0,1813 1
18	0,0178 76	0,1170 9	0,1240 05	0,1146 98	0,1073 63	0,1289 51	0,1097 85	0,1629 9	0,1431 2	0,1400 45
19	0,0157 16	0,1223 74	0,1074 37	0,0920 55	0,0872 73	0,1139 5	0,0981 22	0,1093 71	0,1062 99	0,1754 45
20	0,0136 25	0,1133 51	0,0948 57	0,1089 93	0,0944 04	0,1176 41	0,1150 13	0,1376 94	0,1422 58	0,1401 47
21	0,0023 75	0,0117 24	0,0374 22	0,0420 73	0,0375 16	0,0455 29	0,0420 4	0,0491 76	0,0495 56	0,0471 88
22	0,0027 2	0,0241 85	0,0272 12	0,0301 97	0,0303 73	0,0379 66	0,0400 9	0,0440 65	0,0507 63	0,0402 59
23	0,0090 76	0,0280 17	0,0311 29	0,0253 21	0,0295 1	0,0285 02	0,0282 03	0,0338 25	0,0339 42	0,0379 47

**21 lentelė.** Matricų daugybos spartinimo koeficientas

	100	200	300	400	500	600	700	800	900	1000
1	1	1	1	1	1	1	1	1	1	1
2	1,7734 5	2,3667 86	1,9241 74	1,7478 65	1,8233 71	2,0878 67	1,9282 61	1,9481 44	1,8159 88	1,8799 84
3	1,8743 78	3,0259 14	2,4071 26	1,6605 52	1,7208 72	2,4918 24	2,3910 26	2,5585 34	2,6046 61	2,4642 93
4	1,5735 7	2,3441 11	2,0048 97	1,8795 19	1,8514 06	2,7990 37	2,1581 58	2,7036 86	2,7081 77	2,9542 76
5	1,6004 15	2,7882 68	2,2957 85	1,9638 98	2,0404 55	2,4675 92	2,2303 76	2,8393 54	2,8537 28	3,1922 57
6	1,8409 41	3,2714 71	2,8582 3	2,4834 54	2,4957 18	2,9720 59	2,7018 53	3,3900 93	3,5267 62	3,7738 1
7	1,3303 25	3,1986 9	3,3053 69	2,8367 67	2,8519 5	3,4375	3,2117 09	3,9134 69	4,0203 75	4,3676 97
8	0,8853 3	4,1725 01	3,8578 41	3,0932 48	3,1505 3	3,4275 51	3,5530 86	4,2317 46	4,4774 04	4,7161 97
9	0,5164 07	2,1033 07	2,2662 7	2,0687 87	1,5448 8	2,5136 29	1,9937 81	2,5857 9	2,8779 43	3,0724 19
10	0,6765 74	2,9158 29	2,5010 54	2,3732 01	2,2728 34	2,7935 87	2,7567 6	3,0616 23	3,0329 97	3,3323 83
11	0,6040 96	2,2192 99	2,6536 3	2,4810 72	2,3376 77	2,5518 77	2,4456 79	2,6333 57	1,9129 26	3,0889 8
12	0,5072 93	1,6374 45	1,8209 58	1,4252 19	1,7144 5	1,9498 25	1,8685 68	2,1612 52	2,2197 87	2,3227 22
13	0,4275 2	2,0154 85	1,8505 86	1,5479 03	1,5606 29	1,9287 09	1,5746 62	1,9478 48	2,2776 99	2,4704 52
14	0,3668 14	2,2973 05	1,8859 87	1,6415 26	1,5176 86	2,6720 49	2,0008 33	2,4285 96	2,4548 54	2,3529 97
15	0,1363 11	2,2838 41	2,0134 25	1,8383 06	1,7869 71	2,2317 75	2,1488 79	2,6498 35	2,5828 57	2,8014 97
16	0,2600 47	2,2992 27	1,4340 65	1,9112 65	1,9682 6	2,2946 85	2,3356 52	2,6798 33	2,7278 82	2,9316 2
17	0,3191 42	2,3381 94	2,2832 8	1,1072 43	1,8407 01	1,9455 03	1,8471 37	2,6687 76	2,3882 03	3,0822 64
18	0,3217 63	2,1076 19	2,2320 9	2,0645 68	1,9325 35	2,3211 26	1,9761 31	2,9338 15	2,5761 67	2,5208 01
19	0,2986 04	2,3251 05	2,0413 02	1,7490 54	1,6581 92	2,1650 59	1,8643 22	2,0780 58	2,0196 8	3,3334 61
20	0,2725 05	2,2670 28	1,8971 32	2,1798 58	1,8880 86	2,3528 19	2,3002 63	2,7538 73	2,8451 51	2,8029 36
21	0,0949 92	0,4689 72	1,4968 78	1,6829 12	1,5006 54	1,8211 55	1,6815 92	1,9670 32	1,9822 29	1,8875 14
22	0,1632 07	1,4510 99	1,6327 16	1,8118 28	1,8223 95	2,2779 81	2,4053 85	2,6438 83	3,0457 51	2,4155 2
23	0,7260 79	2,2413 97	2,4902 81	2,0256 47	2,3608 34	2,2801 49	2,2562	2,7060 06	2,7153 31	3,0357 55

**22 lentelė.** Matricų daugybos laikas pagal matricos dydį

	100	200	300	400	500	600	700	800	900	1000
1	0,0063 55	0,0579 87	0,1821 85	0,4474 29	1,0419 4	2,0891 2	3,3886 1	6,403 14	10,42 25	16,48 74
2	0,0035 83	0,0245	0,0946 82	0,2559 86	0,5714 36	1,0006	1,7573 4	3,286 79	5,739 3	8,769 97
3	0,0033 9	0,0191 63	0,0756 86	0,2694 46	0,6054 72	0,8383 9	1,4172 2	2,502 66	4,001 48	6,690 52
4	0,0040 39	0,0247 37	0,0908 7	0,2380 55	0,5627 83	0,7463 71	1,5701 4	2,368 3	3,848 53	5,580 86
5	0,0039 71	0,0207 97	0,0793 56	0,2278 27	0,5106 41	0,8466 23	1,5193	2,255 14	3,652 24	5,164 81
6	0,0034 52	0,0177 25	0,0637 41	0,1801 64	0,4174 91	0,7029 2	1,2541 8	1,888 78	2,955 26	4,368 9
7	0,0047 77	0,0181 28	0,0551 18	0,1577 25	0,3653 43	0,6077 44	1,0550 8	1,636 18	2,592 42	3,774 85
8	0,0071 78	0,0138 97	0,0472 25	0,1446 47	0,3307 19	0,6095 08	0,9537 09	1,513 12	2,327 8	3,495 91
9	0,0123 06	0,0275 69	0,0803 9	0,2162 76	0,6744 47	0,8311 17	1,6995 9	2,476 28	3,621 51	5,366 26
10	0,0093 93	0,0198 87	0,0728 43	0,1885 34	0,4584 32	0,7478 27	1,2292	2,091 42	3,436 37	4,947 63
11	0,0105 2	0,0261 28	0,0686 55	0,1803 37	0,4457 16	0,8186 6	1,3855 5	2,431 55	5,448 46	5,337 49
12	0,0125 27	0,0354 13	0,1000 49	0,3139 37	0,6077 4	1,0714 4	1,8134 8	2,962 7	4,695 27	7,098 31
13	0,0148 65	0,0287 71	0,0984 47	0,2890 55	0,6676 41	1,0831 7	2,1519 6	3,287 29	4,575 89	6,673 84
14	0,0173 4	0,0252 41	0,0965 99	0,2725 69	0,6865 32	0,7818 42	1,6936	2,636 56	4,245 67	7,006 98
15	0,0466 5	0,0253 9	0,0904 85	0,2433 92	0,5830 76	0,9360 8	1,5769 2	2,416 43	4,035 26	5,885 21
16	0,0244 6	0,0252 2	0,1270 41	0,2341 01	0,5293 71	0,9104 17	1,4508 2	2,389 38	3,820 73	5,623 99
17	0,0199 7	0,0248 13	0,0797 91	0,4040 93	0,5660 56	1,0738 2	1,8345 2	2,399 28	4,364 16	5,349 12
18	0,0197 8	0,0275 5	0,0816 13	0,2167 18	0,5391 57	0,9000 46	1,7147 7	2,182 53	4,045 74	6,540 54
19	0,0212 9	0,0249 39	0,0892 49	0,2558 12	0,6283 59	0,9649 25	1,8176 1	3,081 31	5,160 47	4,946 03
20	0,0233 0	0,0255 2	0,0960 32	0,2052 56	0,5518 5	0,8879 22	1,4731 4	2,325 14	3,663 25	5,882 19
21	0,0669 0	0,1236 46	0,1217 1	0,2658 66	0,6943 24	1,1471 4	2,0151 2	3,255 23	5,257 97	8,734 98
22	0,0389 0	0,0399 6	0,1115 84	0,2469 49	0,5717 42	0,9170 93	1,4087 6	2,421 87	3,421 98	6,825 61
23	0,0087 0	0,0258 71	0,0731 58	0,2208 82	0,4413 44	0,9162 21	1,5019 1	2,366 27	3,838 39	5,431 07

## 11 Priedas. OpenMP $\pi$ skaičiavimo diagramų duomenys

23 lentelė.  $\pi$  skaičiavimo efektyvumo koeficientas

	1000000	2000000	3000000	4000000	5000000	6000000	7000000	8000000	9000000	10000000
										0

1	1	1	1	1	1	1	1	1	1	1
2	0,9836 13	1,0225 82	0,9932 22	0,9881 23	0,9763 88	0,9590 53	0,9513 74	0,9218 59	1,0214 7	0,9911 16
3	0,8941 28	0,9435 11	0,9210 34	0,8612 98	0,9424 74	0,9492 82	0,9639 64	0,9050 69	0,9533 81	0,9422 45
4	0,8741 96	0,9000 61	0,9375 69	0,8393 27	0,8547 56	0,8967 26	0,8965 38	0,8700 29	0,9431 25	0,9053 57
5	0,7429 07	0,7914 24	0,8165 5	0,7929 85	0,7757	0,7649 74	0,7799 36	0,8036 3	0,7992 13	0,8088 33
6	0,7412 86	0,7915 6	0,8064 31	0,7976 28	0,7699 83	0,7610 01	0,7747 25	0,7717 52	0,7959 13	0,7649 7
7	0,7339 33	0,7721 1	0,7981 96	0,7984 32	0,7651 45	0,7599 74	0,7760 62	0,7688 72	0,8021 84	0,7681 67
8	0,6547 69	0,7659 14	0,7919 49	0,7585 93	0,7627 14	0,7422 29	0,7678 99	0,7698 53	0,7944 64	0,7234 58
9	0,3746 39	0,3985 33	0,4179 85	0,4142 43	0,4041 36	0,4042 72	0,4130 43	0,4156 49	0,4158 3	0,2845 28
10	0,3839 32	0,3955 29	0,4050 83	0,3982 93	0,3823 96	0,3792 44	0,2588	0,2353 34	0,3564 11	0,3714 74
11	0,2437 03	0,4233 75	0,4344 91	0,4265 46	0,2218 81	0,4030 92	0,4134 14	0,4162 64	0,4166 54	0,4132 75
12	0,2624 55	0,2907 91	0,2988 78	0,2947 23	0,2830 48	0,2329 11	0,1774 72	0,2865 27	0,1149 51	0,3596 45
13	0,3415 27	0,3884 82	0,0839 62	0,3590 09	0,2962 83	0,1893 18	0,3894 71	0,2472 72	0,3932 98	0,3115 92
14	0,2582 24	0,2633 62	0,2991 82	0,2607 21	0,2835 94	0,2828 82	0,2864 38	0,2864 67	0,1900 34	0,1984 22
15	0,2417 86	0,1887 35	0,2835 44	0,2642 52	0,2702 81	0,2684 2	0,2702 53	0,2673 37	0,2752 57	0,2714 97
16	0,2372 77	0,2768 86	0,2827 86	0,2792 17	0,2653 27	0,2674 96	0,2719 08	0,2710 6	0,2798 88	0,2702 53
17	0,1925 47	0,2222 38	0,0702 38	0,0765 08	0,1525 92	0,2152 55	0,1985 44	0,2687 8	0,2801 3	0,2363 65
18	0,2244 96	0,2769 52	0,2806 29	0,2788 22	0,2699 42	0,2675 66	0,2714 29	0,1790 02	0,2802 27	0,2707 48
19	0,1888 58	0,1162 36	0,2066 98	0,2298 35	0,1301 56	0,0978 01	0,2670 24	0,2627 18	0,2781 23	0,2690 81
20	0,2048 63	0,2631 66	0,2706 5	0,1929 85	0,2577 45	0,2550 03	0,2589 05	0,2579 01	0,2662 57	0,2591 47
40	0,0721 48	0,1225 78	0,1341 84	0,1295 44	0,1290 56	0,1249 5	0,1293 18	0,1292 74	0,1326 46	0,1321 61
60	0,0505 26	0,0901 74	0,0911 64	0,0906 51	0,0875 13	0,0871 6	0,0881 7	0,0880 16	0,0913 24	0,0885 75
80	0,0375 11	0,0691 2	0,0650 66	0,0711 51	0,0275 29	0,0516 47	0,0691 9	0,0696 44	0,0707 17	0,0700 24
10	0,0161 0	0,0504 75	0,0565 49	0,0558 31	0,0558 69	0,0544 01	0,0542 14	0,0549 99	0,0547 85	0,0570 04
12	0,0473 0	0,0468 08	0,0477 8	0,0470 56	0,0470 32	0,0457 25	0,0448 48	0,0460 41	0,0458 03	0,0471 7
14	0,0401 0	0,0394 15	0,0409 82	0,0359 86	0,0392 74	0,0387 48	0,0358 17	0,0358 88	0,0405 83	0,0394 32
16	0,0354 0	0,0349 67	0,0353 17	0,0307 93	0,0333 86	0,0334 68	0,0345 65	0,0326 36	0,0355 69	0,0345 43

24 lentelė. π skaičiavimo spartinimo koeficientas

	1000000	2000000	3000000	4000000	5000000	6000000	7000000	8000000	9000000	10000000
										0
1	1	1	1	1	1	1	1	1	1	1
2	1,9672 26	2,0451 64	1,9864 44	1,9762 46	1,9527 76	1,9181 05	1,9027 47	1,8437 19	2,0429 41	1,9822 31
3	2,6823 85	2,8305 34	2,7631 03	2,5838 95	2,8274 21	2,8478 47	2,8918 92	2,7152 07	2,8601 44	2,8267 34
4	3,4967 82	3,6002 43	3,7502 78	3,3573 06	3,4190 26	3,5869 04	3,5861 53	3,4801 14	3,7724 99	3,6214 27
5	3,7145 35	3,9571 19	4,0827 52	3,9649 25	3,8784 99	3,8248 71	3,8996 79	4,0181 51	3,9960 63	4,0441 66
6	4,4477 16	4,7493 62	4,8385 85	4,7857 65	4,6198 96	4,5660 07	4,6483 52	4,6305 1	4,7754 79	4,5898 19
7	5,1375 33	5,4047 68	5,5873 72	5,5890 27	5,3560 14	5,3198 15	5,4324 32	5,3821 04	5,6152 89	5,3771 67
8	5,2381 56	6,1273 15	6,3355 91	6,0687 46	6,1017 14	5,9378 36	6,1431 89	6,1588 2	6,3557 15	5,7876 67
9	3,3717 53	3,5867 95	3,7618 66	3,7281 87	3,6372 21	3,6384 47	3,7173 83	3,7408 41	3,7424 71	2,5607 56
10	3,8393 21	3,9552 95	4,0508 31	3,9829 3	3,8239 6	3,7924 39	2,5879 97	2,3533 45	3,5641 14	3,7147 37
11	2,6807 32	4,6571 24	4,7794 06	4,6920 05	2,4406 89	4,4340 1	4,5475 55	4,5789 06	4,5831 98	4,5460 21
12	3,1494 55	3,4894 92	3,5865 3	3,5366 74	3,3965 82	2,7949 27	2,1296 62	3,4383 26	1,3794 1	4,3157 44
13	4,4398 5	5,0502 7	1,0915 07	4,6671 2	3,8516 76	2,4611 34	5,0631 18	3,2145 38	5,1128 8	4,0507
14	3,6151 4	3,6870 65	4,1885 42	3,6500 9	3,9703 22	3,9603 45	4,0101 31	4,0105 38	2,6604 71	2,7779 03
15	3,6267 96	2,8310 31	4,2531 6	3,9637 8	4,0542 21	4,0263 07	4,0537 91	4,0100 59	4,1288 6	4,0724 54
16	3,7964 34	4,4301 75	4,5245 77	4,4674 74	4,2452 35	4,2799 43	4,3505 25	4,3369 61	4,4782 12	4,3240 45
17	3,2733 06	3,7780 49	1,1940 5	1,3006 33	2,5940 68	3,6593 37	3,3752 44	4,5692 66	4,7622 14	4,0182 11
18	4,0409 25	4,9851 42	5,0513 17	5,0187 98	4,8589 59	4,8161 97	4,8857 21	3,2220 44	5,0440 84	4,8734 6
19	3,5883 06	2,2084 82	3,9272 7	4,3668 61	2,4729 73	1,8582 16	5,0734 62	4,9916 38	5,2843 45	5,1125 46
20	4,0972 54	5,2633 17	5,4129 93	3,8597 08	5,1548 92	5,1000 59	5,1781 07	5,1580 24	5,3251 42	5,1829 3
40	2,8859 31	4,9031 16	5,3673 57	5,1817 7	5,1622 55	4,9980 18	5,1727 26	5,1709 43	5,3058 25	5,2864 56
60	3,0315 31	5,4104 34	5,4698 48	5,4390 51	5,2507 99	5,2296 1	5,2902 03	5,2809 41	5,4794 2	5,3144 74
80	3,0008 6	5,5296 26	5,2053 06	5,6920 87	2,2022 88	4,1317 82	5,5352 25	5,5715 37	5,6573 33	5,6018 87
100	1,6174 0 75	5,0449 1	5,6531 4	5,5868 71	5,4400 57	5,4214 4	5,4998 56	5,4784 61	5,7004 01	5,5276 32
120	5,6769 0 87	5,6255 89	5,7307 66	5,6438 38	5,4870 04	5,3817 51	5,5248 64	5,4963 31	5,6603 88	5,4437 5

14 0	5,6192 96	5,5180 33	5,7374 21	5,0380 8	5,4983 28	5,4246 63	5,0144 49	5,0243 07	5,6816 7	5,5204 31
16 0	5,6715 55	5,5947 65	5,6507 11	4,9268 89	5,3417 96	5,3548 95	5,5304 5	5,2217	5,6911 06	5,5268 03

25 lentelė. π skaičiavimo laikas

	1000000	2000000	3000000	4000000	5000000	6000000	7000000	8000000	9000000	1000000 0
1	0,0334 87	0,0660 64	0,1012 89	0,1332 29	0,1611 78	0,1916 49	0,2269 73	0,2584 82	0,3008 7	0,3241 84
2	0,0170 22	0,0323 03	0,0509 9	0,0674 15	0,0825 38	0,0999 16	0,1192 87	0,1401 96	0,1472 73	0,1635 45
3	0,0124 84	0,0233 4	0,0366 58	0,0515 61	0,0570 05	0,0672 96	0,0784 86	0,0951 98	0,1051 94	0,1146 85
4	0,0095 76	0,0183 5	0,0270 08	0,0396 83	0,0471 42	0,0534 3	0,0632 92	0,0742 74	0,0797 54	0,0895 18
5	0,0090 15	0,0166 95	0,0248 09	0,0336 02	0,0415 57	0,0501 06	0,0582 03	0,0643 29	0,0752 92	0,0801 61
6	0,0075 29	0,0139 1	0,0209 34	0,0278 39	0,0348 88	0,0419 73	0,0488 29	0,0558 22	0,0630 03	0,0706 31
7	0,0065 18	0,0122 23	0,0181 28	0,0238 38	0,0300 93	0,0360 26	0,0417 81	0,0480 26	0,0535 81	0,0602 89
8	0,0063 93	0,0107 82	0,0159 87	0,0219 53	0,0264 15	0,0322 76	0,0369 47	0,0419 69	0,0473 39	0,0560 13
9	0,0099 32	0,0184 19	0,0269 25	0,0357 36	0,0443 14	0,0526 73	0,0610 57	0,0690 97	0,0803 93	0,1265 97
10	0,0087 22	0,0167 03	0,0250 05	0,0334 5	0,0421 5	0,0505 35	0,0877 02	0,1098 36	0,0844 17	0,0872 7
11	0,0124 92	0,0141 86	0,0211 93	0,0283 95	0,0660 38	0,0432 23	0,0499 11	0,0564 51	0,0656 46	0,0713 12
12	0,0106 33	0,0189 32	0,0282 42	0,0376 71	0,0474 53	0,0685 7	0,1065 77	0,0751 77	0,2181 15	0,0751 17
13	0,0075 42	0,0130 81	0,0927 97	0,0285 46	0,0418 46	0,0778 7	0,0448 29	0,0804 1	0,0588 46	0,0800 32
14	0,0092 63	0,0179 18	0,0241 82	0,0365	0,0405 96	0,0483 92	0,0566	0,0644 51	0,1130 89	0,1167 01
15	0,0092 33	0,0233 36	0,0238 15	0,0336 12	0,0397 56	0,0475 99	0,0559 9	0,0644 58	0,0728 7	0,0796 04
16	0,0088 21	0,0149 12	0,0223 86	0,0298 22	0,0379 67	0,0447 78	0,0521 71	0,0596	0,0671 85	0,0749 72
17	0,0102 3	0,0174 86	0,0848 28	0,1024 34	0,0621 33	0,0523 73	0,0672 46	0,0565 7	0,0631 79	0,0806 79
18	0,0082 87	0,0132 52	0,0200 52	0,0265 46	0,0331 71	0,0397 93	0,0464 56	0,0802 23	0,0596 48	0,0665 2
19	0,0093 32	0,0299 14	0,0257 91	0,0305 09	0,0651 76	0,1031 36	0,0447 37	0,0517 83	0,0569 36	0,0634 1
20	0,0081 73	0,0125 52	0,0187 12	0,0345 18	0,0312 67	0,0375 78	0,0438 33	0,0501 13	0,0565	0,0625 48
40	0,0116 04	0,0134 74	0,0188 71	0,0257 11	0,0312 22	0,0383 45	0,0438 79	0,0499 87	0,0567 06	0,0613 24
60	0,0110 46	0,0122 11	0,0185 18	0,0244 95	0,0306 96	0,0366 47	0,0429 04	0,0489 46	0,0549 09	0,061

80	0,0111 59	0,0119 47	0,0194 59	0,0234 06	0,0731 87	0,0463 84	0,0410 05	0,0463 93	0,0531 82	0,0578 71
10	0,0207 03	0,0130 95	0,0179 17	0,0238 47	0,0296 28	0,0353 5	0,0412 69	0,0471 82	0,0527 81	0,0586 48
12	0,0058 99	0,0117 44	0,0176 75	0,0236 06	0,0293 75	0,0356 11	0,0410 82	0,0470 28	0,0531 54	0,0595 52
14	0,0059 59	0,0119 72	0,0176 54	0,0264 44	0,0293 14	0,0353 29	0,0452 64	0,0514 46	0,0529 55	0,0587 24
16	0,0059 04	0,0118 08	0,0179 25	0,0270 41	0,0301 73	0,0357 9	0,0410 41	0,0495 02	0,0528 67	0,0586 57

## 12 Priedas. OpenMP rikiavimo diagramų duomenys

26 lentelė. Bitonic efektyvumo koeficientas

	32768	65536	131072	262144	524288	1048576	2097152	4194304
1	1	1	1	1	1	1	1	1
2	1,053491 844	0,982479 783	0,926954 41	0,966234 37	0,94819 67	0,926669 59	0,846726 886	0,921056 97
4	0,856022 643	0,808489 037	0,736903 54	0,835886 56	0,80816 03	0,787724 74	0,826810 855	0,822034 15

27 lentelė. Bitonic rikiavimo spartinimo koeficientas

	32768	65536	131072	262144	524288	1048576	2097152	4194304
1	1	1	1	1	1	1	1	1
2	2,106983 688	1,964959 566	1,853908 83	1,932468 73	1,89639 35	1,853339 18	1,693453 772	1,842113 94
4	3,424090 572	3,233956 149	2,947614 16	3,343546 22	3,23264 13	3,150898 98	3,307243 419	3,288136 59

28 lentelė. Bitonic rikiavimo laikas

	32768	65536	131072	262144	524288	1048576	2097152	4194304
1	0,0774858	0,16564	0,347226	0,756805	1,6096	3,46643	7,3903	15,6513
2	0,0367757	0,0842969	0,187294	0,391626	0,848769	1,87037	4,36404	8,49638
4	0,0226296	0,051219	0,117799	0,226348	0,497921	1,10014	2,23458	4,75993

## 13 Priedas. CUDA maksimalios reikšmės paieškos diagramų duomenys

29 lentelė. Maksimalios reikšmės efektyvumo koeficientas

	1E+08	1,5E+08	2E+08	2,5E+08	3E+08
1, 1	1	1	1	1	1
1, 32	0,457991	0,457143	0,457178	0,4583	0,458015
1, 64	0,45709	0,457068	0,457078	0,457092	0,457082
1, 128	0,455877	0,455948	0,455945	0,455952	0,455988
1, 256	0,453919	0,453978	0,453955	0,45399	0,453985
1, 512	0,449084	0,449153	0,449128	0,44916	0,449172
1, 1024	0,395475	0,395416	0,395666	0,395464	0,395059
32, 1	0,225023	0,224742	0,224972	0,224754	0,225057
32, 32	0,226268	0,226287	0,226279	0,226307	0,226286
32, 64	0,222347	0,222471	0,22239	0,222408	0,222398
32, 128	0,19474	0,194894	0,194828	0,194868	0,195058

32, 256	0,113566	0,113919	0,113857	0,114107	0,113987
32, 512	0,057103	0,057176	0,057231	0,05721	0,057051
32, 1024	0,024357	0,024422	0,024472	0,024514	0,024502
64, 1	0,112422	0,112506	0,112437	0,112424	0,112475
64, 32	0,113071	0,112861	0,113079	0,112941	0,113062
64, 64	0,111053	0,111066	0,111087	0,111102	0,111106
64, 128	0,097321	0,097262	0,097434	0,097419	0,097418
64, 256	0,056839	0,056957	0,057019	0,057026	0,057056
64, 512	0,029575	0,029631	0,029694	0,029722	0,029757
64, 1024	0,012045	0,01213	0,012171	0,012197	0,012161
128, 1	0,056225	0,056231	0,05625	0,056228	0,056273
128, 32	0,056459	0,056471	0,05646	0,056411	0,056459
128, 64	0,05538	0,055412	0,055429	0,055437	0,055456
128, 128	0,048778	0,04881	0,048875	0,048859	0,048755
128, 256	0,029423	0,029542	0,029575	0,029583	0,029628
128, 512	0,01481	0,014895	0,014939	0,014974	0,014998
128, 1024	0,005902	0,005979	0,006015	0,006036	0,005819
256, 1	0,028105	0,028094	0,02811	0,028098	0,028098
256, 32	0,028147	0,02819	0,028202	0,028154	0,028048
256, 64	0,027587	0,027622	0,027591	0,027605	0,027599
256, 128	0,024406	0,024464	0,024499	0,024501	0,024474
256, 256	0,014756	0,014849	0,014896	0,014926	0,014985
256, 512	0,007292	0,007367	0,007415	0,007433	0,007379
256, 1024	0,002842	0,002913	0,002947	0,00297	0,002591
512, 1	0,01406	0,014059	0,01405	0,014038	0,014048
512, 32	0,014046	0,014046	0,01402	0,014018	0,013809
512, 64	0,013606	0,01365	0,013638	0,013659	0,013386
512, 128	0,012289	0,012365	0,012389	0,012422	0,012319
512, 256	0,007264	0,007341	0,007377	0,007404	0,007368
512, 512	0,003529	0,003602	0,003644	0,003663	0,003569
512, 1024	0,001331	0,001393	0,001424	0,001445	0,001043
1024, 1	0,007029	0,007029	0,007021	0,007026	0,007022
1024, 32	0,006916	0,006923	0,006929	0,006943	0,006727
1024, 64	0,006772	0,006798	0,006808	0,006815	0,006458
1024, 128	0,006069	0,006133	0,006172	0,006192	0,005888
1024, 256	0,003523	0,003606	0,003633	0,00367	0,003573
1024, 512	0,001667	0,001733	0,001769	0,001793	0,001567
1024, 1024	0,00059	0,00064	0,000668	0,000686	0,000697

**30 lentelė.** Maksimalios reikšmės spartinimo koeficientas

Giju konfig.			1E+08	1,5E+08	2E+08	2,5E+08	300000000
1	1	1, 1	1	1	1	1	1
1	32	1, 32	14,6557	14,62857	14,62968	14,66559	14,65649179
1	64	1, 64	29,25374	29,25233	29,25297	29,25388	29,25322361
1	128	1, 128	58,35229	58,36129	58,36098	58,36192	58,36650333
1	256	1, 256	116,2033	116,2184	116,2124	116,2215	116,2202729
1	512	1, 512	229,9311	229,9664	229,9537	229,9697	229,9758394

1	1024	1, 1024	404,9661	404,9058	405,1623	404,9547	404,5401587
32	1	32, 1	7,200729	7,191753	7,19909	7,192143	7,201810628
32	32	32, 32	231,6985	231,7183	231,7097	231,7379	231,7166583
32	64	32, 64	455,3657	455,6209	455,4554	455,4916	455,4720919
32	128	32, 128	797,6564	798,2848	798,0172	798,1801	798,9580318
32	256	32, 256	930,3336	933,2223	932,7173	934,7668	933,7821153
32	512	32, 512	935,5789	936,7646	937,6658	937,3217	934,7307113
32	1024	32, 1024	798,1147	800,274	801,9066	803,2667	802,8911528
64	1	64, 1	7,195013	7,200401	7,195994	7,195124	7,198383206
64	32	64, 32	231,5702	231,1401	231,5851	231,3034	231,5504713
64	64	64, 64	454,8711	454,9264	455,0106	455,0748	455,0891293
64	128	64, 128	797,2503	796,7687	798,1764	798,0555	798,0514177
64	256	64, 256	931,2446	933,1782	934,2064	934,3179	934,8019337
64	512	64, 512	969,1037	970,943	973,0044	973,9413	975,087648
64	1024	64, 1024	789,3949	794,9571	797,6687	799,3658	797,0087629
128	1	128, 1	7,196786	7,197538	7,200006	7,197206	7,202938164
128	32	128, 32	231,2573	231,3066	231,2598	231,06	231,2580374
128	64	128, 64	453,669	453,9351	454,0731	454,1427	454,2914861
128	128	128, 128	799,1753	799,7106	800,7674	800,4994	798,7961918
128	256	128, 256	964,1255	968,0437	969,1204	969,3897	970,8522742
128	512	128, 512	970,5809	976,1361	979,0245	981,3287	982,9346675
128	1024	128, 1024	773,5928	783,6473	788,3519	791,098	762,725797
256	1	256, 1	7,194788	7,192147	7,196205	7,193043	7,193177895
256	32	256, 32	230,5764	230,9293	231,0341	230,6401	229,7652738
256	64	256, 64	451,982	452,5509	452,0542	452,2765	452,1743404
256	128	256, 128	799,7432	801,6347	802,7952	802,8602	801,9755956
256	256	256, 256	967,0209	973,1182	976,2369	978,2218	982,0516925
256	512	256, 512	955,7162	965,5532	971,9637	974,2909	967,2208693
256	1024	256, 1024	744,9908	763,4953	772,5951	778,633	679,1905026
512	1	512, 1	7,198869	7,198167	7,193673	7,187255	7,192568756
512	32	512, 32	230,1237	230,1246	229,7097	229,6706	226,2437505
512	64	512, 64	445,8336	447,2823	446,8974	447,5904	438,618235
512	128	512, 128	805,3606	810,3798	811,9093	814,1194	807,3174477
512	256	512, 256	952,0524	962,1742	966,927	970,5	965,7657658
512	512	512, 512	925,0189	944,3678	955,3169	960,2684	935,4671999
512	1024	512, 1024	697,9002	730,3977	746,5051	757,736	546,7383662
1024	1	1024, 1	7,197659	7,19782	7,189739	7,194786	7,19092928
1024	32	1024, 32	226,6183	226,8659	227,0415	227,4918	220,4286156
1024	64	1024, 64	443,7892	445,5101	446,1552	446,641	423,2054702
1024	128	1024, 128	795,4308	803,8383	808,9675	811,5416	771,7890469
1024	256	1024, 256	923,6122	945,2377	952,4787	962,1562	936,5701393
1024	512	1024, 512	873,8657	908,8298	927,4584	939,9174	821,5659576
1024	1024	1024, 1024	618,3104	670,8365	700,1341	719,0906	731,1882073

**31 lentelė.** Maksimalios reikšmės paieška pagal laiką (laikas < 2s)

	1E+08	1,5E+08	2E+08	2,5E+08	3E+08
1, 1	36,8053	55,2085	73,6107	92,0134	110,416

1, 128	0,630743	0,945978	1,2613	1,5766	1,89177
1, 256	0,316732	0,475041	0,633415	0,791707	0,950058
1, 512	0,160071	0,240072	0,320111	0,400111	0,48012
1, 1024	0,090885	0,136349	0,181682	0,227219	0,272942
32, 32	0,15885	0,238257	0,317685	0,397058	0,476513
32, 64	0,080826	0,121172	0,16162	0,202009	0,242421
32, 128	0,046142	0,069159	0,092242	0,115279	0,1382
32, 256	0,039561	0,059159	0,078921	0,098435	0,118246
32, 512	0,03934	0,058935	0,078504	0,098166	0,118126
32, 1024	0,046115	0,068987	0,091795	0,114549	0,137523
64, 32	0,158938	0,238853	0,317856	0,397804	0,476855
64, 64	0,080914	0,121357	0,161778	0,202194	0,242625
64, 128	0,046165	0,069291	0,092224	0,115297	0,138357
64, 256	0,039523	0,059162	0,078795	0,098482	0,118117
64, 512	0,037979	0,056861	0,075653	0,094475	0,113237
64, 1024	0,046625	0,069448	0,092282	0,115108	0,138538
128, 32	0,159153	0,238681	0,318303	0,398223	0,477458
128, 64	0,081128	0,121622	0,162112	0,202609	0,243051
128, 128	0,046054	0,069036	0,091925	0,114945	0,138228
128, 256	0,038175	0,057031	0,075956	0,094919	0,113731
128, 512	0,037921	0,056558	0,075188	0,093764	0,112333
128, 1024	0,047577	0,070451	0,093373	0,116311	0,144765
256, 32	0,159623	0,239071	0,318614	0,398948	0,48056
256, 64	0,081431	0,121994	0,162836	0,203445	0,244189
256, 128	0,046021	0,06887	0,091693	0,114607	0,13768
256, 256	0,038061	0,056734	0,075403	0,094062	0,112434
256, 512	0,038511	0,057178	0,075734	0,094441	0,114158
256, 1024	0,049404	0,07231	0,095277	0,118173	0,16257
512, 32	0,159937	0,239907	0,320451	0,400632	0,48804
512, 64	0,082554	0,123431	0,164715	0,205575	0,251736
512, 128	0,0457	0,068127	0,090664	0,113022	0,136769
512, 256	0,038659	0,057379	0,076129	0,09481	0,11433
512, 512	0,039789	0,058461	0,077054	0,095821	0,118033
512, 1024	0,052737	0,075587	0,098607	0,121432	0,201954
1024, 32	0,162411	0,243353	0,324217	0,404469	0,500915
1024, 64	0,082934	0,123922	0,164989	0,206012	0,260904
1024, 128	0,046271	0,068681	0,090993	0,113381	0,143065
1024, 256	0,039849	0,058407	0,077283	0,095633	0,117894
1024, 512	0,042118	0,060747	0,079368	0,097895	0,134397
1024, 1024	0,059526	0,082298	0,105138	0,127958	0,151009

**32 lentelė.** Maksimalios reikšmės paieška pagal laiką

	1E+08	1,5E+08	2E+08	2,5E+08	3E+08
1, 1	36,8053	55,2085	73,6107	92,0134	110,416
1, 32	2,51133	3,77402	5,0316	6,2741	7,53359
1, 64	1,25814	1,88732	2,51635	3,14534	3,77449
1, 128	0,630743	0,945978	1,2613	1,5766	1,89177

1, 256	0,316732	0,475041	0,633415	0,791707	0,950058
1, 512	0,160071	0,240072	0,320111	0,400111	0,48012
1, 1024	0,090885	0,136349	0,181682	0,227219	0,272942
32, 1	5,11133	7,67664	10,225	12,7936	15,3317
32, 32	0,15885	0,238257	0,317685	0,397058	0,476513
32, 64	0,080826	0,121172	0,16162	0,202009	0,242421
32, 128	0,046142	0,069159	0,092242	0,115279	0,1382
32, 256	0,039561	0,059159	0,078921	0,098435	0,118246
32, 512	0,03934	0,058935	0,078504	0,098166	0,118126
32, 1024	0,046115	0,068987	0,091795	0,114549	0,137523
64, 1	5,11539	7,66742	10,2294	12,7883	15,339
64, 32	0,158938	0,238853	0,317856	0,397804	0,476855
64, 64	0,080914	0,121357	0,161778	0,202194	0,242625
64, 128	0,046165	0,069291	0,092224	0,115297	0,138357
64, 256	0,039523	0,059162	0,078795	0,098482	0,118117
64, 512	0,037979	0,056861	0,075653	0,094475	0,113237
64, 1024	0,046625	0,069448	0,092282	0,115108	0,138538
128, 1	5,11413	7,67047	10,2237	12,7846	15,3293
128, 32	0,159153	0,238681	0,318303	0,398223	0,477458
128, 64	0,081128	0,121622	0,162112	0,202609	0,243051
128, 128	0,046054	0,069036	0,091925	0,114945	0,138228
128, 256	0,038175	0,057031	0,075956	0,094919	0,113731
128, 512	0,037921	0,056558	0,075188	0,093764	0,112333
128, 1024	0,047577	0,070451	0,093373	0,116311	0,144765
256, 1	5,11555	7,67622	10,2291	12,792	15,3501
256, 32	0,159623	0,239071	0,318614	0,398948	0,48056
256, 64	0,081431	0,121994	0,162836	0,203445	0,244189
256, 128	0,046021	0,06887	0,091693	0,114607	0,13768
256, 256	0,038061	0,056734	0,075403	0,094062	0,112434
256, 512	0,038511	0,057178	0,075734	0,094441	0,114158
256, 1024	0,049404	0,07231	0,095277	0,118173	0,16257
512, 1	5,11265	7,6698	10,2327	12,8023	15,3514
512, 32	0,159937	0,239907	0,320451	0,400632	0,48804
512, 64	0,082554	0,123431	0,164715	0,205575	0,251736
512, 128	0,0457	0,068127	0,090664	0,113022	0,136769
512, 256	0,038659	0,057379	0,076129	0,09481	0,11433
512, 512	0,039789	0,058461	0,077054	0,095821	0,118033
512, 1024	0,052737	0,075587	0,098607	0,121432	0,201954
1024, 1	5,11351	7,67017	10,2383	12,7889	15,3549
1024, 32	0,162411	0,243353	0,324217	0,404469	0,500915
1024, 64	0,082934	0,123922	0,164989	0,206012	0,260904
1024, 128	0,046271	0,068681	0,090993	0,113381	0,143065
1024, 256	0,039849	0,058407	0,077283	0,095633	0,117894
1024, 512	0,042118	0,060747	0,079368	0,097895	0,134397
1024, 1024	0,059526	0,082298	0,105138	0,127958	0,151009

## 14 Priedas. CUDA matricių daugybos diagramų duomenys

33 lentelė. Matricių daugybos efektyvumo koeficientas

	100	200	300	400	500
(1,1), (1,1)	1	1	1	1	1
(100,100), (1,1)	0,01	0,01	0,01	0,01	0,01
(100,50), (1,2)	0,0001	0,0001	0,0001	0,0001	0,0001
(100,25), (1,4)	0,001	0,001	0,001	0,001	0,001
(100,13), (1,8)	9,62E-05	9,62E-05	9,62E-05	9,62E-05	9,62E-05
(100,7), (1,16)	8,93E-05	8,93E-05	8,93E-05	8,93E-05	8,93E-05
(100,4), (1,32)	7,81E-05	7,81E-05	7,81E-05	7,81E-05	7,81E-05
(100,2), (1,64)	7,81E-05	7,81E-05	7,81E-05	7,81E-05	7,81E-05
(100,1), (1,128)	7,81E-05	7,81E-05	7,81E-05	7,81E-05	7,81E-05
(100,1), (1,256)	3,91E-05	3,91E-05	3,91E-05	3,91E-05	3,91E-05
(100,1), (1,512)	1,95E-05	1,95E-05	1,95E-05	1,95E-05	1,95E-05
(100,1), (1,1024)	9,77E-06	9,77E-06	9,77E-06	9,77E-06	9,77E-06
(50,100), (2,1)	0,0001	0,0001	0,0001	0,0001	0,0001
(50,50), (2,2)	0,0001	0,0001	0,0001	0,0001	0,0001
(50,25), (2,4)	0,0001	0,0001	0,0001	0,0001	0,0001
(50,13), (2,8)	9,62E-05	9,62E-05	9,62E-05	9,62E-05	9,62E-05
(50,7), (2,16)	8,93E-05	8,93E-05	8,93E-05	8,93E-05	8,93E-05
(50,4), (2,32)	7,81E-05	7,81E-05	7,81E-05	7,81E-05	7,81E-05
(50,2), (2,64)	7,81E-05	7,81E-05	7,81E-05	7,81E-05	7,81E-05
(50,1), (2,128)	7,81E-05	7,81E-05	7,81E-05	7,81E-05	7,81E-05
(50,1), (2,256)	3,91E-05	3,91E-05	3,91E-05	3,91E-05	3,91E-05
(50,1), (2,512)	1,95E-05	1,95E-05	1,95E-05	1,95E-05	1,95E-05
(25,100), (4,1)	0,001	0,001	0,001	0,001	0,001
(25,50), (4,2)	0,0001	0,0001	0,0001	0,0001	0,0001
(25,25), (4,4)	0,0001	0,0001	0,0001	0,0001	0,0001
(25,13), (4,8)	9,62E-05	9,62E-05	9,62E-05	9,62E-05	9,62E-05
(25,7), (4,16)	8,93E-05	8,93E-05	8,93E-05	8,93E-05	8,93E-05
(25,4), (4,32)	7,81E-05	7,81E-05	7,81E-05	7,81E-05	7,81E-05
(25,2), (4,64)	7,81E-05	7,81E-05	7,81E-05	7,81E-05	7,81E-05
(25,1), (4,128)	7,81E-05	7,81E-05	7,81E-05	7,81E-05	7,81E-05
(25,1), (4,256)	3,91E-05	3,91E-05	3,91E-05	3,91E-05	3,91E-05
(13,100), (8,1)	9,62E-05	9,62E-05	9,62E-05	9,62E-05	9,62E-05
(13,50), (8,2)	9,62E-05	9,62E-05	9,62E-05	9,62E-05	9,62E-05
(13,25), (8,4)	9,62E-05	9,62E-05	9,62E-05	9,62E-05	9,62E-05
(13,13), (8,8)	9,25E-05	9,25E-05	9,25E-05	9,25E-05	9,25E-05
(13,7), (8,16)	8,59E-05	8,59E-05	8,59E-05	8,59E-05	8,59E-05
(13,4), (8,32)	7,51E-05	7,51E-05	7,51E-05	7,51E-05	7,51E-05
(13,2), (8,64)	7,51E-05	7,51E-05	7,51E-05	7,51E-05	7,51E-05
(13,1), (8,128)	7,51E-05	7,51E-05	7,51E-05	7,51E-05	7,51E-05
(7,100), (16,1)	8,93E-05	8,93E-05	8,93E-05	8,93E-05	8,93E-05
(7,50), (16,2)	8,93E-05	8,93E-05	8,93E-05	8,93E-05	8,93E-05
(7,25), (16,4)	8,93E-05	8,93E-05	8,93E-05	8,93E-05	8,93E-05
(7,13), (16,8)	8,59E-05	8,59E-05	8,59E-05	8,59E-05	8,59E-05
(7,7), (16,16)	7,97E-05	7,97E-05	7,97E-05	7,97E-05	7,97E-05

(7,4), (16,32)	6,98E-05	6,98E-05	6,98E-05	6,98E-05	6,98E-05
(7,2), (16,64)	6,98E-05	6,98E-05	6,98E-05	6,98E-05	6,98E-05
(4,100), (32,1)	7,81E-05	7,81E-05	7,81E-05	7,81E-05	7,81E-05
(4,50), (32,2)	7,81E-05	7,81E-05	7,81E-05	7,81E-05	7,81E-05
(4,25), (32,4)	7,81E-05	7,81E-05	7,81E-05	7,81E-05	7,81E-05
(4,13), (32,8)	7,51E-05	7,51E-05	7,51E-05	7,51E-05	7,51E-05
(4,7), (32,16)	6,98E-05	6,98E-05	6,98E-05	6,98E-05	6,98E-05
(4,4), (32,32)	6,1E-05	6,1E-05	6,1E-05	6,1E-05	6,1E-05
(2,100), (64,1)	7,81E-05	7,81E-05	7,81E-05	7,81E-05	7,81E-05
(2,50), (64,2)	7,81E-05	7,81E-05	7,81E-05	7,81E-05	7,81E-05
(2,25), (64,4)	7,81E-05	7,81E-05	7,81E-05	7,81E-05	7,81E-05
(2,13), (64,8)	7,51E-05	7,51E-05	7,51E-05	7,51E-05	7,51E-05
(2,7), (64,16)	6,98E-05	6,98E-05	6,98E-05	6,98E-05	6,98E-05
(1,100), (128,1)	7,81E-05	7,81E-05	7,81E-05	7,81E-05	7,81E-05
(1,50), (128,2)	7,81E-05	7,81E-05	7,81E-05	7,81E-05	7,81E-05
(1,25), (128,4)	7,81E-05	7,81E-05	7,81E-05	7,81E-05	7,81E-05
(1,13), (128,8)	7,51E-05	7,51E-05	7,51E-05	7,51E-05	7,51E-05
(1,100), (256,1)	3,91E-05	3,91E-05	3,91E-05	3,91E-05	3,91E-05
(1,50), (256,2)	3,91E-05	3,91E-05	3,91E-05	3,91E-05	3,91E-05
(1,25), (256,4)	3,91E-05	3,91E-05	3,91E-05	3,91E-05	3,91E-05
(1,100), (512,1)	1,95E-05	1,95E-05	1,95E-05	1,95E-05	1,95E-05
(1,50), (512,2)	1,95E-05	1,95E-05	1,95E-05	1,95E-05	1,95E-05
(1,100), (1024,1)	9,77E-06	9,77E-06	9,77E-06	9,77E-06	9,77E-06

34 lentelė. Matricų daugybos spartinimo koeficientas

	100	200	300	400	500
(1,1), (1,1)	1	1	1	1	1
(100,100), (1,1)	14,54171	14,97145	15,17599	14,5901	15,07091
(100,50), (1,2)	27,57217	28,56589	29,22894	28,12794	28,9528
(100,25), (1,4)	49,82229	52,5742	54,5214	52,60169	53,55933
(100,13), (1,8)	80,80702	90,92604	95,22829	92,62488	91,36261
(100,7), (1,16)	119,4437	142,5946	153,0715	147,5805	136,6067
(100,4), (1,32)	161,8028	200,7241	209,019	194,3227	193,9853
(100,2), (1,64)	277,2919	315,3681	365,3395	348,9927	326,83
(100,1), (1,128)	364,3694	230,5466	173,0386	180,0134	171,7364
(100,1), (1,256)	379,3312	245,4765	168,4132	136,4801	131,4028
(100,1), (1,512)	213,2089	221,0675	156,3477	141,5114	138,0306
(100,1), (1,1024)	73,80724	170,2702	221,6165	227,6081	227,4253
(50,100), (2,1)	27,91359	29,56301	30,32239	27,16472	29,71587
(50,50), (2,2)	52,87869	56,55407	58,37862	52,41329	56,73877
(50,25), (2,4)	95,62685	104,4876	108,9049	98,22407	103,5703
(50,13), (2,8)	157,2315	181,6192	190,0588	174,2243	172,9897
(50,7), (2,16)	236,1546	283,0364	301,7107	282,6136	263,4253
(50,4), (2,32)	408,1414	508,0592	512,9499	494,3282	505,4095
(50,2), (2,64)	532,1856	498,3496	473,2075	444,5274	446,1728
(50,1), (2,128)	523,0831	453,3602	410,4229	415,5921	376,3005
(50,1), (2,256)	509,9316	435,9238	464,4433	445,0428	350,591

(50,1), (2,512)	209,6079	408,9811	459,2688	453,2506	446,4447
(25,100), (4,1)	53,14536	58,18352	60,21413	53,90214	53,72452
(25,50), (4,2)	100,4126	111,6866	115,6716	104,2781	102,2834
(25,25), (4,4)	181,3303	206,6127	214,9215	194,5991	186,3198
(25,13), (4,8)	300,517	359,3946	370,7428	341,6367	316,9346
(25,7), (4,16)	535,9569	669,7883	671,0497	618,7505	575,2831
(25,4), (4,32)	767,2735	910,4204	986,5149	958,892	948,131
(25,2), (4,64)	800,7705	879,509	890,3926	866,37	854,8751
(25,1), (4,128)	752,4714	869,1947	893,6043	890,8618	881,3039
(25,1), (4,256)	468,7685	855,4129	645,9449	813,6768	920,5156
(13,100), (8,1)	97,70654	115,506	109,3226	100,5057	92,53415
(13,50), (8,2)	185,3675	221,0615	209,1295	193,6058	178,6926
(13,25), (8,4)	334,9615	407,5755	382,7378	358,8746	337,5161
(13,13), (8,8)	608,7808	769,5928	704,3779	674,5088	648,5261
(13,7), (8,16)	860,9249	1149,25	1218,04	1179,777	1120,102
(13,4), (8,32)	907,9051	1205,59	1274,92	1284,148	1271,064
(13,2), (8,64)	893,5064	1142,467	1212,652	1234,121	1241,736
(13,1), (8,128)	741,2317	902,121	868,8081	867,295	971,6064
(7,100), (16,1)	177,0336	207,9863	183,6356	185,0222	179,4334
(7,50), (16,2)	338,4807	394,0954	354,1944	358,7097	347,2263
(7,25), (16,4)	644,2222	738,9779	687,6551	702,1115	685,6
(7,13), (16,8)	855,9578	1156,479	1206,44	1194,178	1182,949
(7,7), (16,16)	856,8423	1185,192	1292,218	1330,386	1290,194
(7,4), (16,32)	839,7019	1163,03	1264,675	1292,951	1263,278
(7,2), (16,64)	737,2833	829,3738	937,6741	930,8383	964,852
(4,100), (32,1)	307,4169	325,7937	339,2522	352,1866	354,8115
(4,50), (32,2)	558,5175	627,945	666,9082	693,6133	696,3371
(4,25), (32,4)	763,4678	1066,234	1152,035	1199,927	1220,611
(4,13), (32,8)	775,4174	1116,384	1225,314	1273,645	1296,447
(4,7), (32,16)	766,6821	1092,046	1207,994	1248,865	1263,532
(4,4), (32,32)	629,4196	794,0024	902,8841	926,6869	960,0422
(2,100), (64,1)	555,947	536,9733	665,7907	646,8647	695,6861
(2,50), (64,2)	758,8075	959,0534	1147,371	1113,195	1203,104
(2,25), (64,4)	770,7455	984,8039	1229,157	1178,757	1293,459
(2,13), (64,8)	744,6398	967,0168	1192,283	1150,722	1252,319
(2,7), (64,16)	678,775	754,843	901,7562	873,1939	941,5922
(1,100), (128,1)	761,3348	976,7331	1049,267	1075,362	1240,58
(1,50), (128,2)	764,6756	987,1851	1230,589	1185,757	1306,64
(1,25), (128,4)	760,9523	984,2409	1193,858	1164,382	1295,315
(1,13), (128,8)	715,8474	858,3416	914,1959	915,4598	1058,137
(1,100), (256,1)	761,9662	980,5786	1196,706	1177,495	1307,764
(1,50), (256,2)	706,9862	989,35	1104,855	1175,947	1307,014
(1,25), (256,4)	537,127	911,819	778,593	971,2287	1133,082
(1,100), (512,1)	429,3091	752,3541	1128,06	1128,453	1305,986
(1,50), (512,2)	301,1686	527,4303	810,5097	1010,085	1217,761
(1,100), (1024,1)	153,3791	270,1771	421,5699	563,5984	692,8413

35 lentelė. Matricų daugybos laikas pagal matricos dydį

	100	200	300	400	500
(1,1), (1,1)	0,60278	5,71592	20,0666	47,604	93,0181
(100,100), (1,1)	0,0414518	0,381788	1,32226	3,26276	6,17203
(100,50), (1,2)	0,0218619	0,200096	0,686532	1,69241	3,21275
(100,25), (1,4)	0,0120986	0,108721	0,36805	0,90499	1,73673
(100,13), (1,8)	0,0074595	0,0628634	0,210721	0,513944	1,01812
(100,7), (1,16)	0,00504656	0,0400851	0,131093	0,322563	0,680919
(100,4), (1,32)	0,0037254	0,0284765	0,0960037	0,244974	0,479511
(100,2), (1,64)	0,00217381	0,0181246	0,0549259	0,136404	0,284607
(100,1), (1,128)	0,00165431	0,0247929	0,115966	0,264447	0,541633
(100,1), (1,256)	0,00158906	0,023285	0,119151	0,348798	0,707885
(100,1), (1,512)	0,00282718	0,025856	0,128346	0,336397	0,673895
(100,1), (1,1024)	0,00816695	0,0335697	0,0905465	0,209149	0,409005
(50,100), (2,1)	0,0215945	0,193347	0,661775	1,75242	3,13025
(50,50), (2,2)	0,0113993	0,10107	0,343732	0,908243	1,63941
(50,25), (2,4)	0,00630346	0,0547043	0,184258	0,484647	0,898116
(50,13), (2,8)	0,00383371	0,031472	0,105581	0,273234	0,537709
(50,7), (2,16)	0,00255248	0,020195	0,0665094	0,168442	0,35311
(50,4), (2,32)	0,00147689	0,0112505	0,03912	0,0963004	0,184045
(50,2), (2,64)	0,00113265	0,0114697	0,0424055	0,107089	0,20848
(50,1), (2,128)	0,00115236	0,0126079	0,0488925	0,114545	0,247191
(50,1), (2,256)	0,00118208	0,0131122	0,0432057	0,106965	0,265318
(50,1), (2,512)	0,00287575	0,013976	0,0436925	0,105028	0,208353
(25,100), (4,1)	0,0113421	0,0982395	0,333254	0,883156	1,73139
(25,50), (4,2)	0,00600303	0,0511782	0,173479	0,45651	0,909415
(25,25), (4,4)	0,00332421	0,0276649	0,0933671	0,244626	0,499239
(25,13), (4,8)	0,00200581	0,0159043	0,0541254	0,139341	0,293493
(25,7), (4,16)	0,00112468	0,00853392	0,0299033	0,0769357	0,161691
(25,4), (4,32)	0,000785613	0,00627833	0,0203409	0,0496448	0,0981068
(25,2), (4,64)	0,00075275	0,00649899	0,0225368	0,0549465	0,108809
(25,1), (4,128)	0,000801067	0,00657611	0,0224558	0,0534359	0,105546
(25,1), (4,256)	0,00128588	0,00668206	0,0310655	0,0585048	0,10105
(13,100), (8,1)	0,00616929	0,0494859	0,183554	0,473645	1,00523
(13,50), (8,2)	0,00325181	0,0258567	0,095953	0,245881	0,520548
(13,25), (8,4)	0,00179955	0,0140242	0,0524291	0,132648	0,275596
(13,13), (8,8)	0,000990143	0,0074272	0,0284884	0,0705758	0,14343
(13,7), (8,16)	0,000700154	0,00497361	0,0164745	0,04035	0,0830443
(13,4), (8,32)	0,000663924	0,00474118	0,0157395	0,0370705	0,0731813
(13,2), (8,64)	0,000674623	0,00500314	0,0165477	0,0385732	0,0749097
(13,1), (8,128)	0,000813214	0,00633609	0,0230967	0,0548879	0,0957364
(7,100), (16,1)	0,00340489	0,0274822	0,109274	0,257288	0,518399
(7,50), (16,2)	0,00178084	0,0145039	0,0566542	0,132709	0,267889
(7,25), (16,4)	0,000935671	0,0077349	0,0291812	0,0678012	0,135674
(7,13), (16,8)	0,000704217	0,00494252	0,0166329	0,0398634	0,0786324
(7,7), (16,16)	0,00070349	0,00482278	0,0155288	0,0357821	0,0720962
(7,4), (16,32)	0,00071785	0,00491468	0,015867	0,0368181	0,0736323

(7,2), (16,64)	0,000817569	0,00689185	0,0214004	0,051141	0,0964066
(4,100), (32,1)	0,00196079	0,0175446	0,0591495	0,135167	0,262162
(4,50), (32,2)	0,00107925	0,00910258	0,030089	0,0686319	0,133582
(4,25), (32,4)	0,000789529	0,00536085	0,0174184	0,0396724	0,0762062
(4,13), (32,8)	0,000777362	0,00512003	0,0163767	0,0373762	0,0717485
(4,7), (32,16)	0,000786219	0,00523414	0,0166115	0,0381178	0,0736175
(4,4), (32,32)	0,000957676	0,00719887	0,022225	0,0513701	0,0968896
(2,100), (64,1)	0,00108424	0,0106447	0,0301395	0,0735919	0,133707
(2,50), (64,2)	0,000794378	0,00595996	0,0174892	0,0427634	0,0773151
(2,25), (64,4)	0,000782074	0,00580412	0,0163255	0,0403849	0,0719142
(2,13), (64,8)	0,000809492	0,00591088	0,0168304	0,0413688	0,0742767
(2,7), (64,16)	0,000888041	0,00757233	0,0222528	0,0545171	0,0987881
(1,100), (128,1)	0,000791741	0,00585208	0,0191244	0,0442679	0,0749795
(1,50), (128,2)	0,000788282	0,00579012	0,0163065	0,0401465	0,0711888
(1,25), (128,4)	0,000792139	0,00580744	0,0168082	0,0408835	0,0718112
(1,13), (128,8)	0,000842051	0,00665926	0,02195	0,0520001	0,0879074
(1,100), (256,1)	0,000791085	0,00582913	0,0167682	0,0404282	0,0711276
(1,50), (256,2)	0,000852605	0,00577745	0,0181622	0,0404814	0,0711684
(1,25), (256,4)	0,00112223	0,0062687	0,0257729	0,0490142	0,082093
(1,100), (512,1)	0,00140407	0,00759738	0,0177886	0,0421852	0,0712244
(1,50), (512,2)	0,00200147	0,0108373	0,024758	0,0471287	0,0763845
(1,100), (1024,1)	0,00393	0,0211562	0,0475997	0,0844644	0,134256

## 15 Priedas. CUDA $\pi$ skaičiavimo diagramų duomenys

36 lentelė.  $\pi$  skaičiavimo spartinimo koeficientas

	10000 00	20000 00	30000 00	40000 00	50000 00	60000 00	70000 00	80000 00	90000 00	100000 00
1, 1	1	1	1	1	1	1	1	1	1	1
1, 32	0,9950 09	0,9952 91	0,9953 65	0,9954 14	0,9998 59	0,9954 56	0,9954 5	0,9954 85	0,9954 85	0,9954 97
1, 64	0,9890 68	0,9899 24	0,9900 67	0,9900 8	0,9946 22	0,9901 98	0,9946 5	0,9902 19	0,9902 68	0,9902 73
1, 128	0,9713 96	0,9728 06	0,9730 35	0,9732 84	0,9778 14	0,9735 37	0,9779 43	0,9736 43	0,9736 57	0,9736 92
1, 256	0,8796 58	0,8846 04	0,8834 02	0,8840 13	0,8650 39	0,8845 2	0,8886 6	0,8847 47	0,8850 75	0,8843 28
1, 512	0,6206 3	0,6203 79	0,6225 19	0,6222 38	0,6252 97	0,6223 8	0,6239 17	0,6215 89	0,6221 63	0,6228 6
32, 1	0,4291 24	0,4276 53	0,4299 78	0,4276 58	0,4318 38	0,4276 76	0,4326 74	0,4307 55	0,4276 78	0,4292 15
32, 32	0,4507 36	0,4538 23	0,4528 44	0,4517 83	0,4545 84	0,4529 65	0,4553 94	0,4535 4	0,4541 09	0,4546 1
32, 64	0,3428 97	0,3455 25	0,3463 73	0,3470 69	0,3490 81	0,3475 51	0,3494 25	0,3479 14	0,3471 81	0,3477 98
32, 128	0,1875 47	0,1885 8	0,1892 09	0,1890 76	0,1904 25	0,1894 54	0,1900 52	0,1896 3	0,1896 87	0,1897 34
32, 256	0,0938 35	0,0946 71	0,0948 21	0,0948 93	0,0954 75	0,0949 68	0,0955 59	0,0951 59	0,0950 81	0,0951 64
32, 512	0,0380 4	0,0385 34	0,0386 1	0,0387 55	0,0389 38	0,0388 38	0,0389 61	0,0388 21	0,0388 22	0,0388 34
64, 1	0,2148	0,2153	0,2145	0,2149	0,2159	0,2153	0,2151	0,2141	0,2145	0,2141

	96	54	66	54	72	75	5	95	79	97
64, 32	0,2238 37	0,2266 91	0,2268 19	0,2265 09	0,2267 84	0,2267 57	0,2277 96	0,2271 34	0,2270 67	0,2268 94
64, 64	0,1713 35	0,1736 13	0,1734 86	0,1733 02	0,1748 85	0,1742 77	0,1750 34	0,1742 48	0,1741 83	0,1741 96
64, 128	0,0959 88	0,0967 43	0,0969 14	0,0971 37	0,0975 73	0,0971 77	0,0976 18	0,0972 64	0,0973 09	0,0972 82
64, 256	0,0470 54	0,0476 1	0,0478 15	0,0478 99	0,0481 66	0,0480 34	0,0482 58	0,0480 55	0,0481 06	0,0480 98
64, 512	0,0186 13	0,0190 14	0,0191 38	0,0192 16	0,0193 75	0,0193 01	0,0193 94	0,0193 13	0,0193 54	0,0193 62
128, 1	0,1070 66	0,1073 7	0,1070 88	0,1070 92	0,1079 65	0,1070 95	0,1076 71	0,1071 93	0,1073 92	0,1074 89
128, 32	0,1125 21	0,1127 65	0,1133 83	0,1129 65	0,1136 44	0,1132 75	0,1139 34	0,1135 06	0,1134 07	0,1133 42
128, 64	0,0859 22	0,0869 48	0,0868 66	0,0871 3	0,0875 11	0,0873 6	0,0876 25	0,0873 65	0,0873 21	0,0873 17
128, 128	0,0485 56	0,0489 8	0,0491 3	0,0492 09	0,0494 85	0,0492 52	0,0495 63	0,0493 43	0,0493 55	0,0493 56
128, 256	0,0232 09	0,0237 17	0,0239 31	0,0239 78	0,0241 49	0,0240 91	0,0242 39	0,0241 33	0,0241 44	0,0241 56
128, 512	0,0089 98	0,0093 24	0,0094 64	0,0095 05	0,0096 17	0,0095 83	0,0096 44	0,0096 26	0,0096 13	0,0096 32
256, 1	0,0536 5	0,0535 64	0,0535 45	0,0535 94	0,0538 84	0,0535 96	0,0537 87	0,0536 2	0,0536 2	0,0535 73
256, 32	0,0560 38	0,0565 06	0,0565 99	0,0564 52	0,0569 04	0,0564 98	0,0569 08	0,0567 08	0,0566 99	0,0567 81
256, 64	0,0429 33	0,0434 5	0,0435 61	0,0436 44	0,0438 98	0,0437 87	0,0439 6	0,0437 81	0,0438 12	0,0438 22
256, 128	0,0241 42	0,0245 38	0,0246 45	0,0247 03	0,0248 4	0,0247 7	0,0249 01	0,0248 15	0,0248 14	0,0248 29
256, 256	0,0511 67	0,0533 59	0,0540 87	0,0544 9	0,0549 45	0,0548 89	0,0552 51	0,0550 33	0,0551 3	0,0551 32
256, 512	0,0042 37	0,0045 16	0,0046 17	0,0046 72	0,0047 25	0,0047 31	0,0047 66	0,0047 59	0,0047 67	0,0047 82
512, 1	0,0267 73	0,0267 94	0,0267 79	0,0267 85	0,0269 04	0,0268 31	0,0268 93	0,0268 07	0,0268 2	0,0267 95
512, 32	0,0279 64	0,0281 12	0,0282 5	0,0282 71	0,0284 32	0,0283 42	0,0284 7	0,0283 04	0,0283 65	0,0283 7
512, 64	0,0212 81	0,0216 52	0,0218 18	0,0218 66	0,0220 11	0,0219 39	0,0220 45	0,0219 69	0,0219 82	0,0219 74
512, 128	0,0117 36	0,0121 67	0,0122 84	0,0123 42	0,0124 18	0,0123 83	0,0124 5	0,0124 08	0,0124 2	0,0124 23
512, 256	0,0053 03	0,0056 29	0,0057 78	0,0058 59	0,0059 31	0,0059 34	0,0059 84	0,0059 73	0,0059 88	0,0059 97
512, 512	0,0019 99	0,0021 83	0,0022 51	0,0022 93	0,0023 26	0,0023 33	0,0023 56	0,0023 55	0,0023 61	0,0023 7

**37 lentelė.** π skaičiavimo spartinimo koeficientas

	10000 00	20000 00	30000 00	40000 00	50000 00	60000 00	70000 00	80000 00	90000 00	10000 000
1, 1	1	1	1	1	1	1	1	1	1	1
1, 32	31,84 028	31,84 93	31,85 168	31,85 325	31,99 55	31,85 46	31,85 439	31,85 553	31,85 552	31,855 91
1, 64	63,30 034	63,35 517	63,36 43	63,36 515	63,65 582	63,37 269	63,65 761	63,37 402	63,37 718	63,377 47
1, 128	124,3	124,5	124,5	124,5	125,1	124,6	125,1	124,6	124,6	124,63

	386	192	485	803	602	127	767	264	281	26
1, 256	225,1 925	226,4 586	226,1 51	226,3 072	221,4 499	226,4 37	227,4 969	226,4 952	226,5 791	226,38 79
1, 512	317,7 628	317,6 342	318,7 296	318,5 857	320,1 519	318,6 587	319,4 453	318,2 536	318,5 476	318,90 43
32, 1	13,73 196	13,68 489	13,75 931	13,68 505	13,81 881	13,68 562	13,84 556	13,78 417	13,68 569	13,734 87
32, 32	461,5 541	464,7 147	463,7 12	462,6 254	465,4 94	463,8 364	466,3 231	464,4 249	465,0 075	465,52 03
32, 64	702,2 533	707,6 36	709,3 713	710,7 983	714,9 186	711,7 854	715,6 23	712,5 283	711,0 277	712,28 98
32, 128	768,1 916	772,4 23	774,9 997	774,4 556	779,9 826	776,0 038	778,4 549	776,7 23	776,9 57	777,15 01
32, 256	768,6 956	775,5 489	776,7 724	777,3 649	782,1 305	777,9 774	782,3 325	779,5 448	778,9 052	779,58 12
32, 512	623,2 538	631,3 462	632,5 808	634,9 693	637,9 626	636,3 282	638,3 37	636,0 374	636,0 587	636,25 02
64, 1	13,75 334	13,78 268	13,73 219	13,75 707	13,82 222	13,78 398	13,76 962	13,70 849	13,73 307	13,708 6
64, 32	458,4 178	464,2 632	464,5 253	463,8 907	464,4 531	464,3 981	466,5 269	465,1 709	465,0 327	464,67 98
64, 64	701,7 884	711,1 17	710,5 991	709,8 436	716,3 293	713,8 395	716,9 396	713,7 18	713,4 54	713,50 74
64, 128	786,3 345	792,5 166	793,9 209	795,7 465	799,3 185	796,0 755	799,6 85	796,7 848	797,1 527	796,93 46
64, 256	770,9 36	780,0 416	783,4 085	784,7 82	789,1 467	786,9 842	790,6 572	787,3 273	788,1 635	788,03 91
64, 512	609,9 267	623,0 578	627,1 152	629,6 735	634,8 715	632,4 616	635,4 864	632,8 619	634,1 797	634,45 81
128, 1	13,70 444	13,74 34	13,70 725	13,70 773	13,81 946	13,70 818	13,78 19	13,72 072	13,74 619	13,758 59
128, 32	460,8 869	461,8 873	464,4 155	462,7 056	465,4 875	463,9 733	466,6 73	464,9 2	464,5 134	464,24 86
128, 64	703,8 704	712,2 792	711,6 06	713,7 685	716,8 896	715,6 498	717,8 273	715,6 922	715,3 347	715,29 93
128, 128	795,5 416	802,4 842	804,9 422	806,2 326	810,7 697	806,9 524	812,0 335	808,4 43	808,6 327	808,64 86
128, 256	760,5 158	777,1 665	784,1 858	785,7 272	791,3 231	789,4 183	794,2 612	790,7 941	791,1 668	791,54 62
128, 512	589,6 788	611,0 303	620,2 171	622,8 942	630,2 905	628,0 604	632,0 48	630,8 184	630,0 021	631,25 29
256, 1	13,73 444	13,71 243	13,70 744	13,72 009	13,79 425	13,72 051	13,76 948	13,72 673	13,72 671	13,714 61
256, 32	459,0 669	462,8 941	463,6 61	462,4 573	466,1 571	462,8 292	466,1 217	464,5 481	464,4 775	465,15 07
256, 64	703,4 219	711,8 768	713,7 048	715,0 591	719,2 261	717,4 114	720,2 383	717,3 112	717,8 077	717,97 53
256, 128	791,0 752	804,0 686	807,5 522	809,4 755	813,9 668	811,6 547	815,9 702	813,1 368	813,1 176	813,59 87
256, 256	733,5 365	764,9 562	775,3 851	781,1 723	787,6 911	786,8 838	792,0 842	788,9 491	790,3 398	790,37 53
256, 512	555,3 629	591,9 234	605,1 343	612,4 056	619,2 707	620,0 766	624,7 035	623,7 487	624,8 707	626,78 6

512, 1	13,70 777	13,71 841	13,71 091	13,71 4	13,77 508	13,73 753	13,76 937	13,72 522	13,73 191	13,719 18
512, 32	458,1 568	460,5 925	462,8 465	463,1 99	465,8 269	464,3 578	466,4 481	463,7 337	464,7 379	464,82 21
512, 64	697,3 516	709,4 853	714,9 247	716,4 974	721,2 699	718,8 979	722,3 822	719,8 917	720,2 936	720,03 04
512, 128	769,1 161	797,3 776	805,0 296	808,8 714	813,8 118	811,5 528	815,9 418	813,1 863	813,9 599	814,17 89
512, 256	695,0 33	737,7 518	757,3 085	767,9 306	777,4 534	777,7 887	784,3 252	782,9 374	784,9 215	786,04 97
512, 512	523,9 896	572,2 281	590,1 734	601,1 977	609,7 859	611,6 904	617,6 78	617,3 917	618,8 777	621,17 79

38 lentelė. π skaičiavimo laikas

	10000 00	20000 00	30000 00	40000 00	50000 00	60000 00	70000 00	80000 00	90000 00	10000 000
1, 1	1,3357 7	2,6715 1	4,0072 6	5,343	6,7085 6	8,0144 9	9,391 98	10,68 6	12,02 17	13,35 75
1, 32	0,0419 522	0,0838 797	0,1258 1	0,1677 38	0,2096 72	0,2515 96	0,294 841	0,335 452	0,377 382	0,419 31
1, 64	0,0211 021	0,0421 672	0,0632 416	0,0843 208	0,1053 88	0,1264 66	0,147 539	0,168 618	0,189 685	0,210 761
1, 128	0,0107 43	0,0214 546	0,0321 743	0,0428 88	0,0535 998	0,0643 152	0,075 0298	0,085 7443	0,096 4606	0,107 175
1, 256	0,0059 3168	0,0117 969	0,0177 194	0,0236 095	0,0302 938	0,0353 939	0,041 284	0,047 1798	0,053 0574	0,059 0027
1, 512	0,0042 0367	0,0084 1065	0,0125 726	0,0167 71	0,0209 543	0,0251 507	0,029 4009	0,033 577	0,037 7391	0,041 8856
32, 1	0,0972 745	0,1952 16	0,2912 4	0,3904 26	0,4854 66	0,5856 14	0,678 339	0,775 237	0,878 414	0,972 525
32, 32	0,0028 9407	0,0057 4871	0,0086 417	0,0115 493	0,0144 117	0,0172 787	0,020 1405	0,023 0091	0,025 8527	0,028 6937
32, 64	0,0019 0212	0,0037 7526	0,0056 4903	0,0075 169	0,0093 8367	0,0112 597	0,013 1242	0,014 9973	0,016 9075	0,018 7529
32, 128	0,0017 3885	0,0034 5861	0,0051 7066	0,0068 9904	0,0086 0091	0,0103 279	0,012 0649	0,013 7578	0,015 4728	0,017 1878
32, 256	0,0017 3771	0,0034 4467	0,0051 5886	0,0068 7322	0,0085 7729	0,0103 017	0,012 0051	0,013 708	0,015 4341	0,017 1342
32, 512	0,0021 4322	0,0042 3145	0,0063 3478	0,0084 1458	0,0105 156	0,0125 949	0,014 7132	0,016 8009	0,018 9003	0,020 9941
64, 1	0,0971 233	0,1938 31	0,2918 15	0,3883 82	0,4853 46	0,5814 35	0,682 08	0,779 517	0,875 383	0,974 388
64, 32	0,0029 1387	0,0057 543	0,0086 2657	0,0115 178	0,0144 44	0,0172 578	0,020 1317	0,022 9722	0,025 8513	0,028 7456
64, 64	0,0019 0338	0,0037 5678	0,0056 3927	0,0075 2701	0,0093 6519	0,0112 273	0,013 1001	0,014 9723	0,016 85	0,018 7209
64, 128	0,0016 9873	0,0033 7092	0,0050 4743	0,0067 1445	0,0083 9285	0,0100 675	0,011 7446	0,013 4114	0,015 0808	0,016 7611
64, 256	0,0017 3266	0,0034 2483	0,0051 1516	0,0068 0826	0,0085 0103	0,0101 838	0,011 8787	0,013 5725	0,015 2528	0,016 9503
64, 512	0,0021 9005	0,0042 8774	0,0063 8999	0,0084 8535	0,0105 668	0,0126 719	0,014 7792	0,016 8852	0,018 9563	0,021 0534
128, 1	0,0974 699	0,1943 85	0,2923 46	0,3897 8	0,4854 43	0,5846 5	0,681 472	0,778 822	0,874 548	0,970 848

128, 32	0,0028 9826	0,0057 839	0,0086 2861	0,0115 473	0,0144 119	0,0172 736	0,020 1254	0,022 9846	0,025 8802	0,028 7723
128, 64	0,0018 9775	0,0037 5065	0,0056 3129	0,0074 8562	0,0093 5787	0,0111 989	0,013 0839	0,014 931	0,016 8057	0,018 674
128, 128	0,0016 7907	0,0033 2905	0,0049 7832	0,0066 2712	0,0082 7431	0,0099 318	0,011 566	0,013 218	0,014 8667	0,016 5183
128, 256	0,0017 564	0,0034 375	0,0051 1009	0,0068 0007	0,0084 7765	0,0101 524	0,011 8248	0,013 513	0,015 1949	0,016 8752
128, 512	0,0022 6525	0,0043 7214	0,0064 6106	0,0085 777	0,0106 436	0,0127 607	0,014 8596	0,016 9399	0,019 082	0,021 1603
256, 1	0,0972 57	0,1948 24	0,2923 42	0,3894 29	0,4863 3	0,5841 25	0,682 087	0,778 481	0,875 789	0,973 961
256, 32	0,0029 0975	0,0057 7132	0,0086 4265	0,0115 535	0,0143 912	0,0173 163	0,020 1492	0,023 003	0,025 8822	0,028 7165
256, 64	0,0018 9896	0,0037 5277	0,0056 1473	0,0074 7211	0,0093 2747	0,0111 714	0,013 0401	0,014 8973	0,016 7478	0,018 6044
256, 128	0,0016 8855	0,0033 2249	0,0049 6223	0,0066 0057	0,0082 4181	0,0098 7426	0,011 5102	0,013 1417	0,014 7847	0,016 4178
256, 256	0,0018 21	0,0034 9237	0,0051 6809	0,0068 3972	0,0085 1674	0,0101 851	0,011 8573	0,013 5446	0,015 2108	0,016 9002
256, 512	0,0024 0522	0,0045 1327	0,0066 221	0,0087 2461	0,0108 33	0,0129 25	0,015 0343	0,017 1319	0,019 2387	0,021 3111
512, 1	0,0974 462	0,1947 39	0,2922 68	0,3896 02	0,4870 07	0,5834 01	0,682 092	0,778 567	0,875 457	0,973 637
512, 32	0,0029 1553	0,0058 0016	0,0086 5786	0,0115 35	0,0144 014	0,0172 593	0,020 1351	0,023 0434	0,025 8677	0,028 7368
512, 64	0,0019 1549	0,0037 6542	0,0056 0515	0,0074 5711	0,0093 0104	0,0111 483	0,013 0014	0,014 8439	0,016 69	0,018 5513
512, 128	0,0017 3676	0,0033 5037	0,0049 7778	0,0066 055	0,0082 4338	0,0098 755	0,011 5106	0,013 1409	0,014 7694	0,016 4061
512, 256	0,0019 2188	0,0036 2115	0,0052 9145	0,0069 5766	0,0086 2889	0,0103 042	0,011 9746	0,013 6486	0,015 3158	0,016 9932
512, 512	0,0025 4923	0,0046 6861	0,0067 8997	0,0088 8726	0,0110 015	0,0131 022	0,015 2053	0,017 3083	0,019 425	0,021 5035

## 16 Priedas. CUDA rikiavimo diagramų duomenys

39 lentelė. Bitonic rikiavimo laikas pagal gijų konfigūraciją

	32768	65536	131072	262144	52428 8	104857 6	209715 2	419430 4
32, 1024	0,0004746 8							
64, 512	0,0004538 46							
64, 1024	0,0004538 25	0,000515 35						
128, 256	0,0004548 04							
128, 512	0,0004786 24	0,001127 7						
128, 1024	0,0004550 56	0,000514 04	0,00057 6					
256, 128	0,0004754							

	55							
256, 256	0,0004683 85	0,000532 23						
256, 512	0,0004518 83	0,000547 6	0,00059 8					
256, 1024	0,0004511 04	0,000535 75	0,00059 7	0,00065 9				
512, 64	0,0004962 42							
512, 128	0,0004541 92	0,000569 83						
512, 256	0,0004517 29	0,000510 3	0,00057 6					
512, 512	0,0004581 17	0,000510 65	0,00061 3	0,00065 3				